

# Rozdział VII. *Suraski gród i zamek w późnym średniowieczu i na początku okresu nowożytnego*

Dariusz Krasnodębski, Hanna Olczak

## VII.1. Zarys stratygrafii

Relikty związane z późnośredniowieczną i wczesnonowożytną warownią odkryto w wykopach 1 i 3 z 2004 r. oraz 4 z 2013 r. (ryc. VII.1; por. rozdz. III, ryc. III.1; III.2). Podstawę rozważań na temat chronologii i charakteru struktur z tego okresu stanowiły nawarstwienia odsłonięte w sondażu 4, o łącznej miąższości ponad 3 m (ryc. VII.2; VII.3). Na ich podstawie wydzielono pięć faz użytkowania tego miejsca (IV–VIII), obejmujących przypuszczalnie czasy od przełomu XIII i XIV w. do początku XVII w. Rezultaty badań w wykopach 1 i 3, ze względu na ich lokalizację u podstawy grodziska oraz niewielką liczbę pozyskanych materiałów zabytkowych, głównie o charakterze rezydualnym, przyniosły mniej informacji na temat funkcjonowania ośrodka w omawianym okresie<sup>1</sup>.



Ryc. VII.1. Suraż, pow. białostocki, stan. 1, wykop 4. Początek prac w wykopie. Fot. D. Krasnodębski

<sup>1</sup> Ze względu na brak relacji stratygraficznych między wykopami odkryte w nich struktury zostały omówione osobno. Numery faz wydzielonych w wykopie 4 stanowią kontynuację numeracji z okresu wczesnego średniowiecza (por. rozdz. VI). Natomiast w przypadku wykopów 1 i 3 poszczególne etapy użytkowania stanowiska oznaczono dużymi literami alfabetu.

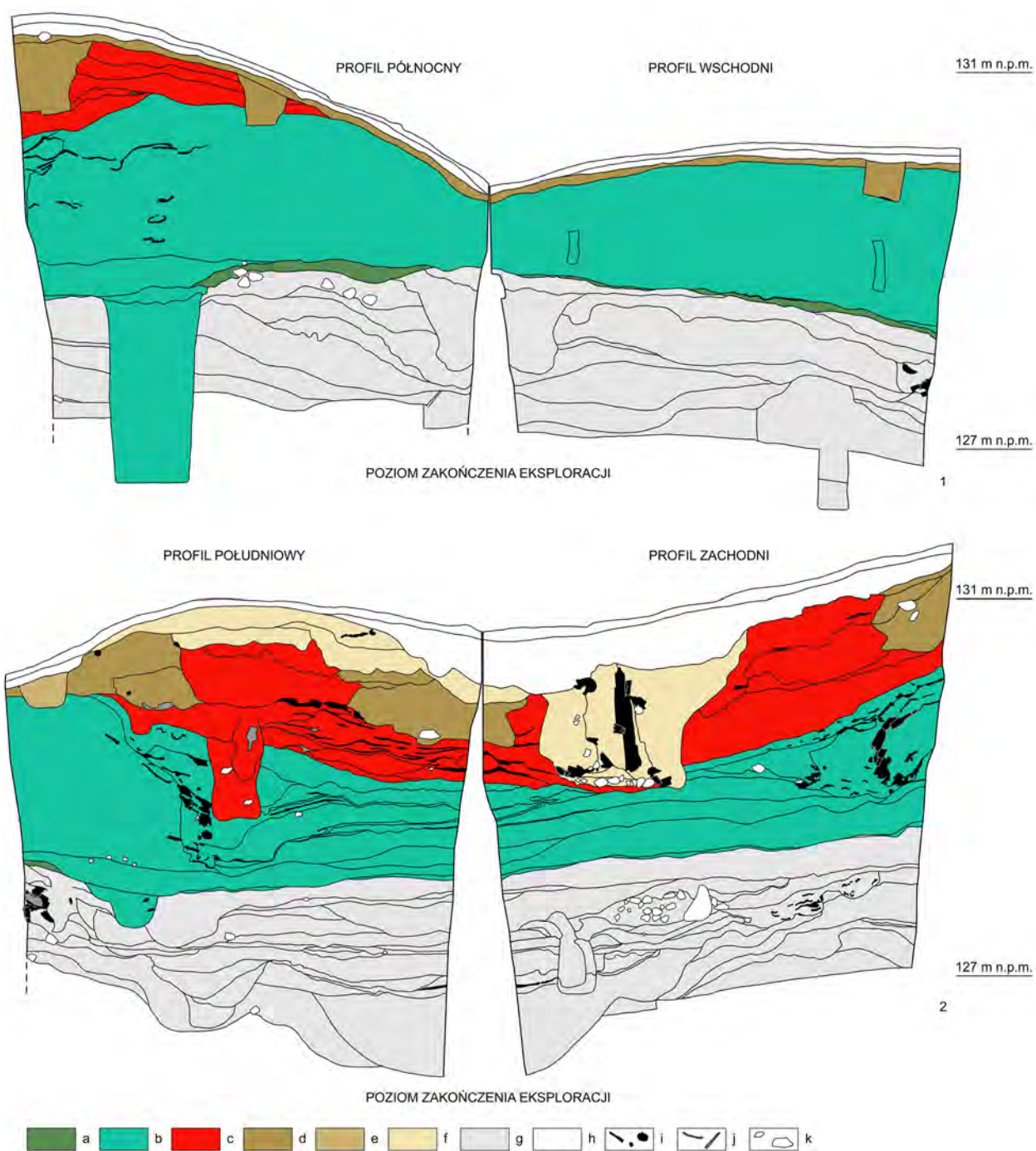
Ryc. VII.2. Suraż, pow. białostocki, stan. 1, wykop 4. Warstwy z okresu późnego średniowiecza i początku okresu nowożytnego widoczne na profilach w południowo-zachodniej części wykopu.  
Fot. D. Krasnodębski





200

201



**Ryc. VII.3.** Suraż, pow. białostocki, stan. 1, wykop 4. Zestawienie profili wykopu z zaznaczonymi fazami użytkowania stanowiska w późnym średniowieczu i na początku okresu nowożytnego: a – faza III lub IV; b – faza V; c – faza VI; d – faza VII; e – faza VII lub VIII; f – faza VIII; g – warstwy wczesnośredniowieczne; h – humus współczesny i darń; i – drewno spalone; j – drewno niespalone; k – kamienie. Rys. H. Olczak, Z. Tragarz

### VII.1.1. Faza IV

Najstarsza późnośredniowieczna faza użytkowania stanowiska została rozpoznana bardzo słabo. Na obszarze wykopu 4 większość związanych z nią struktur uległa zapewne zniszczeniu w wyniku późniejszej przebudowy obiektu. Nie jest wykluczone, że z tego okresu pochodzą

odkryte we wschodniej części sondażu warstwy 255 i 255/1 (warstwa – dalej cyt.: w.), aczkolwiek bardziej prawdopodobny wydaje się ich związek z nasypem wału wczesnośredniowiecznej fazy III (por. rozdz. VI.1.4, ryc. VI.6; VI.7; VI.9). Za wydzieleniem omawianego etapu funkcjonowania grodu przemawiają przede wszystkim źródła pisane, poświadczające jego istnienie w XIV w. (por. rozdz. II). Kolejną przesłankę stanowią znaleziska z 1936 r. – moneta Kazimierza Wielkiego oraz fragmenty naczyń o cechach wyrobów z początku późnego średniowiecza, wyraźnie różne od ceramiki typowej dla następnej fazy użytkowania warowni (por. rozdz. V). Kontekst stratygraficzny tych materiałów nie jest jednak znany, w związku z czym trudno na ich podstawie wnioskować o charakterze stanowiska w tym czasie.

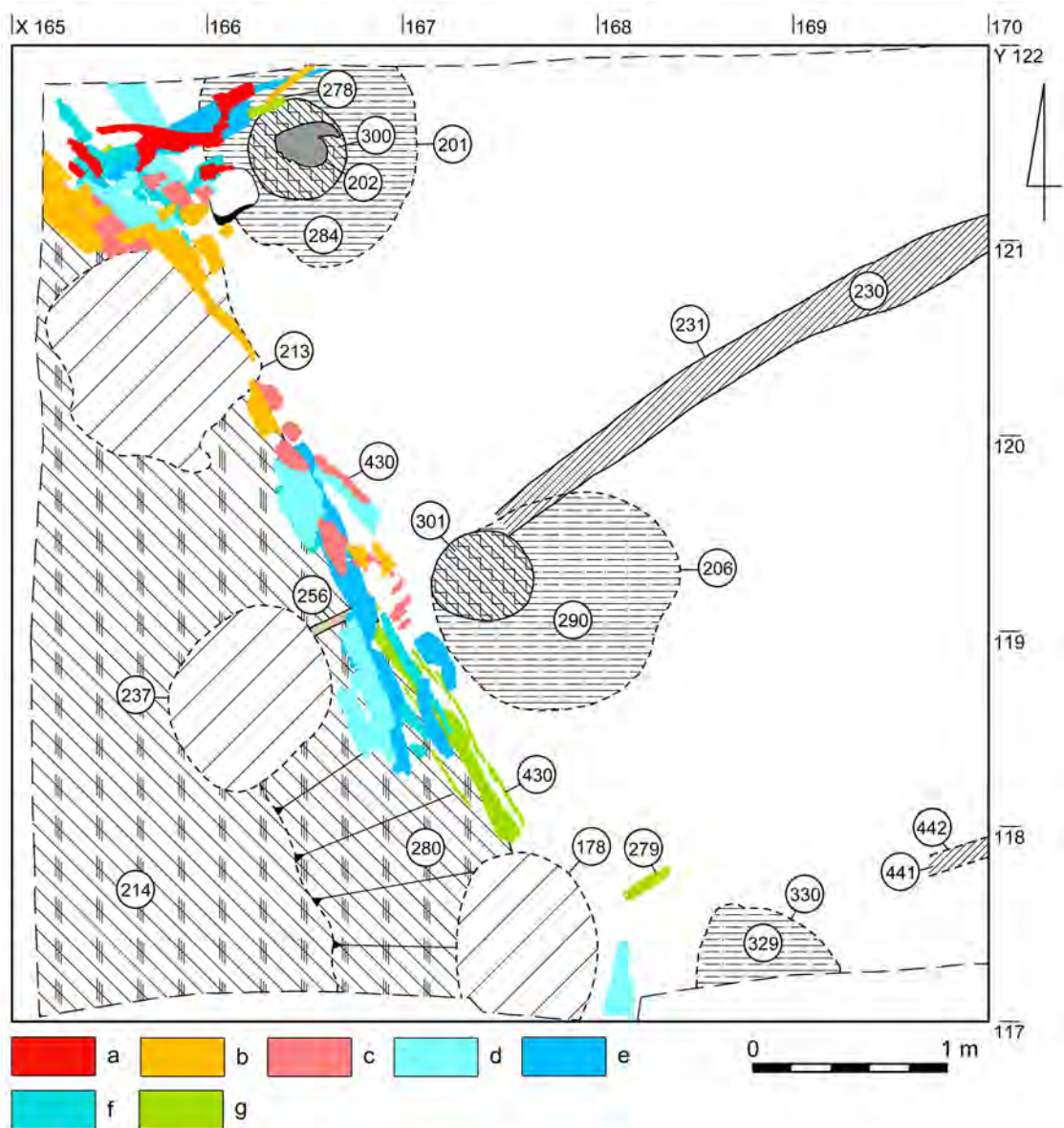
## VII.1.2. Faza V

### Podfaza VA – budowa umocnień

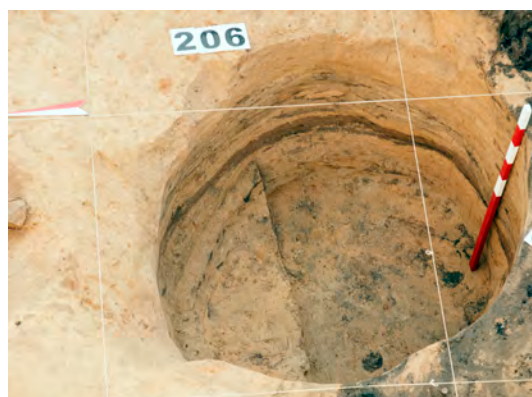
Na okres ten przypada gruntowna przebudowa umocnień grodu. Pierwszy etap prac stanowiło częściowe zniwelowanie starszych nawarstwień, a zwłaszcza nasypu wału. Świadczy o tym widoczna gdzieś wyrażna górna granica warstw 255, 255/1 i 289, związanych z funkcjonowaniem obiektu we wczesnym średniowieczu, a także brak zachowanych relikwów fazy IV. Być może na obszarze przygotowywanym pod przyszłe obwarowania wypalono roślinność, która pojawiła się podczas ewentualnej przerwy w użytkowaniu tego miejsca. Wskazuje na to cienka warstewka spalenizny w stropie warstwy 255/1 (por. rozdz. VI, ryc. VI.6).



Ryc. VII.4. Suraż, pow. białostocki, stan. 1, wykop 4. Doły posłupowe 201 i 206 podfazy VA, wkopane we wczesnośredniowieczną warstwę 289 (faza III). Fot. D. Krasnodębski



Ryc. VII.5. Suraż, pow. białostocki, stan. 1, wykop 4. Plan zbiorczy struktur fazy V, z wkopanymi w nie dołami posłupowymi fazy VI (poziomy drewna konstrukcji 430, licząc od góry: a – I; b – II; c – III; d – IV; e – V; f – VI; g – VII; legenda do pozostałych oznaczeń i innych rycin znajduje się na końcu tomu). Rys. H. Olczak, Z. Tragarz



Ryc. VII.6. Suraż, pow. białostocki, stan. 1, wykop 4. Dolna część dołu posłupowego 206 podfazy VA po eksploracji. Fot. D. Krasnodębski



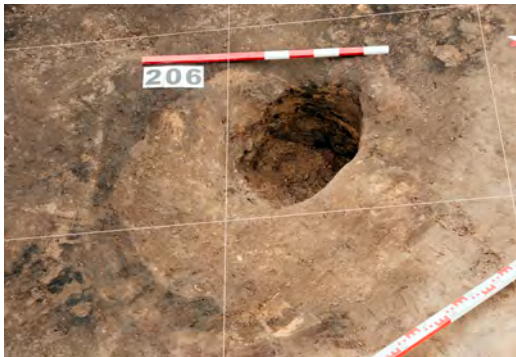
Ryc. VII.7. Suraż, pow. białostocki, stan. 1, wykop 4. Dół posłupowy 201 podfazy VA z profilem śladu słupa 202 (w. 300). Fot. D. Krasnodębski



**Ryc. VII.8.** Suraż, pow. białostocki, stan. 1, wykop 4. Spąg dołu posłupowego 201 podfazy VA ze śladem słupa 202 (widok od północy). Fot. D. Krasnodębski

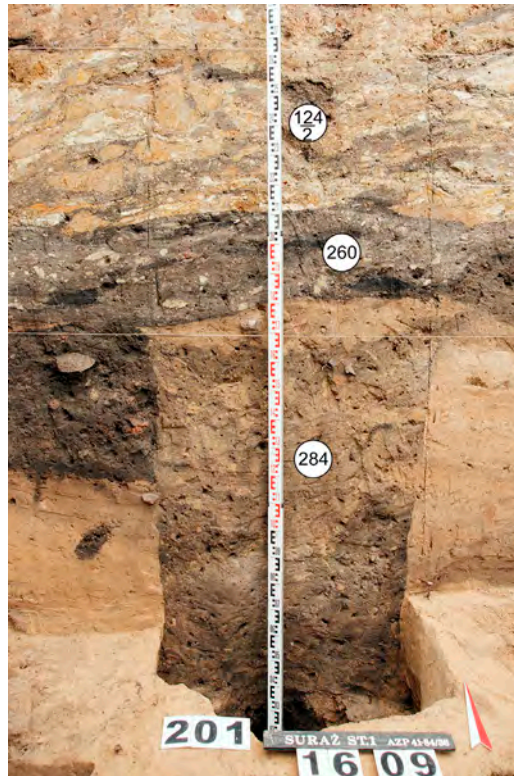


**Ryc. VII.9.** Suraż, pow. białostocki, stan. 1, wykop 4. Negatyw wygnitego słupa 202 w nasypie wału podfazy VA. Fot. D. Krasnodębski



▲ **Ryc. VII.10.** Suraż, pow. białostocki, stan. 1, wykop 4. Górna część dołu posłupowego 206 podfazy VA z negatywem wygnitego słupa 205 (widok od wschodu). Fot. D. Krasnodębski

▶ **Ryc. VII.11.** Suraż, pow. białostocki, stan. 1, wykop 4. Profil dołu posłupowego 201 podfazy VA. Powyżej wypełniska obiektu (w. 284) widoczna warstwa niwelacyjna (w. 260=275) i nasyp wału (w. 124/2). Fot. D. Krasnodębski



Następną czynnością było wykopanie na linii wewnętrznej krawędzi starszego nasypu dużych dołów na słupy (obiekty 201 i 206; obiekt – dalej cyt.: ob.) (ryc. VII.4–12). Miały one zbliżone do kołowego kształty w planie, o średnicy ok. 1,0–1,2 m, prawie pionowe ściany i płaskie dna (ryc. VII.6; por. rozdz. VI, ryc. VI.7). Głębokość dołów sięgała ok. 2 m. Ich dna położone były na tej samej wysokości bezwzględnej (ok. 126,65 m n.p.m.), przy czym z powodu nierównej powierzchni gruntu północny z nich (ob. 201) był nieco głębszy. W jamach 201 i 206 odkryto pozostałości dębowych<sup>2</sup> słupów (w. 202, 205) o średnicy ok. 0,45–0,50 m, ustawionych ok. 0,20–0,35 m powyżej ich spągów. Zachowały się ich negatywy, w dolnej części

<sup>2</sup> Zamieszczone w rozdziale informacje na temat znalezionych w poszczególnych nawarstwieńach pozostałości roślinnych podano na podstawie następujących opracowań: Michniewicz 2004; Szychowska-Krąpiec, Krąpiec 2013; Skrzyński 2015. Natomiast dane dotyczące szczątków zwierzęcych zaczerpnięto z prac: Kobryń, Przespolewska 2004; Makowiecka, Makowiecki 2015; Piątkowska-Małecka 2015; Tomek 2015a.

wypełnione ciemnoszarobrunatnym piaskiem z plamami jaśniejszego piasku i gliny, niekiedy wypalonej, oraz kawałkami drewna dębowego i węgla drzewnych (w. 300, 301, ryc. VII.5; VII.7; VII.8), natomiast w górnej widoczne jako pusta przestrzeń w wypełniskach dołów i gliniastym nasypie wału (ryc. VII.9; VII.10; VII.12). Pierwszy ze słupów (w. 202, ob. 201), miał co najmniej 3,1 m wysokości, natomiast drugi (w. 205, ob. 206) mierzył nie mniej niż ok. 2,4 m. Znajdujące się na obrzeżu negatywów węgle drzewne (ryc. VII.8; VII.9) mogą świadczyć, że słupy zostały z zewnątrz opalone w celu zwiększenia ich trwałości (por. m.in. Heurich 1877, 42). Dolne części słupów ustabilizowano jasnym piaskiem przemieszanym z brązową i ciemnobrunatną ziemią, pochodzącą z wczesnośredniowiecznych warstw kulturowych (w. 284 i 290, ryc. VII.5; VII.7; VII.10; VII.11). Zawierała ona liczne fragmenty kości zwierzęcych i ceramiki naczyniowej, głównie o charakterze rezydualnym (tabl. VII.9: 18, 19; por. rozdz. VI, tabl. VI.5: 8–12, 14). Jako następny dół omawianej fazy można interpretować położony na tej samej linii obiekt 330, którego niewielki fragment odsłonięto przy południowej granicy wykopu (ryc. VII.5; por. rozdz. VI, ryc. VI.9).

Kolejne działania polegały na podwyższeniu powierzchni majdanu, leżącego dużo niżej w stosunku do dawnego nasypu wału. Znajdujące się u jego podstawy wczesnośredniowieczne warstwy kulturowe począwszy od linii opisanych wcześniej słupów przysypano cienką warstwą żółtego piasku (w. 282; por. rozdz. VI, ryc. VI.7–9). Następnie dosypano czarnego piasku z grudkami zielonkawożółtej gliny (w. 260=275<sup>3</sup>, ryc. VII.12) i brunatnoczarnego piasku (w. 283), które z kolei przykryto jasnym piaskiem z ciemniejszymi plamami (w. 274; por. rozdz. VI, ryc. VI.7–9). Niższy poziom niwelacyjny zawierał liczne fragmenty naczyń wczesnośredniowiecznych (por. rozdz. VI, tabl. VI.6: 8–16), których charakter wskazuje, że ziemię pozyskiwano prawdopodobnie z warstw kulturowych znajdujących się na terenie grodu. Natomiast warstwę 274 tworzył jasny piasek przemieszany z namułami rzecznyymi, na ogół bez zawartości antropogenicznej. Całkowita miąższość warstw niwelacyjnych sięgała w południowo-zachodnim narożniku wykopu ok. 0,6 m. Dzięki tym działaniom zlikwidowano różnicę wysokości między wczesnośredniowiecznymi umocnieniami a majdanem, uzyskując prawie równy teren.

Na tak przygotowanym obszarze przystąpiono do wznoszenia nasypu wału. Jego wewnętrzna krawędź znajdowała się w odległości ok. 0,4–0,8 m na zachód od słupów 202 i 205, pełniących rolę głównych elementów stabilizujących. Jak już wspomniano, były one wkopane w starsze struktury na głębokość ok. 2 m, zaś w trakcie budowy ich górne części stopniowo obisypano kolejnymi warstwami ziemi. Głównym materiałem użytym do wzniesienia umocnień była glina o zielonkawoszarej i jasnobrązowej barwie (ryc. VII.13; por. rozdz. VI, ryc. VI.3). Z układu warstw można wnioskować, że budowa przebiegała w dwóch etapach. Dolna część nasypu (w. 124/2), o wysokości do ok. 1,0–1,3 m, charakteryzowała się obecnością warstewek zhumusowanego piasku o układzie zbliżonym do horyzontalnego (por. rozdz. VI, ryc. VI.6; VI.7; VI.9). W celu lepszej stabilizacji wał podzielony był zapewne na krótsze odcinki, wzmocnione poprzecznymi drewnianymi przegrodami. Pozostałością jednej z nich był przypuszczalnie rowek 231, o szerokości ok. 0,1–0,2 m, biegnący prostopadle do linii umocnień

<sup>3</sup> W przypadku tych jednostek stratygraficznych, które w dokumentacji polowej oznaczono kilkoma numerami, przyjęto zasadę podawania pełnej numeracji przy pierwszym odwołaniu się do nich w tekście, przy kolejnych zaś ograniczono się do głównego numeru. Wyjątki stanowią niekiedy podpisy pod rycinami, co wynika z obecności na zdjęciach różnych numerów.



i dochodzący do słupa 205 (ryc. VII.5). W odległości ok. 2 m na południe od niego zarejestrowano kolejny podobny obiekt (ob. 442), lecz nieco mniej wyraźny (por. rozdz. VI, ryc. VI.6). Wprawdzie ślady słupów 202 i 205 sięgały tylko do stropu warstwy 124/2, jednak można sądzić, że pierwotnie były one znacznie wyższe i stanowiły oparcie dla konstrukcji ustawionej na koronie wału. Górna część nasypu (w. 124/1), o wysokości do ok. 1 m, zbudowana była z naturalnej gliny, jedynie z niewielkim dodatkiem zhumusowanego piasku, tworzącego nieregularne plamy. Znajdowały się tu również kawałki niespalonego drewna sosnowego, cienkie warstewki składające się z wiórów i ścinków drewna tego samego gatunku, a także smugi węgla oraz ciemnobrązowe i czarne plamy, będące pozostałością po rozłożonym i wypalonym drewnie (w. 160, 199 i 207, ryc. VII.14; VII.15). Największe skupisko całkowicie lub częściowo spalonego drewna odnotowano w północno-zachodnim narożniku wykopu, w pobliżu słupa 202. Stanowiło ono przypuszczalnie resztki po obróbce drewnianych elementów umocnień. Całkowita wysokość nasypu wału tej fazy dochodziła na przebadanym obszarze do ok. 1,9 m. Pozyskano z niego materiały zabytkowe o charakterze rezydualnym – po kilkudziesięciu fragmentów kości zwierzęcych i glinianych naczyń, najczęściej wczesnośredniowiecznych (por. rozdz. VI, tabl. VI.5: 6).

Podstawę nasypu wału od strony majdanu wzmacniała drewniana konstrukcja (ob. 430). Zbudowana ona była z ułożonych wzdłuż linii umocnień belek, głównie dębowych, o średnicy ok. 0,2 m (ryc. VII.5; VII.16–22). Oprócz nich, zwłaszcza w północnej części wykopu, odnotowano fragmenty drewna brzozy oraz topoli lub wierzby, a wyjątkowo wiązu i sosny. Dolne belki spoczywały na warstwach niwelacyjnych (ryc. VII.12; VII.16), znajdowały się jednak na różnych poziomach – w południowej części wykopu ułożone były na dnie podłużnej jamy o szerokości ok. 1,2 m i głębokości ok. 0,4 m (ob. 444), natomiast przy profilu północnym ich spąg zarejestrowano aż ok. 0,8 m wyżej (por. rozdz. VI, ryc. VI.8; VI.9). Konstrukcję tworzyły przypuszczalnie dwie pionowe ściany, usytuowane w odległości ok. 0,5–0,7 m od siebie. Zewnętrzna, przylegająca do nasypu, miała co najmniej 0,8–1,0 m wysokości. Najlepiej zachowała się w północno-zachodnim narożniku wykopu, gdzie odkryto m.in. cztery leżące jedna na drugiej belki, mocno nachylone w kierunku południowo-wschodnim (ryc. VII.18; por. rozdz. VI, ryc. VI.8). Natomiast ściana znajdująca się od strony majdanu przetrwała do mniejszej wysokości – ok. 0,4–0,5 m. Powodem tego mogło być jej zniszczenie, ale prawdopodobne jest też, że jej wysokość była niższa. Nasuwa to przypuszczenie, że konstrukcja miała kształt schodkowy i poza funkcją zabezpieczającą nasyp pełniła rolę niewielkiej galerii lub podestu, służącego do przemieszczania się wzdłuż umocnień. Ściana przylegająca do nasypu wału miała w wyższej części kształt ukośny, zgodny z nachyleniem jego stoku. Wynikało to zapewne z jej późniejszego przewrócenia się, niewykluczone jest jednak, że w tym miejscu znajdował się kolejny wyłożony drewnem stopień. W północno-zachodnim narożniku wykopu natrafiono na bardziej rozbudowany układ belek niż w jego pozostałej części (ryc. VII.5; VII.17; VII.20). Zorientowane one były zarówno zgodnie z linią umocnień, jak i prostopadle lub lekko ukośnie do nich, co wskazuje na konstrukcję przekładkową. Drewno ułożone prostopadle do nasypu zachowało się na co najmniej dwóch poziomach, o różnicy wysokości ok. 0,5 m. Niektóre fragmenty, znajdujące się w bezpośrednim sąsiedztwie słupa 202, stanowiły zapewne elementy łączące go z głównymi belkami. Także w innych miejscach konstrukcję 430 prawdopodobnie wzmocniono ułożonymi do niej prostopadle kawałkami drewna, wschodzącymi w gliniasty nasyp. Ich pozostałością mogły być krótkie fragmenty belek, częściowo

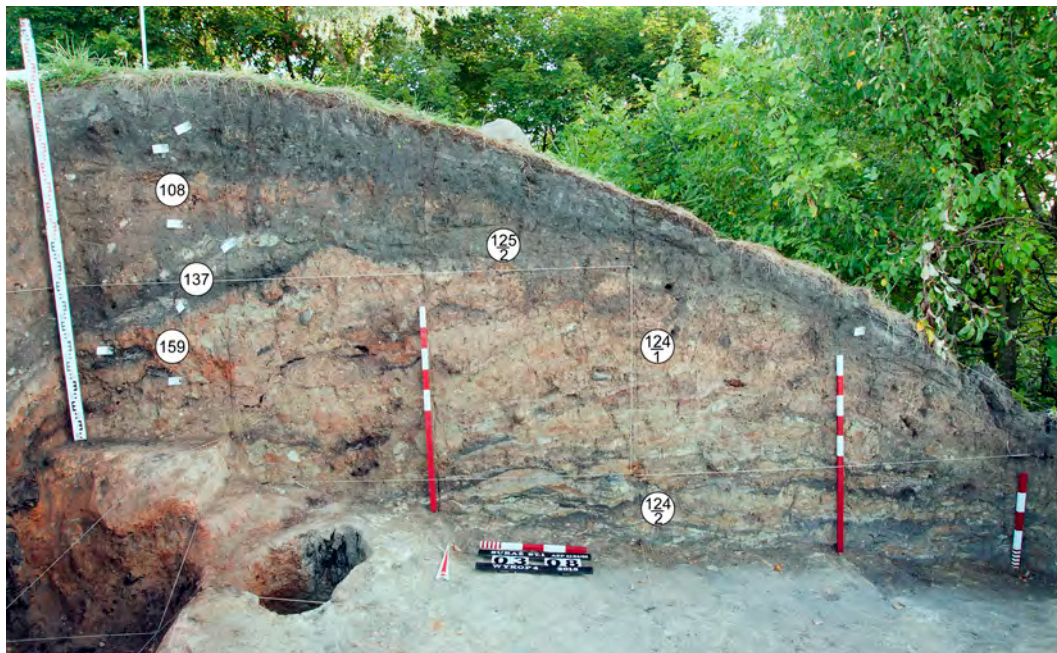
spalonych (w. 256 i 279), o zachowanej długości ok. 0,3–0,5 m (ryc. VII.5). Przypuszczalnie oblepiona gliną konstrukcja z drewna, wsparta na słupach 202 i 205, ustawiona była też na koronie wału. Świadczy o tym zawartość warstw destrukcyjnych, zadokumentowanych na wewnętrznym stoku umocnień (por. dalej, podfaza VC).



**Ryc. VII.12.** Suraż, pow. białostocki, stan. 1, wykop 4. Struktury podfazy VA: warstwy niwelacyjne 260=275 i 274, belki najniższego poziomu konstrukcji 430 oraz negatywy słupów w dołach 201 i 206. W północno-wschodniej części wykopu widoczny nasyp wału wczesnośredniowiecznego (w. 262). Fot. D. Krasnodębski

Z omawianą fazą związane są również nawarstwienia zarejestrowane w przywałowej części majdanu. W pobliżu konstrukcji 430, na stropie opisanego wyżej poziomu niwelacyjnego (w. 274), zalegała cienka warstewka kory pochodzącej z nieokreślonego gatunku drzewa (w. 280). W dalszej części majdanu przechodziła ona w nieco grubszą warstwę, o miąższości do ok. 0,25 m (w. 214=238=239, ryc. VII.5; VII.17; por. rozdz. VI, ryc. VI.8). Relikty te mogą być związane z obróbką drewna przeznaczonego na umocnienia lub zabudowę majdanu. Staranna selekcja materiału (brak innych elementów drzew, takich jak gałęzie i ścinki) wydaje się jednak świadczyć, że korę zgromadzono umyślnie, w celu zabezpieczenia tego miejsca przed przemarzaniem lub przesiąkaniem wody. Potwierdzeniem tego może być znajdująca się w jej spągu cienka warstwa węgla drzewnych (w. 261, ryc. VII.21). Spalone drewno, ze względu na swoje właściwości hydrofobowe, było dodatkowym czynnikiem chroniącym przed wilgocią (por. Biermann 2006, 24 n.; Pawlak, Pawlak 2019, 110 i przyp. 1). Kolejną warstewkę spalenizny (w. 240), o miąższości 0,02–0,10 m, odnotowano w stropie warstwy 214 (por. rozdz. VI, ryc. VI.8; VI.9). Składały się na nią węgle sosny i brzozy, zwęglona kora nieokreślonego gatunku drzewa oraz resztki spalonej słomy. Oprócz ok. 100 fragmentów glinianych naczyń, na ogół późnośredniowiecznych (tabl. VII.10: 1–7), w warstwach 214 i 280 znaleziono dużą

liczbę kości, pochodzących głównie z gatunków udomowionych (bydło, owca lub koza, świnia, koń, kura domowa i pies), z niewielkim udziałem szczątków zwierząt dzikich, takich jak łoś, jeleni, tur, dzik, bóbr i wydra. Na kilkudziesięciu fragmentach kości odnotowano ślady rąbania, cięcia i ogryzania, a na kilkunastu oznaki przepalenia. Ponadto odkryto tu liczne ości i łuski rybnie, wśród których przeważały szczątki okoniowatych i karpionowatych, z nieznanym udziałem szczupaka, płoci i leszcza.



Ryc. VII.13. Suraż, pow. białostocki, stan. 1, wykop 4. Górna część północnego profilu wykopu z gliniastym nasypem wału podfazy VA (w. 124/1 i 124/2). Fot. D. Krasnodębski



Ryc. VII.14. Suraż, pow. białostocki, stan. 1, wykop 4. Fragment drewna sosnowego (w. 199) w nasypie wału podfazy VA. Fot. D. Krasnodębski



Ryc. VII.15. Suraż, pow. białostocki, stan. 1, wykop 4. Warstwa wiórów i ścinków sosnowych (w. 207) na wewnętrznym stoku nasypu wału podfazy VA. Fot. D. Krasnodębski



Ryc. VII.16. Suraż, pow. białostocki, stan. 1, wykop 4. Drewno najniższego poziomu konstrukcji 430, ułożone na stropie warstwy niwelacyjnej 274 (podfaza VA). Fot. D. Krasnodębski



▲ Ryc. VII.17. Suraż, pow. białostocki, stan. 1, wykop 4. Struktury fazy V zniszczone przez doły posłupowe fazy VI. Widoczne spalone belki konstrukcji 430 (w. 243 i 245) oraz warstwa 214=238=239. Fot. D. Krasnodębski

► Ryc. VII.18. Suraż, pow. białostocki, stan. 1, wykop 4. Pozostałości konstrukcji 430 (podfaza VA) widoczne w północnej części zachodniego profilu wykopu (m.in. belka 243). Fot. D. Krasnodębski



▲ Ryc. VII.19. Suraż, pow. białostocki, stan. 1, wykop 4. Jedna z belek (w. 245) konstrukcji 430 podfazy VA w środkowej części wykopu (widok od zachodu). Fot. D. Krasnodębski

► Ryc. VII.20. Suraż, pow. białostocki, stan. 1, wykop 4. Spalone belki konstrukcji 430 podfazy VA w północno-zachodnim narożniku wykopu. Fot. D. Krasnodębski



### Podfaza VB – użytkowanie majdanu

Na przebadanym obszarze zarejestrowano bardzo nikiłe ślady użytkowania grodu w tym okresie. Na terenie przywałowej części majdanu nie stwierdzono reliktyw zabudowy, a późniejszy poziom destrukcyjny (por. faza VC) zalegał w tym miejscu bezpośrednio na opisa-

nej wyżej warstwie kory (w. 214). Na możliwość istnienia budynków o funkcji mieszkalnej w dalszej, nierozpoznanej części majdanu wskazuje jedynie charakter spływowej warstwy 241, która w wyniku późniejszego pożaru (por. dalej) odłożyła się w południowo-zachodnim narożniku wykopu (ryc. VII.21; VII.22; por. rozdz. VI, ryc. VI.9). Jej struktura (duża ilość popiołu i zgliniony piasek) może świadczyć o pochodzeniu z wypełniska pieca lub paleniska. W warstwie znaleziono m.in. ok. 100 fragmentów naczyń późnośredniowiecznych (tabl. VII.12: 5; VII.13: 1–17), w dużej części z oznakami działania wysokiej temperatury, a także ponad 400 kości zwierzęcych, należących głównie do bydła, świni, owcy lub kozy i konia. Kilkadziesiąt fragmentów kości było przepalonych, a na kilku odnotowano ślady rąbania i ogryzania.



Ryc. VII.21. Suraż, pow. białostocki, stan. 1, wykop 4. Struktury fazy V, zniszczone przez doły posłupowe fazy VI. Na drugim planie nasyp wału z okresu wczesnego średniowiecza (w. 262). Fot. D. Krasnodębski



Ryc. VII.22. Suraż, pow. białostocki, stan. 1, wykop 4. Warstwy fazy V (w. 241 i 261) w południowo-zachodnim narożniku wykopu. Fot. D. Krasnodębski

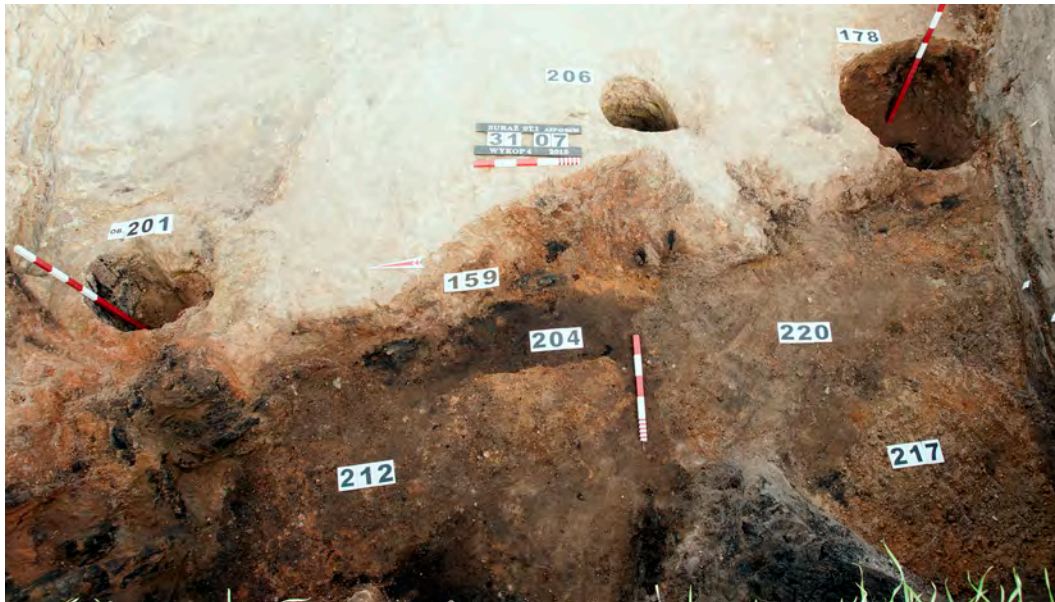
## Podfaza VC – zniszczenie grodu

Na zniszczenie warowni przez pożar wskazują struktury zarejestrowane w przebadanej części majdanu i na wewnętrznym stoku nasypu wału. W wyniku spalania i częściowego zawalenia się konstrukcji 430 w przylegającym do umocnień pasie o szerokości ok. 0,5 m odłożyła się warstwa 204, której miąższości sięgała miejscami ok. 1,1 m (ryc. VII.23; por. rozdz. VI, ryc. VI.8; VI.9). Tworzyły ją plamy i warstewki pomarańczowej gliny oraz mocno zglinionego ciemnobrązowego piasku z dużą ilością substancji organicznych (rozłożone drewno i węgle drzewne). Na skutek pożaru przylegające do konstrukcji 430 lico nasypu wału wypaliło się na pomarańczowo (w. 159 i 216, ryc. VII.13; VII.23; por. rozdz. VI, ryc. VI.7; VI.8). Nieznaczne ślady działania ognia widoczne były również w górnej części zewnętrznego stoku nasypu.

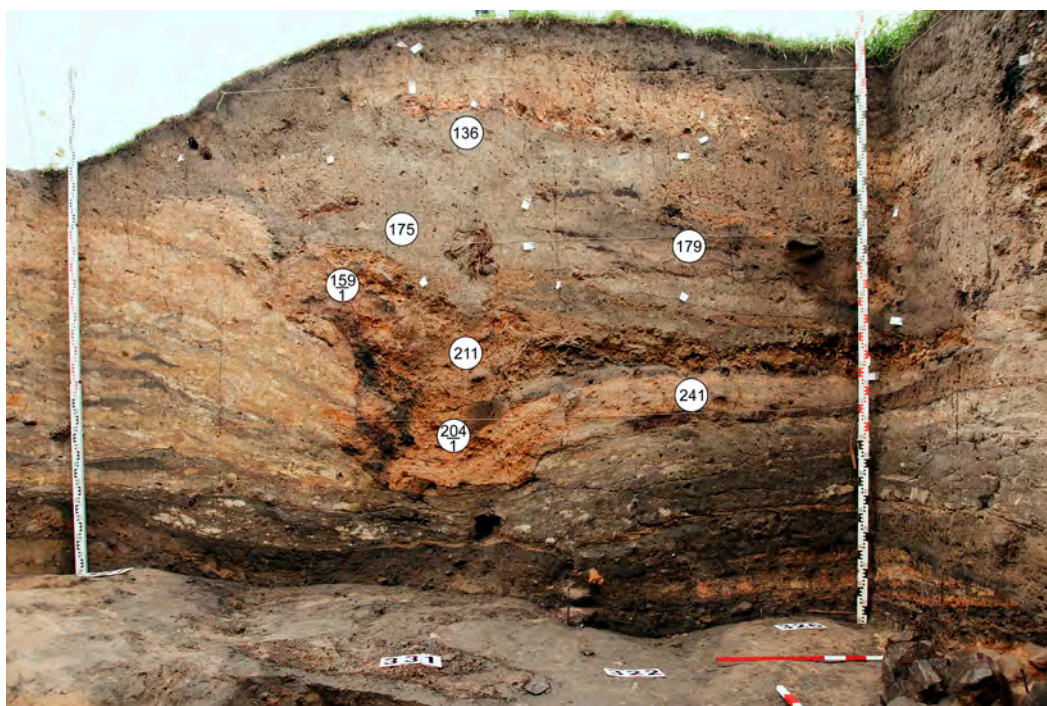
W południowo-zachodnim narożniku wykopu, u podnóża spalonej konstrukcji 430 i między belkami tworzącymi jej najniższy poziom, odłożyła się warstwa 241, o miąższości dochodzącej do 0,45 m (ryc. VII.21; VII.22; VII.24; por. rozdz. VI, ryc. VI.9). Składały się na nią spływowe warstewki przeprażonego zglinionego piasku o pomarańczowej barwie, z jasnoszarymi soczewkami popiołu. Jak już wspomniano (por. wyżej, podfaza VB) powstała ona zapewne w wyniku zniszczenia budynku z piecem, zlokalizowanego w dalszej części majdanu. Nad nią, wzdłuż podstawy nasypu wału, ciągnęła się warstwa zglinionego ciemnobrązowego i pomarańczowego piasku o miąższości ok. 0,1 m (w. 204/1; por. rozdz. VI, ryc. VI.8; VI.9). Zawierała ona dużą ilość rozłożonych substancji organicznych i węgla drzewnych, miejscami tworzących horyzontalne warstewki. W południowo-zachodniej części wykopu w jej stropie zarejestrowano ciekłą warstwę spalenizny (o miąższości do 0,02 m), z kawałkami nadpalonego drewna i węglami różnych gatunków drzew: dębu, sosny, leszczyny, brzozy, wiązu i lipy (w. 218). Odkryto w niej ok. 30 fragmentów naczyń późnośredniowiecznych (tabl. VII.11: 1–9) oraz nieliczne kości zwierzęce, należące m.in. do bydła, świni i owcy lub kozy. Nad poziomem spalenizny odłożyły się warstwy, które powstały ze zniszczenia elementów drewniano-glinianych umocnień, stojących przypuszczalnie na szczycie wału. Na wewnętrznym stoku nasypu, przy południowym profilu wykopu, wyróżniono pomarańczową glinę z kawałkami rozkruszonej polepy i fragmentami węgla drzewnych (w. 159/1), która osunęła się na pozostałości konstrukcji 430 (ryc. VII.24; por. rozdz. VI, ryc. VI.9). W dalszej części majdanu przechodziła ona w warstwę słabo wypalanej polepy, o miąższości do ok. 0,2 m, z niewielką liczbą drobnych węgla drzewnych (w. 217, ryc. VII.23). Były to luźno leżące różnej wielkości fragmenty, na ogół bez śladów po domieszce organicznej i odcisków konstrukcyjnych, z wyjątkiem kilku bryłek o powierzchni płaskiej i być może lekko wklęsłej. W północno-zachodniej części wykopu odpowiednikiem tego poziomu była warstwa podobnej polepy (tabl. VII.20: 5, 6), również z kawałkami węgla drzewnych, o stropie ostro opadającym w kierunku środka majdanu (w. 215; por. rozdz. VI, ryc. VI.8). Największą miąższość (ok. 0,4 m) miała ona w zagłębieniu znajdującym się u podstawy konstrukcji 430.

Górny poziom destrukcyjny na wewnętrznym stoku nasypu wału i u jego podstawy tworzył lekko zgliniony brązowy piasek (w. 181), zawierający dużą liczbę bryłek mocno rozdrobnionej polepy i węgla drzewnych, a gdzieś tam niewielkie kawałki niespalonego drewna (ryc. VII.25; por. rozdz. VI, ryc. VI.8, VI.9). W południowej części wykopu był on przewarstwiony soczewkami o ciemnoszarej barwie, wskazującymi na jego spływowy charakter. Miąższość

tej warstwy wahała się od 0,05 do 0,30 m, a jej strop i spąg opadały w kierunku majdanu. Można ją interpretować jako mocno przekształcone gruzowisko, pochodzące z rozwaliska konstrukcji znajdujących się na szczycie wału. Miejscami na jej stropie zalegała cienka (ok. 0,1 m) warstewka brązowej gliny (w. 190) z drobnymi węglami i grudkami polepy, stanowiąca zapewne spływ z wyższej części nasypu.



Ryc. VII.23. Suraż, pow. białostocki, stan. 1, wykop 4. Struktury faz V i VI w trakcie eksploracji. Na obrzeżu nasypu wału widoczny pas pomarańczowej gliny (w. 159) ze spalonym drewnem – pozostałościami konstrukcji 430. Fot. D. Krasnodębski



Ryc. VII.24. Suraż, pow. białostocki, stan. 1, wykop 4. Południowy profil wykopu z widocznymi w środkowej części warstwami polepy, powstałymi w wyniku spalenia konstrukcji znajdujących się u podstawy i na szczycie nasypu wału fazy V. Fot. D. Krasnodębski



Ryc. VII.25. Suraż, pow. białostocki, stan. 1, wykop 4. Doły posłupowe podfazy VIA (ob. 178 i 213) wkopane w warstwy fazy V. Fot. D. Krasnodębski

### VII.1.3. Faza VI

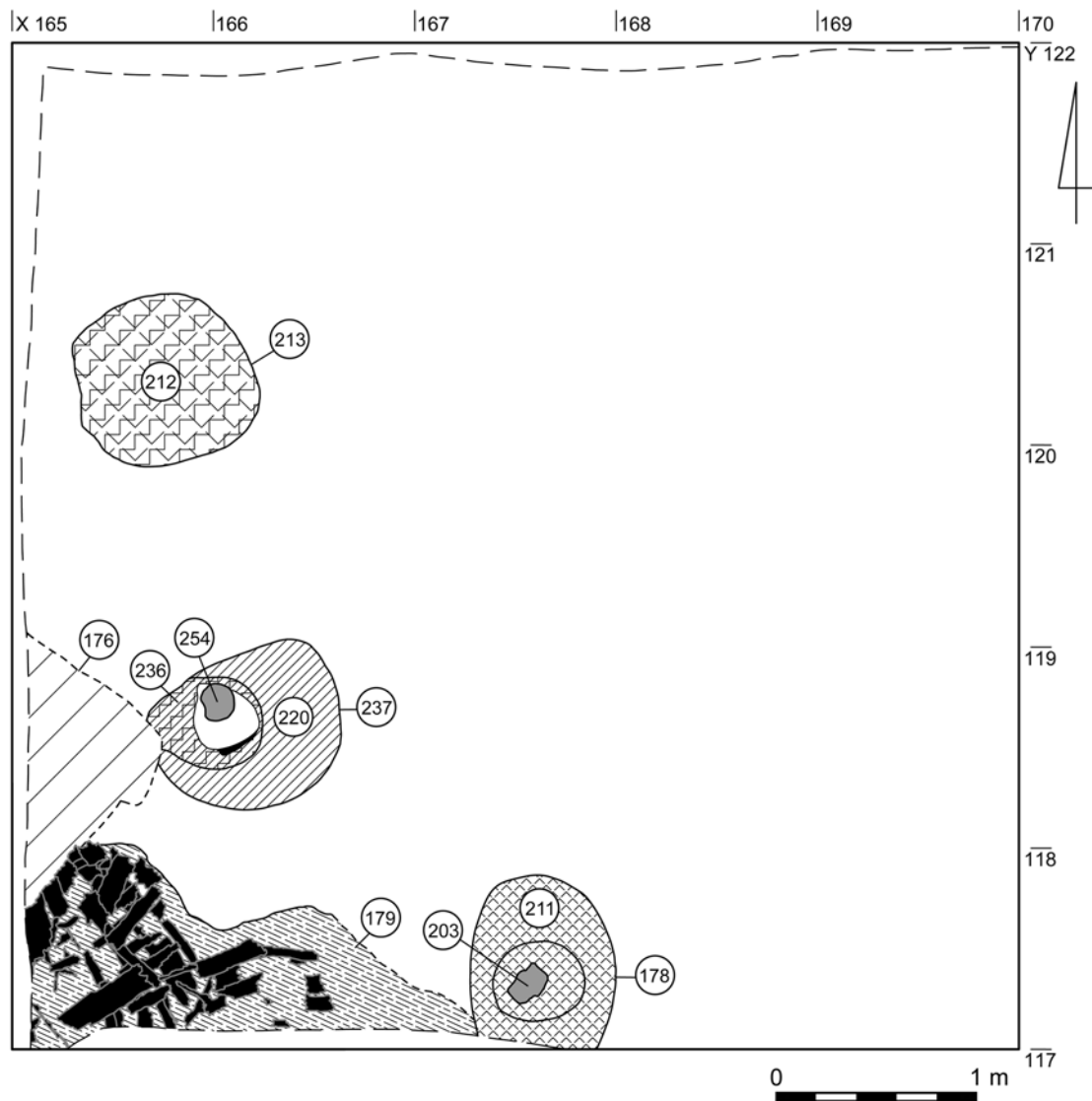
#### Podfaza VIA – odbudowa umocnień

Kolejny etap użytkowania stanowiska związany jest z odbudową grodu po jego zniszczeniu w podfazie VC. Podobnie jak w poprzednim okresie, nowe umocnienia wsparte zostały na rzędzie dużych słupów, lecz ich linia, a tym samym wewnętrzna podstawa wału, została przesunięta o ok. 1,0–1,2 m w kierunku środka majdanu. Pozostałością dołów na słupy opisywanej fazy były obiekty 178 i 237, a prawdopodobnie również 213, wkopane w warstwy destrukcyjne zalegające u podnóża starszego nasypu (ryc. VII.25–31). Odkryty przy południowej granicy wykopu dół 178 miał owalny kształt w planie, o wymiarach ok. 1,0 × 0,7 m, oraz prostokątny przekrój (ryc. VII.25–27; por. rozdz. VI, ryc. VI.9). Został wkopany w nawarstwienia fazy V na głębokość ok. 1,4 m. Jego wypełnisko (w. 211) miało luźną strukturę i składało się z mocno rozdrobnionej polepy przemieszanej z lekko zglinionym ciemnobrunatnym piaskiem, zawierającym pojedyncze węgle drzewne i kilka kamieni. Na dnie dołu widoczny był zarys słupa o średnicy ok. 0,40–0,45 m, z czarną obwódką na obrzeżu, wskazującą na opalenie drewna w celu powstrzymania procesu gnicia (ryc. VII.28). W wyższej części wypełniska dołu, a także powyżej poziomu, z którego został wkopany, znajdowały się pozostałości słupa, w postaci fragmentów zbutwiałego drewna sosnowego (w. 203=219, ryc. VII.26; VII.27; VII.29; por. rozdz. VI, ryc. VI.9). Negatyw górnej części wygnitego słupa wypełniał sycki piasek, składający się z poziomych i lekko ukośnych warstw o ciemnoszarobrunatnej i szarobrunatnej barwie (w. 177).

Drugi dół (ob. 237) miał kształt owalny, o wymiarach w górnej części ok. 1,0 × 0,85 m, zaś w spągu ok. 1,0 × 0,6 m (ryc. VII.26; VII.30). Jego przekrój był lekko trapezowaty, a zachowana głębokość wynosiła ok. 1,2 m. Wypełnisko tworzył ciemnobrunatny piasek z drobnymi bryłkami polepy i węgielkami drzewnymi (w. 220). W niższej części dołu jedyną pozosta-



łością po słupie było zagłębienie w dnie, o wymiarach ok.  $0,40 \times 0,35$  m i miąższości ok. 0,2 m, oraz pusta przestrzeń w wypełniku. Natomiast na wysokości ok. 1 m od jego spągu znajdował się płaski kamień o średnicy ok. 0,35 m, a na nim kawałek niespalonego drewna sosnowego o średnicy ok. 0,16 m (w. 254, ryc. VII.31). Wokół widoczny był owalny zarys negatywu słupa, o wymiarach ok.  $0,6 \times 0,5$  m (ryc. VII.30). Wypełniony był on ciemnobrunatnym piaskiem z jaśniejszymi plamkami, zawierającym drobne fragmenty drewna i polepy (w. 236). Jego strop zarejestrowano ok. 0,75 m powyżej kamienia. Na podstawie tych relikwów można wnioskować, że w trakcie funkcjonowania grodu opisywanej fazy ustawiony w dole słupek został zniszczony, po czym jego górną część wymieniono.



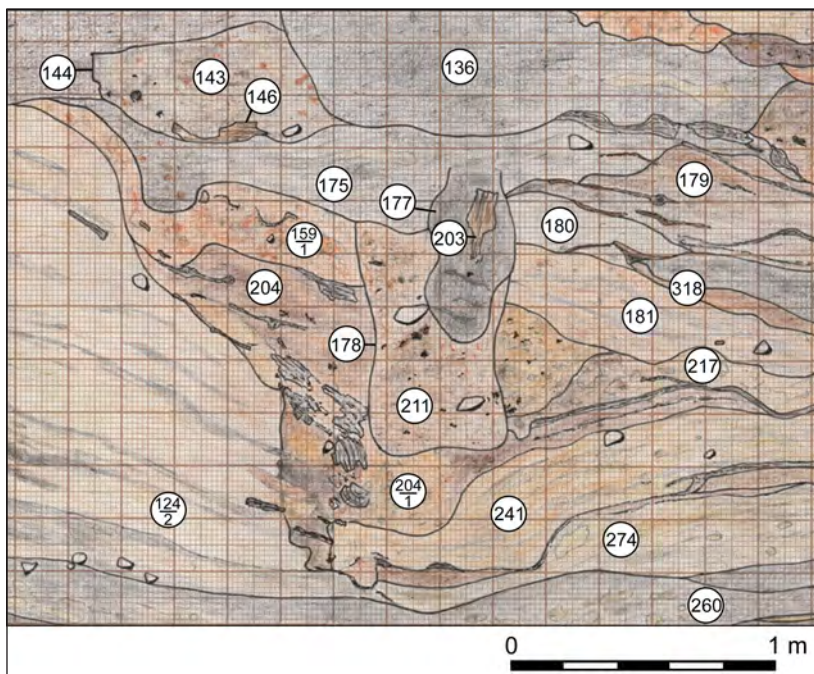
Ryc. VII.26. Suraż, pow. białostocki, stan. 1, wykop 4. Plan zbiorczy struktur fazy VI. Rys. H. Olczak, Z. Tragarz

Ostatni obiekt związany zapewne z linią umocnień z tego okresu zlokalizowany był na północ od dołu 237 (ob. 213, ryc. VII.25; VII.26). Była to kolista w planie i nieckowata w przekroju jama o średnicy ok. 1 m i głębokości dochodzącej prawdopodobnie do ok. 0,85 m. Jej wypełnik składał się ze słabo wypalanej pomarańczowej i jasnobrązowej gliny, prze-

mieszanej z ciemnobrunatnym piaskiem, niewielkimi grudkami polepy i dużą liczbą węgli drzewnych (w. 212). Brak śladów słupa i mniejsza głębokość obiektu mogą wskazywać, że nigdy nie został on wykorzystany przy budowie umocnień. Jednocześnie jednak usytuowanie opisanych dołów względem siebie sugeruje, że słupy rozmieszczono w ten sposób, aby znajdowały się na przemian po zewnętrznej i wewnętrznej stronie płotu, ustawionego na szczycie nasypu wału (por. dalej). W wypełniskach dołów odkryto od kilku do kilkudziesięciu fragmentów ceramiki naczyniowej (tabl. VII.12: 1–3) i kości zwierzęcych, w większości zapewne o charakterze rezydualnym, oraz żelazny hak lub skobel (tabl. VII.17: 7).

Jako element umocnień omawianej fazy wykorzystano gliniany nasyp z poprzedniego okresu. Na północnym profilu wykopu widoczne były ślady jego niwelacji od strony majdanu, która polegała na ścięciu górnej, prawdopodobnie najbardziej zniszczonej części (por. rozdz. VI, ryc. VI.7). Następnie nasyp nadbudowano po wewnętrznej stronie warstwami piasku o łącznej miąższości ok. 1 m, obsypując nim również górne części opisanych wyżej słupów (ryc. VII.13; VII.24; VII.32; por. rozdz. VI, ryc. VI.8; VI.9). Najniższy poziom tworzył szarobrunatny piasek z cienkimi jasnoszarymi soczewkami (w. 175). Zawierał on resztki zbutwiałego drewna i płaty brzozonej (?) kory, skupiające się zwłaszcza na zachód od dołu posłupowego 178. Pozostałości te wskazują na wzmocnienie nasypu kawałkami drewna, być może faszyną. Powyżej znajdował się piasek o podobnej barwie, lecz bardziej jednolitej strukturze, tylko miejscami, zwłaszcza w spągu, z dużą liczbą jasnoszarych i beżowych plamek (w. 125/2 i 136=137=139). Gdzieś w nasypie widoczne były także wtręty zielonkawoszarej gliny (w. 157). Na podstawie materiałów zabytkowych można wnioskować, że do budowy umocnień wykorzystano głównie piasek pochodzący z nawarstwień wczesnośredniowiecznych, przyniesiony zapewne z terenu osady. Obecność soczewek jasnego piasku rzecznego wskazuje na pobieranie budulca również z brzegu Narwi.

Struktury odkryte na wewnętrznym stoku nasypu wału w południowo-zachodnim narożniku wykopu zostały prawdopodobnie naruszone wskutek osunięcia się jego górnej części. Bezpośrednio nad poziomem destrukcyjnym poprzedniej fazy (VC) odłożyła się warstwa 318, o miąższości ok. 0,1 m, powstała z rozkładu niespalonego drewna (por. rozdz. VI, ryc. VI.9). Zawierała ona dużą ilość substancji organicznych, m.in. kawałki deski. Nieco wyżej znajdowały się warstwy sypkiego jasnoszarego, ciemnoszarobrunatnego i ciemnoszarego piasku (w. 180, 210 i 229), o łącznej miąższości do 0,25 m i stropie opadającym w kierunku środka majdanu. W pierwszej z nich, przylegającej do słupa 203, odkryto płaty kory brzozonej i cienkie kawałki drewna. Powyżej zalegał piasek o ciemnobrązowoczarnej, brązowej i brunatnej barwie (w. 179). Jego miąższość od strony nasypu wynosiła ok. 0,4 m, natomiast bliżej majdanu sięgała ok. 1 m (por. rozdz. VI, ryc. VI.8; VI.9). W warstwie tej zadokumentowano co najmniej cztery poziomy spalonego i nadpalonego drewna (ryc. VII.26; VII.33). Były to niewielkie deski lub belki oraz nieobrobione gałęzie, często z zachowaną korą, pochodzące z brzozy i grabu. Największe kawałki leżały równoległe do linii umocnień, zaś nieco mniejsze prostopadle do niej. Te ostatnie były lekko nachylone w kierunku majdanu. Drewno stanowi przypuszczalnie pozostałość szalowania wzmocniającego wewnętrzne lico wału. Konieczność istnienia zabezpieczenia w tym miejscu wynikała z piaszczystej struktury nasypu. Słaby stan zachowania odsłoniętych reliktyw uniemożliwia odtworzenie kształtu tej konstrukcji.



Ryc. VII.27. Suraż, pow. białostocki, stan. 1, wykop 4. Fragment południowego profilu wykopu z przekrojem dołu postłupowego 178 podfazy VIA (dokumentacja pola). Rys. H. Olczak



Ryc. VII.28. Suraż, pow. białostocki, stan. 1, wykop 4. Ślad słupa w dole postłupowym 178 (podfaza VIA). Fot. D. Krasnodębski



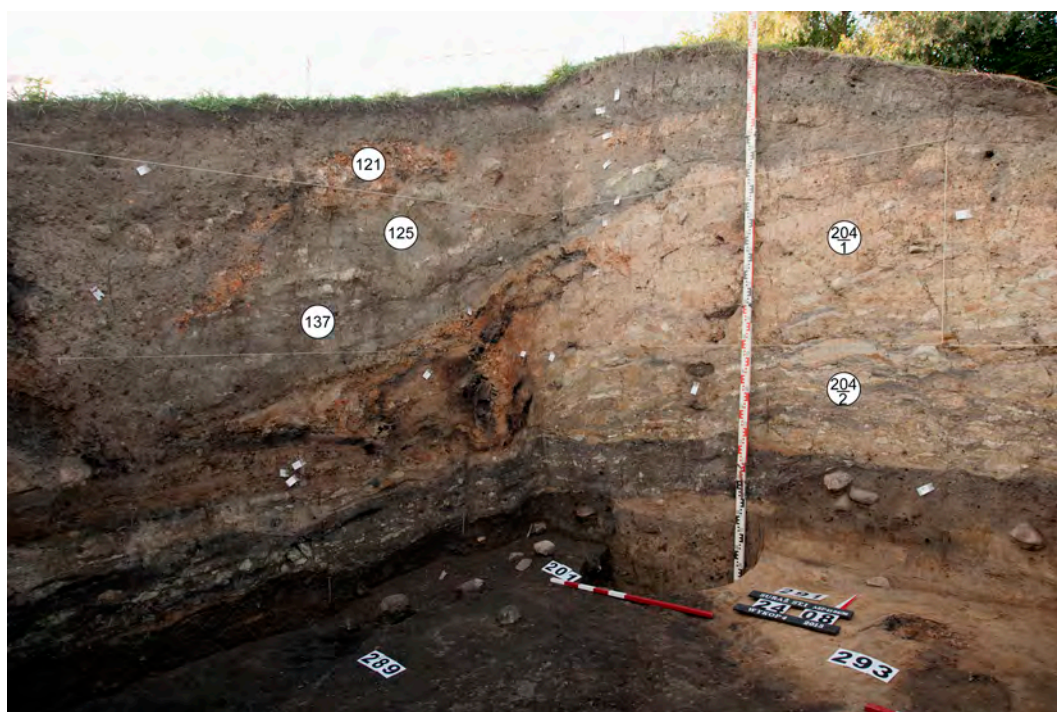
Ryc. VII.29. Suraż, pow. białostocki, stan. 1, wykop 4. Dół postłupowy 178 podfazy VIA w trakcie eksploracji. Przy profilu widoczny fragment dolnej części sosnowego słupa (w. 203=219). Fot. D. Krasnodębski



Ryc. VII.30. Suraż, pow. białostocki, stan. 1, wykop 4. Dół posłupowy 237 podfazy VIA z widocznym negatywnym słupa (w. 236), wkopany w warstwę 214=238=239 fazy V (widok od południa). Fot. D. Krasnodębski



Ryc. VII.31. Suraż, pow. białostocki, stan. 1, wykop 4. Pozostałości drewnianego słupa, ustawionego na kamieniu w dole posłupowym 237 podfazy VIA (widok od zachodu). Fot. D. Krasnodębski



Ryc. VII.32. Suraż, pow. białostocki, stan. 1, wykop 4. Górna część zachodniego i północnego profilu wykopu z widocznymi warstwami nasypu wału podfazy VIA (w. 136=137=139) i przykrywającą je polepą podfazy VIB (w. 121=122=123=140). Fot. D. Krasnodębski

Szczyt piaszczystego nasypu wału oblepiono prawdopodobnie gliną. Świadectwem tego zabiegu była warstwa 108, o miąższości do 0,2 m, która najlepiej zachowała się w północnej części wykopu (ryc. VII.13; por. rozdz. VI, ryc. VI.7). Jej miejscami pomarańczowe zabarwienie oraz obecność grudek polepy i drobnych węgli drzewnych wskazują na działanie ognia. Trudno rozstrzygnąć, czy było to efektem pożaru, który zniszczył umocnienia tej fazy (por. dalej, podfaza VIB), czy też zgodnie z przypuszczeniami Aleksandra Stafińskiego glina została wypalona umyślnie, w celu zabezpieczenia wału przed osypywaniem się (Stafiński 1937b, 12). Znajdująca się powyżej tego wylepienia warstwa mocno zhumusowanego czarnego pia-

sku (w. 107) stanowić może pozostałość wykształconego na szczycie nasypu humusu, nie jest jednak wykluczone, że wiąże się już z kolejnym etapem użytkowania warowni.

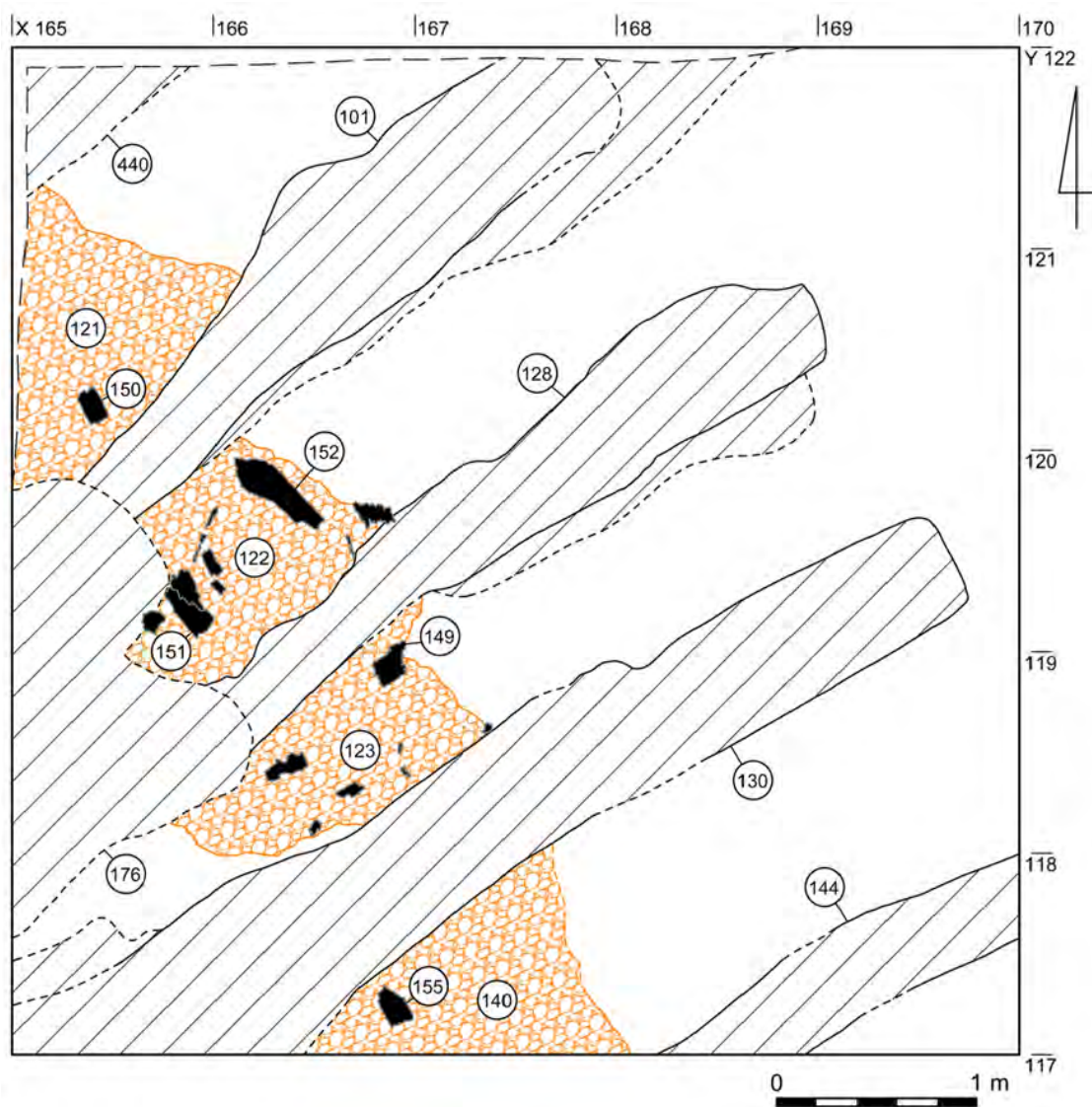
Na szczycie nasypu wału od strony majdanu ustawiona była drewniana konstrukcja oblepiona gliną. Jej oś tworzyły przypuszczalnie górne części opisanych wyżej sosnowych słupów (w. 203 i 254), do których – jak się wydaje – przymocowane były mniejsze belki. Niektóre kawałki drewna, pochodzące z dębu, rzadziej sosny, zachowały się *in situ* (w. 149–155, ryc. VII.34). Tworzyły one zapewne dwa rzędy, ułożone równoległe do linii umocnień, w odległości ok. 0,7–0,8 m od siebie. Na podstawie odcisków zachowanych na fragmentach polepy, znalezionych w warstwie destrukcyjnej konstrukcji (w. 121=122=123=140, tabl. VII.20: 1–3) oraz w wypełniskach wkopanych w nią rowach następnej fazy (tabl. VII.18; VII.19), można sądzić, że był to rodzaj drewniano-glinianej ściany, zbudowanej na szkielecie z prostokątnych belek o szerokości do 0,2 m oraz okrągłych lub półokrągłych kołków o średnicy kilku centymetrów, wzmocnionej plecionką z cienkich gałązek. Do schudzenia gliny użyto średniej ilości siewki z traw, uprzednio dość drobno pociętych.



Ryc. VII.33. Suraż, pow. białostocki, stan. 1, wykop 4. Spalone drewno w warstwie 179 w południowo-zachodnim narożniku wykopu (faza VI). Fot. D. Krasnodębski

#### Podfaza VIB – zniszczenie umocnień

Zniszczenie umocnień tej fazy nastąpiło wskutek pożaru, który strawił m.in. drewniano-glinianą konstrukcję stojącą na szczycie nasypu wału. Śladem po tym zdarzeniu była warstwa destrukcyjna o miąższości do 0,45 m (w. 121), składająca się z przeprażonej i rozkruszonej gliny o pomarańczowej barwie, z dużą ilością polepy (tabl. VII.20: 1–3) oraz węgla dębu i sosny. Ciągnęła się ona pasem o szerokości ok. 1,5 m na szczycie umocnień, wzdłuż ich wewnętrznej krawędzi (ryc. VII.32; VII.34; VII.35; por. rozdz. VI, ryc. VI.8; VI.9). W wyniku działania ognia konstrukcja przewróciła się, a wypalona glina rozsypała się po jej obu stronach. Spaleniu uległo również drewno znajdujące się w warstwie 179, stanowiące zapewne wzmocnienie wewnętrznej części nasypu wału (ryc. VII.33).



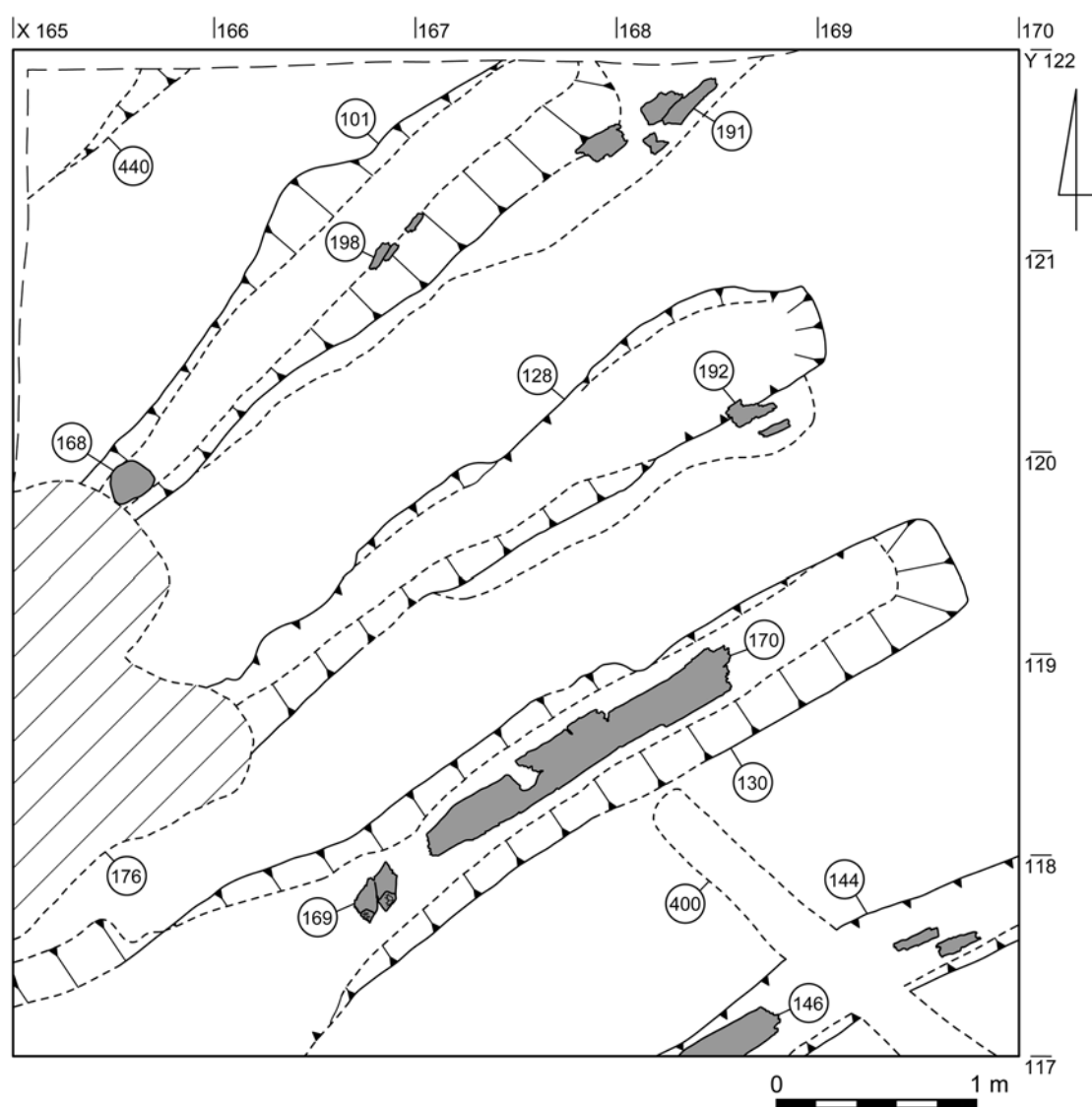
Ryc. VII.34. Suraż, pow. białostocki, stan. 1, wykop 4. Spalone drewno (w. 149–155) i polepa (w. 121=122=123=140) podfazy VIB na szczycie nasypu wału. Rys. H. Olczak



Ryc. VII.35. Suraż, pow. białostocki, stan. 1, wykop 4. Warstwa polepy (w. 121=122=123) na szczycie nasypu wału (podfaza VIB), zniszczona przez rowy fazy VII. Fot. D. Krasnodębski

#### VII.1.4. Faza VII

W następnym okresie zniszczone w podfazie VIB umocnienia grodu zostały odbudowane. Ze względu na przesunięcie po raz kolejny wewnętrznej linii nasypu wału w kierunku środka majdanu ślady tych działań uchwycono w niewielkim stopniu. Główną część obwarowań nadal tworzył gliniasto-piaszczysty nasyp faz V i VI. Zapewne w tym czasie jego szczyt został wzmocniony gliną przemieszaną z ciemnym piaskiem, której pozostałością była cienka warstwa 96=97 (por. rozdz. VI, ryc. VI.6; VI.7). Świadectwem odbudowy umocnień w omawianej fazie było pięć rowów (ob. 101, 128, 130, 144 i 440), wkopanych w starszy nasyp, w odległości ok. 0,7–1,0 m jeden od drugiego (ryc. VII.36–39). Były one zorientowane z północnego wschodu na południowy zachód, prostopadłe do linii wału.



Ryc. VII.36. Suraż, pow. białostocki, stan. 1, wykop 4. Pozostałości drewna w rowach fazy VII.

Rys. H. Olczak, Z. Tragarz



Ryc. VII.37. Suraż, pow. białostocki, stan. 1, wykop 4. Rowy fazy VII po eksploracji piaszczystych wypełnisk. Fot. D. Krasnodębski



Ryc. VII.38. Suraż, pow. białostocki, stan. 1, wykop 4. Drewniane deski i słup (w. 146, 169 i 170) w rowach 130 i 144 fazy VII oraz słup 147, związany prawdopodobnie z budynkiem 114 fazy VIII. Fot. D. Krasnodębski

Rowy odsłonięto na odcinkach od kilkudziesięciu centymetrów do ponad 5 m, jednak w żadnym przypadku nie udało się uchwycić ich całkowitej długości. Ich szerokość wynosiła przeciętnie 0,4–0,6 m, a tylko obiekt 101 mierzył miejscami ok. 0,8 m. W przekroju struktury te miały kształt czworokątny lub lekko trapezowaty (por. rozdz. VI, ryc. VI.6–9), a ich głębokość w środkowych częściach wahała się od ok. 0,4–0,5 m (ob. 144) do 1,1 m (ob. 101). Na podstawie wschodnich odcinków obiektów 128 i 130 można sądzić, że przy zewnętrz-



nych końcach rowy wypłycały się do kilku lub kilkunastu centymetrów. Na dnie większości z nich znaleziono niespalone deski lub mniejsze kawałki drewna. Najlepiej zachowały się one w obiekcie 130, w którym natrafiono na ułożoną na płask dębową deskę (w. 170), o długości 1,8 m, szerokości ok. 0,25–0,30 m i grubość ok. 0,05 m (ryc. VII.36–39). W zachodniej części rowu drewna nie stwierdzono, zaś jego spąg położony był w tym miejscu o ok. 0,3–0,4 m niżej. Fragmenty dębowej deski lub desek (w. 146) odkryto również na dnie obiektu 144. Nie-wielkie kawałki niespalonego drewna (w. 191, 192 i 198) znaleziono też na poziomie spągów rowów 101 i 128 (ryc. VII.36; VII.40). Tym razem pochodziły one nie z dębu, lecz z sosny, a ich związek z opisywanymi strukturami nie jest pewny.

W odległości ok. 3 m od wschodniego końca rowu 130, ok. 0,2 m na zachód od deski 170, odsłonięto pozostałości pionowo lub lekko ukośnie wbitego dębowego słupa (w. 169, ryc. VII.36–39). Miał on co najmniej 0,3 m średnicy i zachował się do wysokości ok. 0,5 m. Także w rowie 101 odkryto negatyw mocno zniszczonego słupa (ob. 168), ale sosnowego, o trapezowatym kształcie i wymiarach 0,22 × 0,18 m (ryc. VII.36).



Ryc. VII.39. Suraż, pow. białostocki, stan. 1, wykop 4. Deska 170 na dnie rowu 130 fazy VII. Fot. D. Krasnodębski



Ryc. VII.40. Suraż, pow. białostocki, stan. 1, wykop 4. Kawałki niespalonego drewna sosnowego (w. 191 i 192), związane prawdopodobnie z rowami 101 i 128 fazy VII. Fot. D. Krasnodębski

Poza drewnem opisywane obiekty wypełniał przemieszany piasek, przeważnie o luźnej strukturze i brunatnoczarnej lub ciemnoszarej barwie. W większości z nich stwierdzono liczne fragmenty polepy z odciskami konstrukcyjnymi (tabl. VII.18; VII.19: 1–5), pochodzące najwyraźniej z warstwy destrukcyjnej starszej fazy (w. 121), w którą zostały wkopane. Tylko rów 130 wyróżniał się bardziej złożonym wypełniskiem. W jego zachodniej części, w stropie brunatnoczarnego piasku o miąższości ok. 0,3–0,7 m (w. 129), zalegała cienka warstwa słabo wypalanej polepy i lekko zglinionego ciemnobrązowego piasku (w. 171; por. rozdz. VI, ryc. VI.9). Powyżej niej znajdowała się ciemnobrązowa próchnica o sypkiej strukturze i miąższości do 0,4 m (w. 138=163). Zawierała ona kawałki drewna, drobne węgle drzewne, a także kilka luźno leżących kamieni i różnych rozmiarów bryłek polepy (tabl. VII.19: 6). Skład tej warstwy wskazuje, że powstała ona w wyniku rozkładu nieokreślonych drewnianych elementów. W rowach znaleziono dwa fragmentarycznie zachowane przedmioty żelazne o niewiadomym przeznaczeniu (tabl. VII.17: 4, 6), drobne ułamki ceramiki wczesno- i późnośredniowiecznej (tabl. VII.9: 10–17) oraz kości zwierzęce, będące w większości materiałami o charakterze rezydualnym.

Nie jest pewne, czy z umocnieniami omawianej fazy związany jest także domniemany rów (ob. 400), którego mało wyraźny zarys widoczny był między obiektami 130 i 144 oraz na południowy wschód od drugiego z nich (ryc. VII.36; por. rozdz. VI, ryc. VI.9). Miał on trapezowaty przekrój o głębokości ok. 0,4 m, a jego szerokość wynosiła ok. 0,25 m. Rów zorientowany był zgodnie z linią wału.

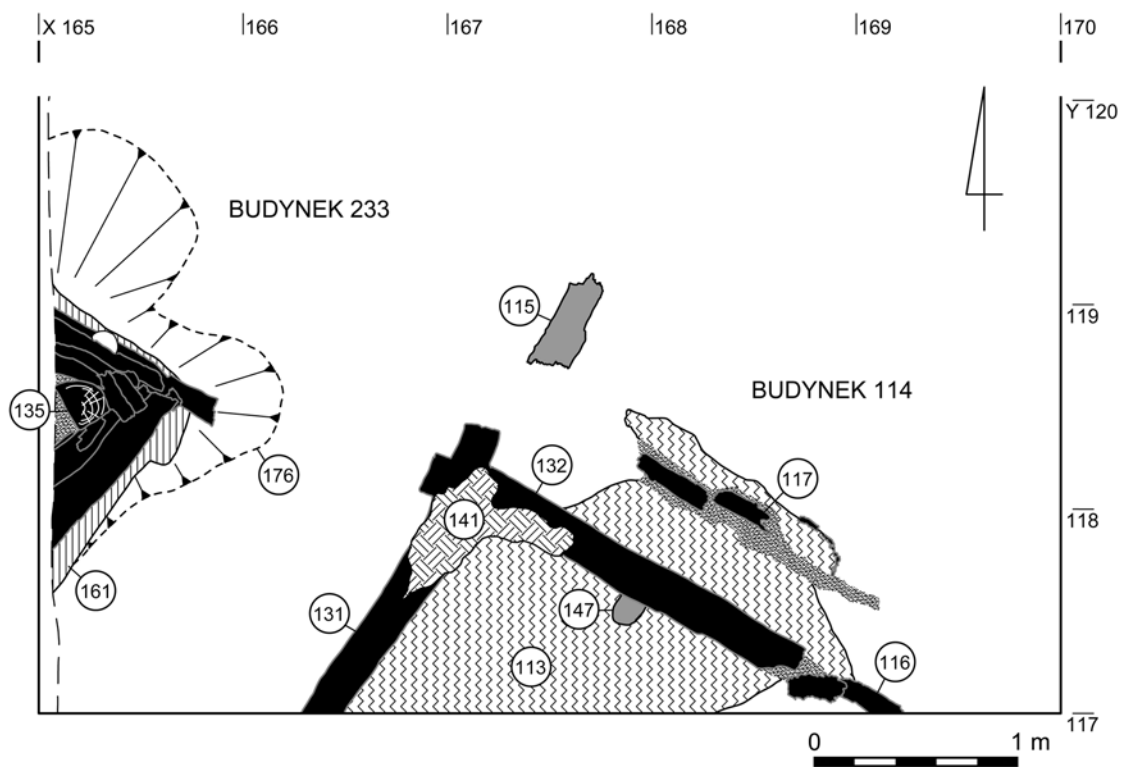
Opisane struktury są najprawdopodobniej pozostałościami drewnianej konstrukcji, ustawionej na szczycie nasypu wału. Umieszczone w rowach deski i słupy stanowiły podpory pod biegnącą wzdłuż linii umocnień drewnianą galerię obronną.

### VII.1.5. Faza VIII

#### **Podfaza VIIIA – wzniesienie budynków 114 i 233**

W tym okresie powstały dwa drewniane budynki (ob. 114 i 233). Pierwszy z nich usytuowany był na szczycie nasypu wału, zaś drugi u jego podstawy, we wschodniej części majdanu (ryc. VII.41–47). Obie budowle miały orientację północny wschód – południowy zachód.

Budynek 114 wzniesiony został w konstrukcji zrębowej (ryc. VII.41; VII.42). Posadowiono go na warstwie podsypki, którą tworzyła jasnobrązowa glina o miąższości ok. 0,2 m (w. 113; por. rozdz. VI, ryc. VI.9). Przed przystąpieniem do budowy wewnętrzny stok nasypu wału wyrównano przy pomocy jasnobrązowego żwiru (w. 145). Miąższość warstwy niwelacyjnej wynosiła 0,2–0,3 m, a jej spąg i strop opadały w kierunku południowo-zachodnim, zgodnie z nachyleniem stoku wału. W wykopie odsłonięto podwalinę północnego narożnika budynku, o wymiarach ok. 2,9 × 1,4 m. Jej pozostałościami były spalone dębowe deski (w. 131, 132), o szerokości ok. 0,2 m, oraz sosnowa belka, o zachowanej średnicy ok. 0,15 m (w. 116). W odległości ok. 0,2 m od nich leżały kolejne zwęglone deski – dębowa i sosnowa (w. 117/1 i 117/2), a także niespalona sosnowa (w. 115). Stanowiły one zapewne rozwalisko wyższej części budowli. Elementem konstrukcyjnym opisywanego budynku był przypuszczalnie również dębowy słup o zachowanej średnicy ok. 0,2 m (w. 147), pionowo wbity po wewnętrznej stronie deski 132 (ryc. VII.41).



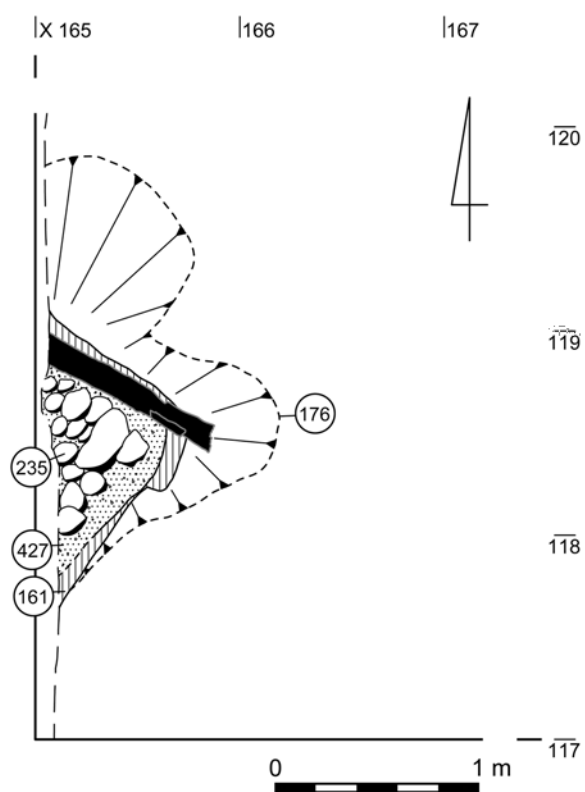
Ryc. VII.41. Suraż, pow. białostocki, stan. 1, wykop 4. Południowa część wykopu z budynkami 114 i 233 fazy VIII. Rys. H. Olczak



Ryc. VII.42. Suraż, pow. białostocki, stan. 1, wykop 4. Zwęglone ściany budynku 114 fazy VIII i widoczna między nimi warstwa gliny (w. 113). Fot. D. Krasnodębski



Ryc. VII.43. Suraż, pow. białostocki, stan. 1, wykop 4. Fragment zachodniego profilu wykopu ze wschodnim narożnikiem budynku 233 (faza VIII). Fot. D. Krasnodębski



Ryc. VII.44. Suraż, pow. białostocki, stan. 1, wykop 4. Kamienny bruk (w. 235) wewnątrz budynku 233 fazy VIII. Rys. H. Olczak



Ryc. VII.45. Suraż, pow. białostocki, stan. 1, wykop 4. Kamienny bruk (w. 235) wewnątrz budynku 233 fazy VIII. Fot. D. Krasnodębski



Ryc. VII.46. Suraż, pow. białostocki, stan. 1, wykop 4. Spalone belki ścian i kamienny bruk wewnątrz budynku 233 fazy VIII (widok od zachodu). Fot. D. Krasnodębski



Ryc. VII.47. Suraż, pow. białostocki, stan. 1, wykop 4. Wschodni narożnik budynku 233 fazy VIII ze spalonym słupem 135 i widoczną na lewo od niego warstwą przepalanej gliny 134 (widok od wschodu). Fot. D. Krasnodębski

Ściany budynku były najprawdopodobniej oblepione gliną. Znalezione w warstwie destrukcyjnej fragmenty polepy charakteryzują się domieszką drobnej siczki i są niekiedy całkowicie przepalone. Stwierdzono na nich bardzo słabo widoczne odciski dużych belek lub desek. Na nielicznych fragmentach licowych (?) widoczny jest wapnisty nalot, być może pobiała. Obecność piasku na powierzchni kilku bryłek może świadczyć, że polepa stanowiła także wylepienie podłogi. W warstwach związanych ze zniszczeniem budynku odkryto również kilka fragmentów cegieł. Były to okazy o niewielkich rozmiarach (11,1 cm szerokości i 6,2 cm wysokości), ze śladami przepalenia i okopcenia. Pochodzić one mogą ze ścian budynku lub – co wydaje się bardziej prawdopodobne – ze znajdującego się w nim pieca lub paleniska.

Drugi budynek (ob. 233) zlokalizowany był w odległości ok. 1,5 m na północny zachód od wcześniej opisanego, w przywałowej części majdanu (ryc. VII.41; VII.43–47). W wykopie

odsłonięto jego wschodni narożnik, posadowiony ok. 2,5 m niżej niż konstrukcja 114. Prace budowlane rozpoczęto od podkopania wewnętrznej części nasypu na głębokość co najmniej 1,7 m (ob. 176, ryc. VII.43; por. rozdz. VI, ryc. VI.8). Na dnie tego wkopu wysypano warstwę żwiru, o grubości ok. 0,1 m (w. 427). Na podsypce ułożono bruk ze ściśle przylegających do siebie średniej wielkości kamieni (w. 235, ryc. VII.44; VII.45), zaś na nim dolne deski ścian (ryc. VII.46). Wysokość bezwzględna bruku (ok. 129,10 m n.p.m.) wyznacza niewątpliwie poziom majdanu w tym okresie. Budynek wzniesiony został najprawdopodobniej w konstrukcji zrębowej, wzmocnionej w narożniku pionowym słupem. Odsłonięte w wykopie ściany przetrwały do wysokości ok. 1,25 m. Zachowana średnica użytych do budowy belek wynosiła od 0,1 do 0,2 m (m.in. w. 126, 148, 234). Wykonane one zostały w większości z drewna sosny, a tylko jedna – z jodły. W jednej z belek górnego poziomu tkwił żelazny gwóźdź. Drewno było prawie całkowicie spalone, z wyjątkiem zewnętrznej części ścian wchodzących najdalej w nasyp wału. Ustawiony w narożniku budowli sosnowy słupek (w. 135) zachował się do wysokości ok. 1,1 m (ryc. VII.43; VII.47; por. rozdz. VI, ryc. VI.8). Miał ok. 0,22 m szerokości i prawdopodobnie z dwóch boków był ociosany (ryc. VII.41). W wewnętrznej części budynku znajdowało się mocno przepalone rumowisko, pochodzące zapewne z wylepienia jego ścian gliną (w. 134, por. podfaza VIII B). Natomiast od zewnątrz ściany obsypane były ciemnobrunatnym i ciemnobrązowym piaskiem (w. 161=172), z plamkami jasnobrązowej i zielonkawoszarej gliny oraz kawałkami drewna i drobnymi węglami drzewnymi (ryc. VII.43). Zawierał on także pojedyncze kamienie, niewielkie grudki cegieł (?) i polepy (tabl. VII.20: 4) oraz kości zwierzęce i fragmenty ceramiki naczyniowej, zdeponowane wtórnie.

Nie znaleziono żadnych przedmiotów mogących wskazywać na przeznaczenie opisywanych budynków. Ze względu na usytuowanie konstrukcji 114 na szczycie nasypu wału można przypuszczać, że stanowiła ona jeden z elementów systemu obronnego zamku.

### **Podfaza VIII B – zniszczenie budynków 114 i 233**

Budynki 114 i 233 zostały zniszczone przez pożar. Na skutek spalenia konstrukcji 114 w jej północnym narożniku wytworzyła się warstwa zżużłonego gruzu o miąższości do ok. 0,2 m, powstałego z mocno przepalonej cegły lub polepy i przemieszanego z popiołem (w. 141, ryc. VII.41). Natomiast powyżej zachowanych podwalin budynku powstały warstwy destrukcyjne 95 i 99. Pierwsza z nich, o miąższości 0,2–0,3 m, składała się z polepy, miejscami zwartej, miejscami zaś gruzelkowatej, przemieszananej z ciemnobrązowym piaskiem. Zawierała fragmenty niespalonego drewna sosnowego oraz węgle sosny i dębu, koncentrujące się zwłaszcza na jej północno-zachodnim obrzeżu, gdzie znajdował się też przeprażony gruz gliniany. Zalegająca przy południowej granicy wykopu warstwa 99 miała do 0,25 m miąższości i składała się z czarnego zhumusowanego piasku z niewielką liczbą plamek jasnobrązowej gliny oraz węgielkami sosny i dębu (por. rozdz. VI, ryc. VI.9). Odnotowano w niej dużą ilość polepy, kilka fragmentów cegieł ze śladami okopcenia i wtórnego przepalenia, drobny zżużłony gruz o białej barwie i niewielkie przepalone kamienie.

W wyniku pożaru wewnątrz budynku 233 utworzyła się warstwa 134, składająca się z białoszarego i różowobeżowego przeprażonego gruzu glinianego, przemieszanego z popiołem. Miała ona co najmniej 1,25 m miąższości i sięgała od spągu konstrukcji do najwyższej za-

chowanej części ścian (ryc. VII.43; VII.47; por. rozdz. VI, ryc. VI.8). W miejscu spalonego budynku w stoku nasypu wału powstało niewielkie zagłębienie, które stopniowo wypełniło się humusem (w. 110).

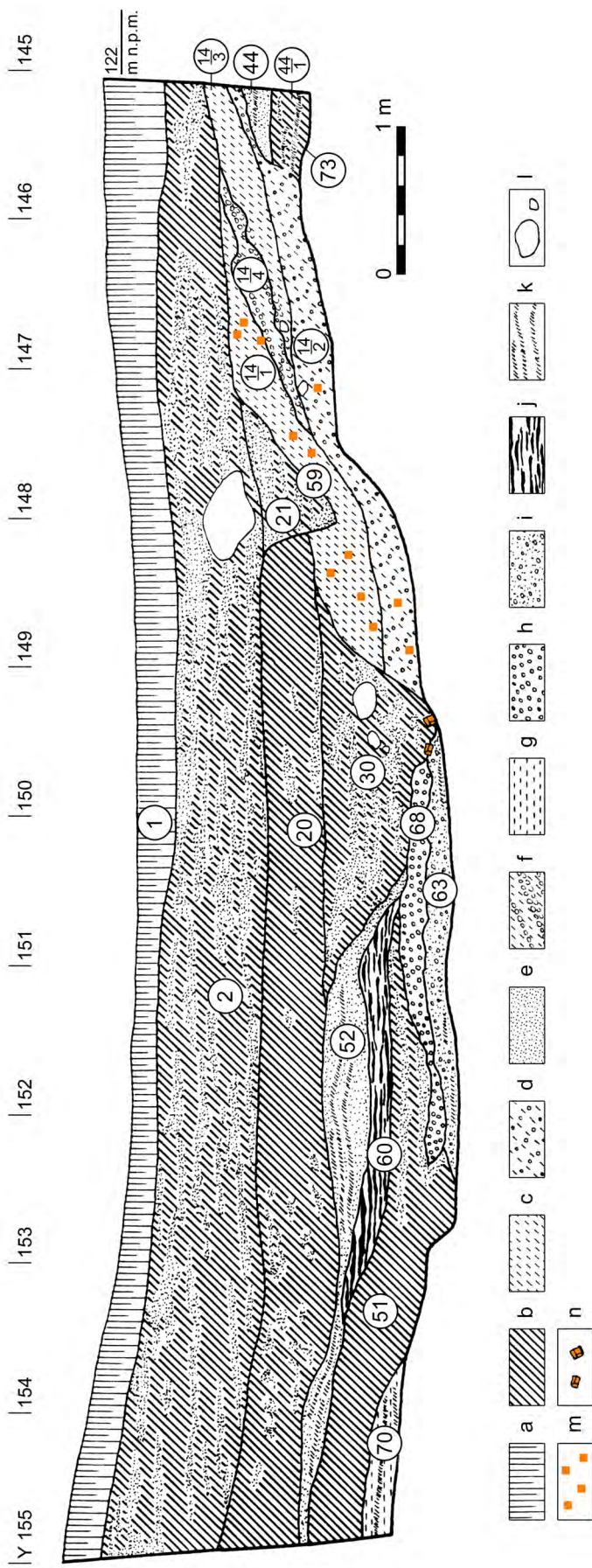
#### VII.1.6. Fosa zewnętrzna (wykop 1)

Na późne średniowiecze i początek okresu nowożytnego datować można również struktury odkryte w wykopie 1, zlokalizowanym u podstawy grodziska od strony północnej, na terenie fosy zewnętrznej (por. rozdz. III, ryc. III.1; III.2). Znajdujące się w tym miejscu nawarstwienia, o łącznej miąższości sięgającej ok. 2,5 m (ryc. VII.48; VII.49), powstały głównie w wyniku procesów denudacyjnych obejmujących nasyp wału oraz akumulacji pochodzących z niego materiałów w wypełnisku fosy.

##### VII.1.6.1. Faza A

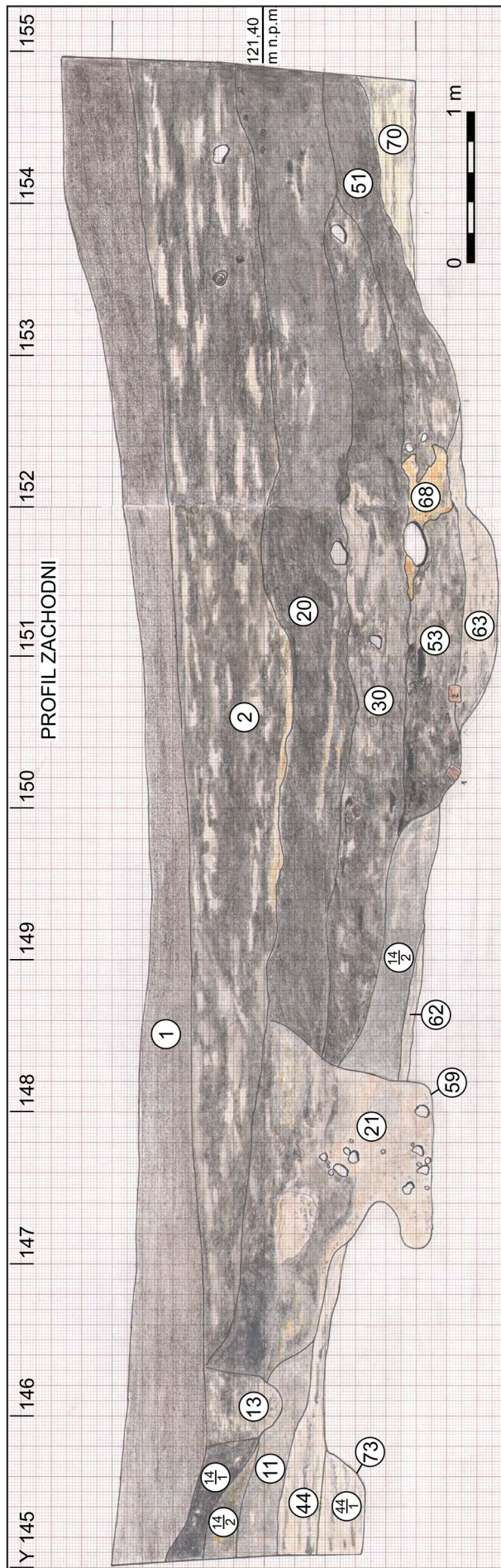
Najstarsze struktury, pochodzące prawdopodobnie z przełomu wczesnego i późnego średniowiecza, odkryto w południowej części wykopu. W bezpośrednim sąsiedztwie stoku nasypu wału odsłonięto północny fragment rowu, ciągnącego się równoległe do umocnień i stanowiącego przypuszczalnie pozostałość fosy (ob. 73, ryc. VII.48–50). Na przebadanym odcinku miał on ok. 0,7 m szerokości oraz nieckowaty przekrój, o głębokości ok. 0,3 m. Wypełniał go szary piasek z cienkimi warstewkami i plamami o beżowej i ciemnoszarej barwie, a w części zachodniej z wtrętami oliwkowej gliny (w. 44/1). Jego charakter wskazuje na stopniowe zapływanie i wypełnianie się fosy materiałem pochodzącym z wyższych części nasypu wału. W rowie znaleziono pojedyncze fragmenty naczyń wczesnośredniowiecznych oraz z przełomu wczesnego i późnego średniowiecza (por. rozdz. VI, tabl. VI.4: 4). Od północy przylegała do niego niewielka owalna jama (ob. 72), wypełniona ciemnoszarym piaskiem przemieszanym z oliwkowoszarą gliną (w. 71, ryc. VII.50). Odkryto w niej kilka ułamków ceramiki wczesnośredniowiecznej (por. rozdz. VI, tabl. VI.4: 8) i 25 fragmentów kości zwierzęcych, m.in. bydła, konia i świni.

Powyżej wypełniska rowu 73 zalegała warstwa o charakterze spływowym, składająca się z beżowego piasku z horyzontalnymi szarymi i ciemnoszarymi warstewkami oraz występującymi miejscami plamkami oliwkowej gliny (w. 44). Jej miąższość w południowej części wykopu wynosiła ok. 0,20–0,35 m, natomiast w kierunku północnym spływała ona cienką soczewką o grubości do 0,1 m (ryc. VII.49; VII.50). W warstwie znaleziono kilkanaście fragmentów mocno rozłożonego drewna sosny, pochodzących z jednego pnia. Odkryto w niej także kilka ułamków naczyń, głównie wczesnośredniowiecznych, gliniany ciężarek (por. rozdz. VI, ryc. VI.81 i tabl. VI.25: 1) oraz ok. 100 fragmentów kości zwierzęcych, należących w większości do konia, znacznie rzadziej do bydła, świni, owcy lub kozy i tura. Z omawianą fazą łączyć można prawdopodobnie również zalegającą powyżej, w południowo-zachodniej części wykopu, warstwę 11, o miąższości ok. 0,2–0,3 m (ryc. VII.49; VII.50). Był to zgliniony szarobrazowy piasek z jaśniejszymi plamkami, wytrąceniami żelazistymi i grudkami polepy. Stanowił on zapewne osuwisko z obrzeża nasypu wału, które spłynęło samoistnie lub zostało zepchnięte w celu zasypania fosy. Oprócz fragmentu wczesnośredniowiecznego naczynia (por. rozdz. VI, tabl. VI.4: 1) w warstwie odkryto ok. 20 kości konia.



**Ryc. VII.48.** Suraż, pow. białostocki, stan. 1, wykop 1. Wschodni profil wykopu: a – humus współczesny; b – czarna (10YR 1,7/1, 1,7/1-2/1, 2/1) ziemia; c – lekko zgliniiony ciemno-szary (2,5Y 3/1-2/1, 3/1) piasek; d – szary (10YR 4/1) zgliniiony piasek; e – beżowy (10YR 5/2; 10YR 5/3) piasek lub żwir; f – żółty (10YR 6/6) żwir, przemieszany z ciemnoszarym (2,5Y 3/1) zgliniionym piaskiem; g – oliwkowa (2,5Y 4/2) glina; h – żółty (10YR 6/6) żwir; i – żółtobieżowy (10YR 5/3) żwir, przemieszany z czarną (10YR 1,7/1) błotnistą ziemią; j – drewno i kora; k – warstewki szarego, ciemnoszarego i czarnego (10YR 4/1, 3/1, 1,7/1) piasku; l – kamienie; m – polepa; n – cegły. Rys. H. Olczak, Z. Tragarz





Ryc. VII.49. Suraż, pow. białostocki, stan. 1, wykop 1. Zachodni profil wykopu (dokumentacja polowa). Rys. H. Olczak

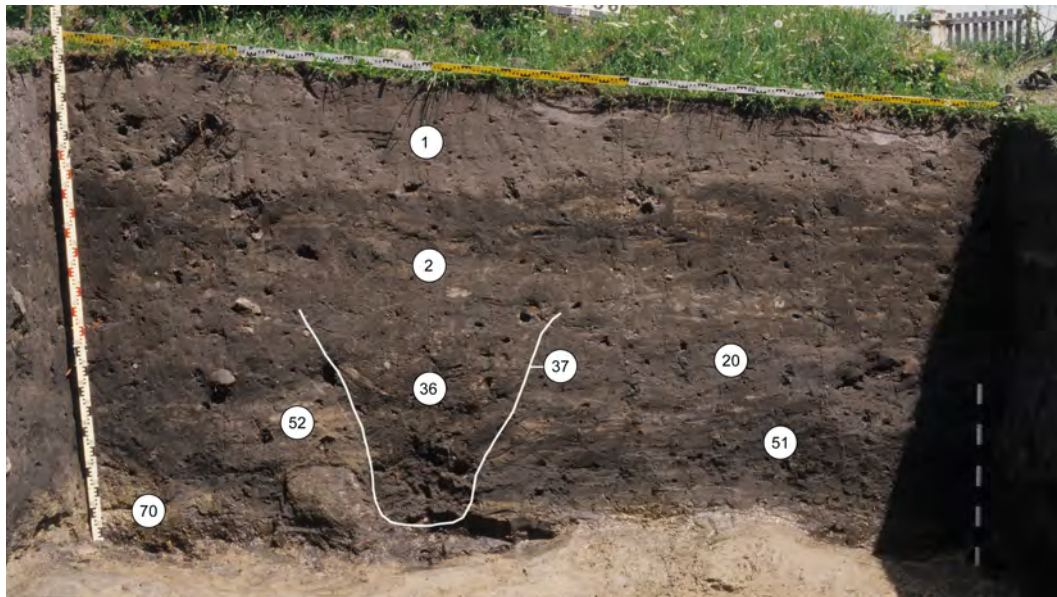


Ryc. VII.50. Suraż, pow. białostocki, stan. 1, wykop 1. Południowy profil wykopu z widocznym w dolnej części wypełniskiem rowu 73 fazy A (w. 44/1) oraz zalegającą wyżej warstwą 44. Na pierwszym planie jama 72. Fot. D. Krasnodębski

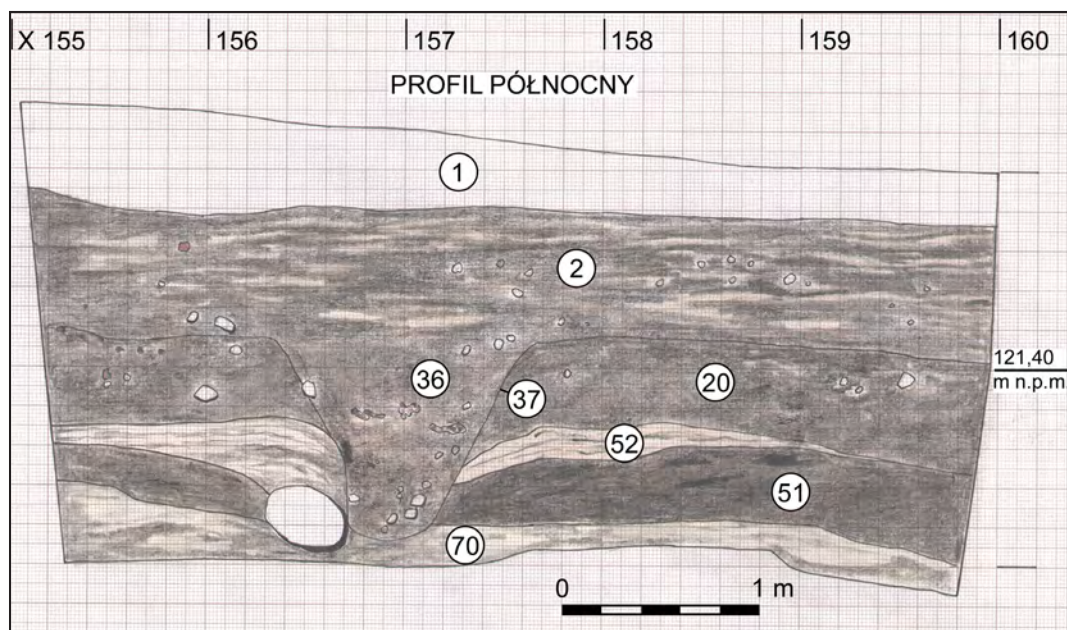
#### VII.1.6.2. Faza B

W okresie tym pogłębiono fosę, przesuwając ją równocześnie o kilka metrów na północ w stosunku do rowu fazy A i podstawy nasypu wału. Jej południowa część wkopana została w starsze nawarstwienia, zaś środkowa, nieco głębsza, w gliniasty calec (ryc. VII.48). Z powodu zniszczenia fosy w późniejszej fazie C1 trudno określić jej wymiary. Jeżeli jednak z omawianego okresu pochodzi też zalegająca w północnej części wykopu warstwa 70 (por. dalej), to szerokość rowu można szacować na ponad 10 m. Jego spąg zarejestrowano na głębokości ok. 1,9 m poniżej współczesnej powierzchni gruntu (ok. 120,00 m n.p.m.). Na wypełnisko fosy składało się kilka warstw. Na jej dnie i południowym stoku odłożył się zgliniony szary piasek (w. 14/2), o przeciętnej miąższości ok. 0,1–0,3 m (ryc. VII.48; VII.49). W najgłębszej części rowu miał on jednolitą strukturę, natomiast w innych miejscach zawierał dużą liczbę plamek jaśniejszego piasku i gliny, a także drobne grudki polepy i węgle drzewne. W jego spągu, przy zachodnim profilu wykopu, wyróżniono cienką warstwę przemieszanej gliny (w. 62, ryc. VII.49), zaś w stropie kilkanaście luźno rozrzuconych kamieni. W wyższej części wypełniska fosy zadokumentowano warstwy o charakterze spływowym, różniące się barwą i sedymentem. Dolną z nich tworzył lekko zgliniony ciemnoszary piasek o miąższości ok. 0,1–0,3 m, z wytrąceniami żelazistymi oraz dużą liczbą węgla drzewnych i niewielkich grudek polepy (w. 14/3). Nad nim znajdowała się cienka (0,1–0,2 m) warstwa składająca się z żółtego żwiru, ciemnoszarego zglinionego piasku i być może mierzwy (w. 14/4), zaś wyżej ponownie lekko zgliniony ciemnoszary piasek z wytrąceniami żelazistymi, dużą ilością drobnej polepy i niewielkimi węglami drzewnymi (w. 14/1), o miąższości do 0,4 m. Górne części warstw 14/1, 14/3 i 14/4 zostały najprawdopodobniej zniszczone podczas niwelacji terenu w okresie budowy fosy fazy C1, o czym świadczy horyzontalny układ ich stropów, niezgodny z naturalnym nachyleniem stoku nasypu wału (ryc. VII.48). Oprócz kilku ułamków naczyń, głównie późnośredniowiecznych, znaleziono w nich ok. 50 fragmentów kości zwierzęcych. Należały one w większości do konia, rzadziej do bydła i owcy lub kozy.

Z omawianym okresem związane są przypuszczalnie również ślady przekształcenia terenu zarejestrowane w północnej części wykopu. Ok. 2 m poniżej obecnej powierzchni gruntu, na stropie calca, zalegała w tym miejscu oliwkowa glina z horyzontalnymi warstewkami ciemniejszego zhumusowanego piasku (w. 70), o miąższości sięgającej ok. 0,4 m, stanowiąca zapewne spąg wypełniska fosy fazy B (ryc. VII.48; VII.49; VII.51; VII.52). Zawierała ona kawałki niespalonego drewna, m.in. dębowy palik i kilka drzazg. Znaleziono w niej także pojedyncze ułamki polepy i cegiel oraz po kilka fragmentów ceramiki późnośredniowiecznej (tabl. VII.8: 1, 2) i kości zwierzęcych, pochodzących z bydła, świni, kozy, jelenia i tura lub żubra.



Ryc. VII.51. Suraż, pow. białostocki, stan. 1, wykop 1. Północny profil wykopu. Fot. D. Krasnodębski



Ryc. VII.52. Suraż, pow. białostocki, stan. 1, wykop 1. Północny profil wykopu (dokumentacja polowa). Rys. H. Olczak

### VII.1.6.3. Faza C

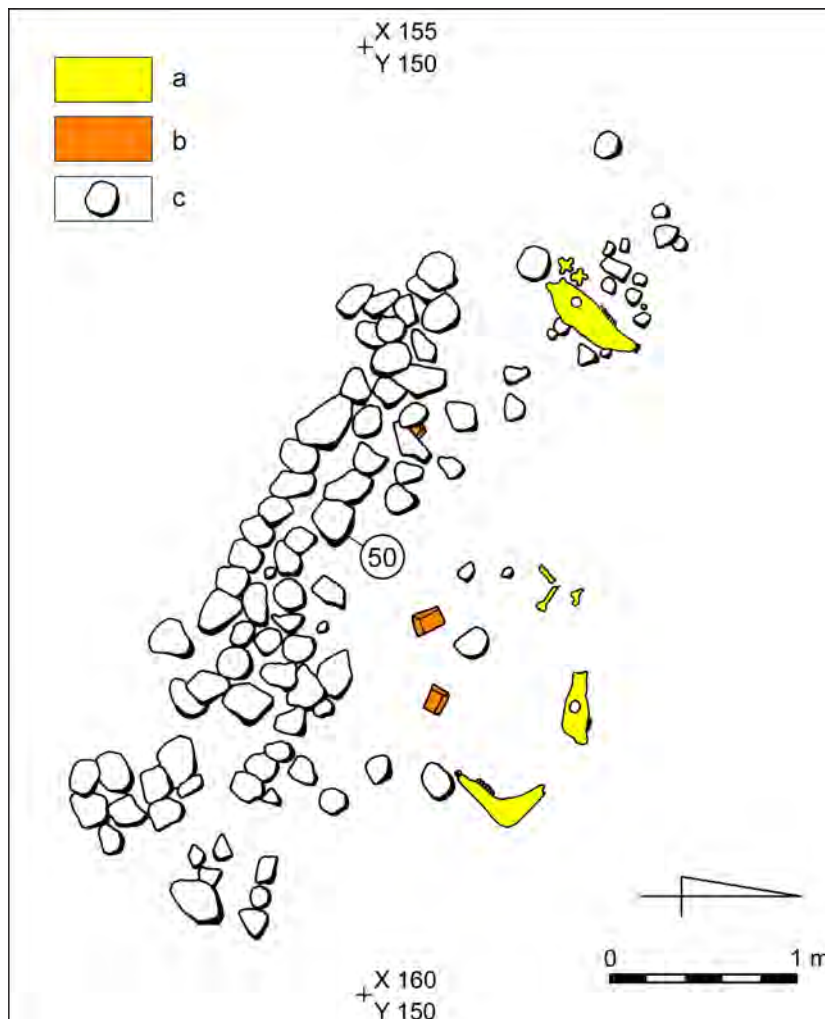
Z okresem tym związane jest pogłębienie fosy i przesunięcie jej dalej od podstawy nasypu wału, o ok. 1 m na północ w stosunku do założenia fazy B. Prace rozpoczęto prawdopodobnie od oczyszczenia starszego rowu, o czym świadczą ślady niwelacji stropu warstw tworzących jego wypełnisko. Szerokość fosy fazy C trudno określić, ponieważ jej północna granica znajdowała się poza przebadanym obszarem. Biorąc jednak pod uwagę wyniki odwiertów wykonanych w odległości kilku metrów na północ od wykopu (por. rozdz. III, ryc. III.1), w których stwierdzono warstwy kulturowe i denudacyjne o miąższości prawie 2 m, można sądzić, że wynosiła ona nawet ok. 20 m. Spąg najgłębszej części rowu, o szerokości ok. 4,3–5,5 m, położony był ok. 2,2–2,4 m poniżej obecnego poziomu gruntu (ok. 119,8 m n.p.m.). Na podstawie stratygrafii i materiałów zabytkowych w obrębie wypełniska fosy wydzielono podfazy C1, C2 i C3, odpowiadające poszczególnym etapom jej zamulania się.

#### Podfaza C1

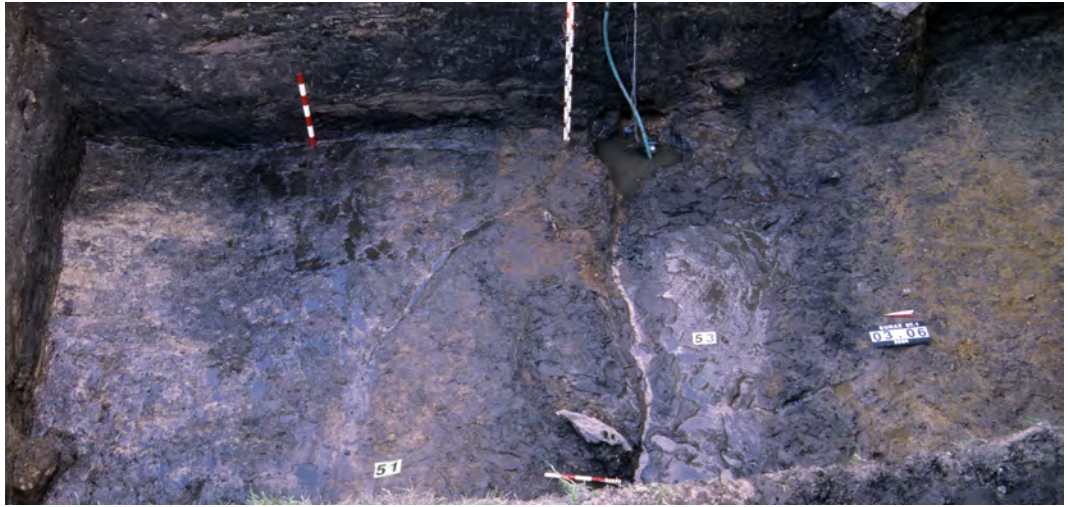
Zachowana miąższość struktur podfazy C1 wynosiła ok. 0,6 m (ryc. VII.48; VII.49; VII.53). Na dnie fosy odłożyła się warstwa o charakterze deluwialnym – żółtobezowy żwir przemieszany z błotnistym czarnym piaskiem, o miąższości do ok. 0,2 m (w. 63). Zawierała ona kawałki niespalonego drewna, pochodzące m.in. z dębu, sosny, jesionu wyniosłego, wiązu i świerku. Odkryto w niej również kilkadziesiąt fragmentów naczyń, na ogół późnośredniowiecznych, rzadziej nowożytnych (tabl. VII.5: 1–10; VII.6: 1, 2; VII: 14: 1), połowę granatu z wypalanej gliny (tabl. VII.16: 1), kilka ułamków cegieł i polepy, fragment kafla płytowego (tabl. VII.15: 4), a także kilkadziesiąt kości zwierzęcych. Te ostatnie należały głównie do bydła, konia, świnii i owcy lub kozy, ale wyróżniono też pojedyncze szczątki kozy, jelenia i zająca. Powyżej znajdował się żółty żwir (w. 68=58) z nielicznymi kamieniami, bryłkami polepy i cegieł oraz kawałkami drewna cisu, dębu i sosny. Poza kilkoma ułamkami kafla (tabl. VII.14: 7) i kilkadziesiąt fragmentami ceramiki (tabl. VII.3: 17, 18; VII: 6: 13, 14; VII.7: 1–8), datowanej najczęściej na późne średniowiecze i okres nowożytny, zawierał on dużą liczbę kości zwierzęcych. Większość stanowiły szczątki konia (m.in. fragmenty czaszki, ryc. VII.54), bydła, owcy lub kozy oraz świnii. Miąższość tej warstwy wynosiła 0,1–0,3 m, a jej granice były nieregularne i rozmyte. Kolejną czaszkę konia z fragmentami kręgosłupa (ryc. VII.54–56), a także żelazną podkowę (ryc. VII.57), znaleziono w warstwie 53, zalegającej na podobnym poziomie, lecz głównie w środkowej i południowej części rowu. Była to czarna błotnista ziemia o miąższości 0,2–0,4 m (ryc. VII.49), z nieregularnymi plamami jasnego piasku i nielicznymi kawałkami drewna sosny. Oprócz wspomnianych szczątków konia pozyskano z niej również kości bydła, świnii i owcy lub kozy oraz kilkanaście ułamków ceramiki (tabl. VII.4: 1–6) i kafla (tabl. VII.15: 3). W północnej części wykopu na dnie fosy tej fazy odłożył się czarny piasek o miąższości od 0,2 do 0,5 m (w. 51=64), stanowiący prawdopodobnie spływ warstwy kulturowej (ryc. VII.48; VII.49; VII.51; VII.52; VII.55). Na odcinku południowym widoczne w nim były soczewki jaśniejszego piasku i żwiru. Warstwa ta zawierała nieliczne ułamki ceramiki naczyniowej, datowanej głównie na późne średniowiecze (tabl. VII.3: 8–16), oraz kilkadziesiąt kości zwierzęcych, pochodzących najczęściej z bydła, rzadziej z owcy lub kozy, świnii, konia, psa i sarny.



Ryc. VII.53. Suraż, pow. białostocki, stan. 1, wykop 1. Wschodni profil wykopu z widocznymi w jego środkowej części nawarstwieniami fazy C. Fot. D. Krasnodębski



Ryc. VII.54. Suraż, pow. białostocki, stan. 1, wykop 1. Kości zwierzęce z warstw 53 i 68 podfazy C1 oraz bruk 50 podfazy C2: a – kości zwierzęce; b – cegły; c – kamienie. Rys. H. Olczak, Z. Tragarz



Ryc. VII.55. Suraż, pow. białostocki, stan. 1, wykop 1. Fosa podfazy C1 w trakcie eksploracji. Na pierwszym planie widoczna czaszka konia z warstwy 53. Fot. D. Krasnodębski



▲ Ryc. VII.56. Suraż, pow. białostocki, stan. 1, wykop 1. Czaszka konia odkryta w fosie podfazy C1 (w. 53). Fot. D. Krasnodębski

▶ Ryc. VII.57. Suraż, pow. białostocki, stan. 1, wykop 1. Podkova znaleziona w fosie podfazy C1 (w. 53). Fot. M. Gmur



### Podfaza C2

W kolejnej fazie fosa przestała przypuszczalnie pełnić swoją funkcję obronną. Zamulona już we wcześniejszym okresie, była obecnie bagnistym pasem, który oddzielał warownię od miasta. Jest prawdopodobne, że w tym czasie podjęto jakieś próby jej częściowego osuszenia i wykorzystania jako traktu prowadzącego w stronę rzeki. Świadectwem tych działań może być luźny bruk (w. 50) o szerokości ok. 0,7–0,8 m, ułożony ze średniej wielkości kamieni, pomiędzy którymi znajdowały się nieliczne kawałki cegieł (ryc. VII.54; VII.58). Zorientowany był on z południowego wschodu na północny zachód, lekko ukośnie w stosunku do przebiegu fosy. Na północ od bruku, w północno-wschodnim narożniku wykopu, odkryto zwartą warstwę drewna o miąższości do 0,2 m, przemieszanego ze sphywami beżowego piasku i żwiru (w. 60, ryc. VII.48). Tworzyły ją wióry, małe deski i kora (sosnowa), stanowiące zapewne odpady pochodzące z obróbki nieokreślonych elementów konstrukcyjnych, być może wykorzystane wtórnie do osuszenia tej części rowu. Powyżej drewna, na północnym obrzeżu fosy,

odłożył się spływowy beżowy piasek z czarnymi warstewkami, o miąższości do 0,3 m (w. 52, ryc. VII.48; VII.51; VII.52). Znalaziono w nim kawałki skózanego buta (tabl. VII.16: 2) oraz niewielką liczbę fragmentów ceramiki i kości zwierzęcych, głównie bydła. Wszystkie wymienione warstwy przykrywała błotnista, gdzieniegdzie nieco zgliniona czarna ziemia (w. 30), z nieregularnymi plamami i soczewkami jasnego piasku, nielicznymi kamieniami oraz pojedynczymi bryłkami polepy i cegieł (ryc. VII.48; VII.49; VII.59). We wschodniej części wykopu zajmowała ona nieckowate zagłębienie o szerokości ok. 2,5–3,0 m i miąższości 0,3–0,4 m. Jego obecność w tym miejscu może świadczyć o działaniach podjętych w celu udrożnienia fosy lub wskazywać na naturalne procesy, związane ze zwiększonym okresowo przepływem wody. W warstwie 30 znaleziono kilka ułamków kafli (tabl. VII.14: 5, 6), kilkanaście fragmentów naczyń, datowanych od wczesnego średniowiecza (por. rozdz. VI, tabl. VI.4: 6) do okresu nowożytnego, a także kości zwierzęce, głównie bydła.



Ryc. VII.58. Suraż, pow. białostocki, stan. 1, wykop 1. Bruk 50 w fosie podfazy C2. Fot. D. Krasnodębski



Ryc. VII.59. Suraż, pow. białostocki, stan. 1, wykop 1. Fosa fazy C w trakcie eksploracji – poziomy stropu warstwy 30 (podfaza C2). Przy południowej granicy warstwy widoczna deska 26 (zaznaczona strzałką). Fot. D. Krasnodębski

### Podfaza C3

Z okresem tym związana jest warstwa lekko torfiastej brązowoczarnej ziemi o miąższości 0,4–0,6 m (w. 20=31), zalegająca w północnej i środkowej części wykopu (ryc. VII.48; VII.49; VII.51; VII.52). Miała ona na ogół jednolitą strukturę, a jedynie miejscami zawierała nieliczne plamki i soczewki jasnego piasku oraz pojedyncze kamienie. Odnotowano w niej również kawałki niespalonego drewna, pochodzące m.in. z sosny, olchy i świerku, fragmenty kości zwierzęcych oraz ułamki cegieł, kafli (tabl. VII.14: 4) i ceramiki naczyniowej, głównie nowożytnej (tabl. VII.3: 1–5). Warstwa ta odkładała się zapewne przez długi czas po zaprzestaniu użytkowania fosy, o czym świadczy obecność w jej górnej części także materiałów z XIX i XX w.

#### VII.1.6.4. Faza D

Faza ta obejmuje najnowszy okres użytkowania tej części stanowiska, datowany na XIX–XX w. Pochodzi z niego odkryta przy północnym profilu wykopu kolistą lub owalną jamę (ob. 37), o średnicy powyżej 1,3 m i głębokości ok. 1 m, wkopana w strop warstwy 20 (ryc. VII.51; VII.52). Wypełniona ona była czarną ziemią z domieszką żwiru (w. 36), zawierającą dużą liczbę różnej wielkości kamieni, skupionych głównie na dnie obiektu, fragmenty cegieł oraz kawałki dobrze zachowanego drewna. Jama mogła służyć jako studnia lub poidło dla zwierząt.

Zapewne na ten sam okres datować można także rów odsłonięty w południowej części wykopu (ob. 59, ryc. VII.48: VII.49). Powstał on w wyniku działalności ludzkiej, jednak na jego kształt i lokalizację w tym miejscu wpływ miał niewątpliwie znajdujący się tu naturalny wyciek wody gruntowej. Rów ciągnął się po linii wschód – zachód, wzdłuż granicy fosy podfazy C1 i przecinał nawarstwienia fazy B. W górnej części miał ok. 1,1–2,2 m szerokości, natomiast jego głębokość wynosiła od ok. 0,6 do ok. 1,2 m. Zadaniem rowu było przypuszczalnie odprowadzanie wody z tego terenu w kierunku Narwi. W pobliżu północnej krawędzi obiektu, przy granicy z fosą podfazy C1, leżała deska (opól) o długości ok. 1,3 m, szerokości ok. 0,23 m i grubości ok. 0,07 m (w. 26, ryc. VII.59). Wykonana ona została z grubego pnia sosny ściętej wkrótce po połowie XV w. (por. rozdz. VII.5). Wydaje się, że deska znalazła się w tym miejscu przypadkowo, przyniesiona przez wodę. Mniej prawdopodobne jest, że zachowała się *in situ*, jednak nie można tego wykluczyć. W takim przypadku mogła stanowić pozostałość umocnienia wewnętrznego brzegu fosy. Kolejny naturalny wyciek wody gruntowej odnotowano w pobliżu południowo-zachodniego narożnika wykopu (ob. 13, ryc. VII.49).

Nad warstwą 20 odłożyła się czarna ziemia ze spływami i plamami jasnego piasku (w. 2=5, ryc. VII.48; VII.49; VII.51; VII.52). Jej miąższość dochodziła do 0,75 m, a jedynie w południowej części wykopu była nieco mniejsza. Powyżej wytworzyła się warstwa współczesnego humusu (w. 1), o grubości 0,2–0,5 m. We wszystkich strukturach opisywanej fazy odkryto materiały zabytkowe datowane od średniowiecza do XIX–XX w., z dużym udziałem fragmentów ceramiki naczyniowej.



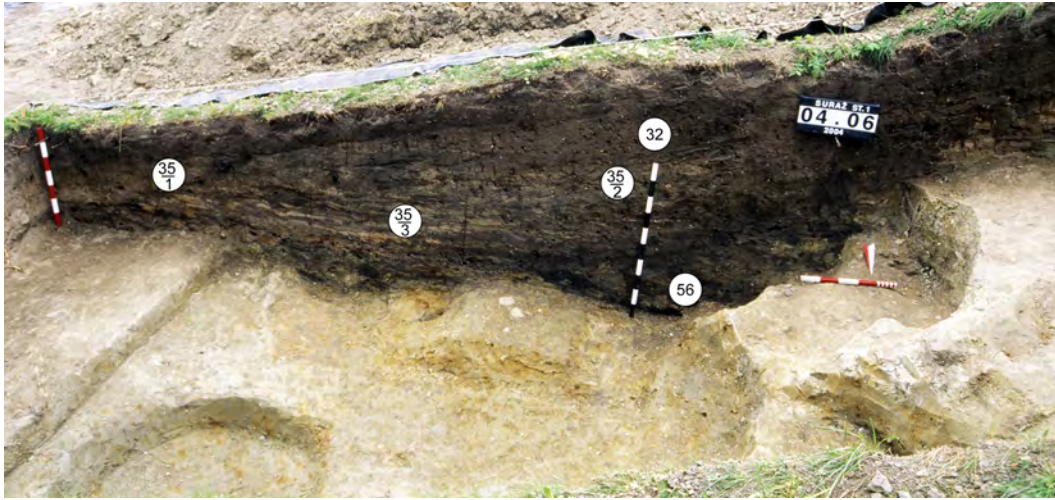
### VII.1.7. Struktury znajdujące się u północno-wschodniej podstawy grodziska (wykop 3)

W wykopie 3, usytuowanym na stoku skarpy rzecznej (por. rozdz. III, ryc. III.1), uchwycono nawarstwienia mające prawdopodobnie związek z umacnianiem grodu w okresie późnego średniowiecza, a także warstwy osuwiskowe z nasypu wału. Najstarszą z odkrytych w tym miejscu struktur była zlokalizowana u podnóża skarpy nieregularna jama (lub rów), o szerokości ok. 4 m (ob. 61, ryc. VII.60–63). Jej dno tworzyło kilka owalnych i kolistych zagłębień, wkopanych w gliniaste podłoże na ok. 1 m (ryc. VII.63). Obiekt wypełniony był lekko zglinionym ciemnoszarobrunatnym piaskiem, przemieszany z oliwkową gliną (w. 56). Zawarta w nim duża ilość drobnej polepy i węgli drzewnych, skupionych głównie w górnej i zachodniej części wypełniska, wskazuje na akumulację pozostałości zniszczonych konstrukcji obronnych, które osunęły się zapewne ze szczytu wału. Ponadto w jamie znaleziono ok. 20 drobnych ułamków naczyń, przeważnie wczesnośredniowiecznych, oraz ok. 30 fragmentów kości zwierzęcych, pochodzących m.in. z bydła, owcy lub kozy i świni, rzadziej z konia i jelenia. Z powodu rozpoznania jedynie części opisywanego obiektu jego funkcja nie jest jasna. Ze względu na położenie od strony rzeki i strukturę wypełniska pewne jest, że nie stanowił on przedłużenia regularnej fosy, otaczającej gród od północy, zachodu i południa. Być może wykopano go w celu ustromienia naturalnej skarpy i zwiększenia jej właściwości obronnych. Bardziej prawdopodobne jest jednak, że jama powstała w wyniku pozyskiwania gliny na budowę nasypu wału, na co wskazuje nieregularny kształt jej dna. Jeżeli hipoteza ta jest słuszna, to ze względu na podobieństwo materiału budowlanego nasuwa się jej związek z wyróżnionymi w wykopie 4 umocnieniami fazy V. Jednocześnie zaś charakter wypełniska obiektu (zbliżony do warstwy 14/1 z wykopu 1) i jego zawartość zabytkowa sugerują, że może być on współczesny fosie fazy B z wykopu 1.

We wschodniej części wykopu nad wypełniskiem obiektu 61 odsłonięto struktury powstałe w wyniku aluwialnego działania rzeki oraz odkładania się u podstawy skarpy warstw osuwiskowych z nasypu wału. Ich całkowita miąższość sięgała ok. 0,6–0,7 m (w. 35/1–35/4, ryc. VII.60; VII.61). W spągu osadów wyróżniono cienką warstewkę jasnego żwiru rzecznego (w. 35/4), a nad nią beżowy piasek o podobnym charakterze, z ciemnoszarymi i czarnymi spływami (w. 35/3). Powyżej zarejestrowano lekko zgliniony ciemnoszarobrunatny piasek ze spływami i plamami o beżowej barwie, z niewielką liczbą bryłek drobnej polepy i węgla drzewnego (w. 35/2), zbliżony do wypełniska obiektu 61. Nad nim z kolei znajdowała się przemieszana warstwa, składająca się z plamek i soczewek beżowego, szarego i czarnego piasku (w. 35/1). Oprócz kilkudziesięciu bryłek polepy i cegły, pochodzących przypuszczalnie z osuwającego się nasypu wału, w opisanych nawarstwieńach znaleziono kilkadziesiąt niewielkich ułamków naczyń, w większości datowanych na wczesne lub późne średniowiecze (tabl. VII.8: 6, 7; por. rozdz. VI, tabl. VI.5: 5), kilka fragmentów wykonanych na kole kafla piecowych, jak również kości zwierzęce, należące na ogół do bydła, rzadziej do owcy lub kozy, konia i świni, a w pojedynczych przypadkach do tura, psa i kota. Ze względu na zawartość zabytkową można sądzić, że warstwy te formowały się głównie w okresie odpowiadającym wydzielonym w wykopie 1 fazom B i C1.



**Ryc. VII.60.** Suraż, pow. białostocki, stan. 1, wykop 3. Południowy profil wykopu: a – humus współczesny; b – brunatny (10YR 4/3) i ciemnoszarobrunatny (10YR 3/1) piasek z różnobarwnymi plamami piasku i gliny; c – ciemnoszarobrunatny (10YR 3/1) piasek; d – brunatny (10YR 4/2) piasek z ciemnoszarobrunatnymi (10YR 3/1) plamami; e – brunatny (10YR 4/2-4/3) piasek; f – szara (10YR 4/1) i jasnobrązowożółta (10YR 5/4) glina, przemieszana; g – lekko zgliniony ciemnoszarobrunatny (10YR 2/1-3/1, 3/1) piasek; h – beżowożółty (10YR 5/3) żwir; i – beżowy (10YR 5/2) piasek; j – warstewki czarnego i ciemnoszarego (10YR 2/1, 3/1) piasku; k – węgle drzewne; l – plamy żółtego (10YR 6/6) piasku; m – plamy szarej (10YR 4/1) gliny; n – plamy oliwkowej (5Y 5/2-4/2) gliny; o – polepa. Rys. H. Olczak, Z. Tragarz



Ryc. VII.61. Suraż, pow. białostocki, stan. 1, wykop 3. Wschodnia część południowego profilu wykopu. Fot. D. Krasnodębski



Ryc. VII.62. Suraż, pow. białostocki, stan. 1, wykop 3. Północny profil wykopu z widocznym w środkowej części obiektem 61. Fot. D. Krasnodębski

Miąszość nawarstwień zalegających na stoku skarpy w zachodniej i środkowej części wykopu dochodziła do ok. 1 m (ryc. VII.60; VII.62). Na stropie calca wyróżniono brązowy piasek o miąższości ok. 0,1–0,2 m, z dużą liczbą drobnych węgli drzewnych (w. 33/1). Jego jednolity charakter i nierówny spąg wskazują, że stanowił on najprawdopodobniej pozostałość humusu pierwotnego. Powyżej zalegała nieco ciemniejsza warstwa o brunatnej barwie, z plamkami ciemnoszarego i żółtego piasku oraz szarej gliny (w. 33), której miąższość wynosiła od kilku centymetrów do ok. 0,5 m. W dwóch miejscach w jej obrębie wydzielono plamy przemieszanej, szarej i jasnobrązowej gliny (w. 83 i 84), mogące stanowić wypełniska młodszych jam. W warstwie 33 znaleziono kilkanaście grudek polepy i kilka fragmentów naczyń, głównie wczesnośredniowiecznych. Powyżej niej, w zachodniej części wykopu, odłożył się

brunatny i ciemnoszarobrunatny piasek o miąższości do 0,25 m (w. 82), z wtrętami szarej i jasnobrązowej gliny. Gdziekolwiek widoczne w nim były bryłki bardzo drobnej polepy i być może węgielki drzewne. Strop nawarstwień w omawianym wykopie tworzył ciemnoszarobrunatny piasek (w. 32=34) z niewielką liczbą jaśniejszych plamek i węgli drzewnych, zawierający nieduże fragmenty cegieł i polepy. Jego miąższość wahała się od kilku centymetrów w zachodniej części wykopu do ok. 0,4–0,7 m w zagłębieniu u podstawy skarpy. Znalezione w nim m.in. kilkadziesiąt ułamków naczyń, datowanych od wczesnego średniowiecza do XX w. (tabl. VII.8: 5).

W odległości ok. 0,6–1,0 m od zachodniej granicy wykopu natrafiono na słabo rysujące się na tle calca struktury, mogące stanowić pozostałości po wbitych ukośnie w stok skarpy słupach (ob. 79 i 81, ryc. VII.60). Miały one ok. 0,2–0,3 m średnicy i zachowaną głębokość do 0,3 m. Wypełniał je brunatny piasek z niewielką liczbą drobnych węgli drzewnych (w. 78 i 80), bez materiałów zabytkowych pozwalających na określenie ich chronologii.



Ryc. VII.63. Suraż, pow. białostocki, stan. 1, wykop 3. Obiekt 61 po eksploracji. Fot. D. Krasnodębski

## VII.2. Ceramika naczyniowa

### VII.2.1. Kontekst stratygraficzny

W wyniku badań wykopaliskowych przeprowadzonych na stanowisku w latach 2004 i 2013 pozyskano łącznie 1212 fragmentów naczyń datowanych na późne średniowiecze i okres nowożytny<sup>4</sup>. Największy zbiór tworzą 734 ułamki ceramiki odkryte w wykopie 1. Nieco mniej znalezisk pochodzi z sondażu 4 (412 fragm.), zaś najmniej z wykopu 3 (66 fragm.). Przy opracowywaniu zespołu posługiwano się głównie tzw. metodą makroskopową.

<sup>4</sup> W rozdziale uwzględniono materiały datowane począwszy od przełomu XIII i XIV w., pochodzące z wydzielonych w wykopie 4 faz V–VIII oraz z wykopów 1 i 3. Ceramikę z 2. połowy XIII w. i być może z początku XIV w., odpowiadającą III fazie funkcjonowania grodu, omówiono w rozdziale VI. Za graniczną cezurę późnego średniowiecza i okresu nowożytnego przyjęto połowę XVI w. (Kruppé 1981, 14–17; por. Kajzer 1994, 10). Natomiast za końcową datę produkcji garncarskiej okresu nowożytnego uznano przełom XVIII i XIX w. (por. Kajzer 1994, 11 n.). Z opracowania wyłączono naczynia datowane na XIX–XX w., odkryte głównie w górnych warstwach wykopu 1.

Analizowany zbiór zawiera naczynia o chronologii obejmującej okres od przełomu XIII i XIV w. do XVIII w. Przydatność tego materiału dla prześledzenia przemian w wytwórczości garncarskiej w tym czasie jest jednak mocno obniżona z powodu pochodzenia dużej części znalezisk ze złoża wtórnego lub ich nie zawsze precyzyjnie określonego kontekstu stratygraficznego. Większość ceramiki z wykopu 1 odkryto w warstwach związanych z kolejnymi etapami wypełniania się fosy. Z uwagi na długotrwałe formowanie się tych struktur należy się liczyć z przemieszaniem zespołów i obecnością w nich domieszki materiałów młodszych. W wykopie tym w zbliżonej liczbie wystąpiły ułamki naczyń datowanych na późne średniowiecze (351 fragm., 48%) i okres nowożytny (282 fragm., 38%), przy znaczącym udziale okazów, których bliższej chronologii nie udało się określić (101 fragm., 14%; por. aneks 2, tab. 4). Nieliczne fragmenty ceramiki z sondażu 3 odkryto w większości w zalegających u podstawy skarpy warstwach 35/1–35/4, powstałych w wyniku akumulacji rzecznej. Z wykopu 4 pozyskano prawie wyłącznie naczynia o chronologii późnośredniowiecznej (por. aneks 2, tab. 4). Największą wartość poznawczą mają wyroby fazy V, głównie z warstw 214 (89 fragm.) i 241 (101 fragm.). Materiały pochodzące ze struktur związanych z późniejszymi okresami użytkowania ośrodka (fazy VI–VIII) są nieliczne i mało diagnostyczne, z dużym odsetkiem znalezisk ze złoża wtórnego. Natomiast ceramika, którą można łączyć z początkowym okresem funkcjonowania późnośredniowiecznego grodu (faza IV), reprezentowana jest prawie wyłącznie przez nieokreślone pod względem stratygraficznym materiały z badań przedwojennych (por. rozdz. V.2.1.2).

Do szczegółowego opisu technologiczno-stylistycznego wytypowano 802 ułamki naczyń, pochodzące z najlepiej zachowanych zespołów (por. aneks 2, tab. 3)<sup>5</sup>. Pozostały zbiór (ceramika ze struktur powstałych później niż w XVIII w. oraz tzw. znaleziska luźne) określono tylko pod względem przynależności do grup technologicznych. Łącznie w analizowanym zespole wydzielono 609 fragmentów naczyń z warstw, 109 z obiektów i 84 ułamki o nieokreślonym kontekście stratygraficznym. Liczba fragmentów odkrytych w poszczególnych obiektach nie przekraczała na ogół kilku sztuk, jedynie z rowu 130 pozyskano 64, a z jamy 176 – 14 ułamków. Spośród pozostałych struktur największą liczbą materiałów wyróżniały się warstwy 51 (55 fragm.), 68 (79 fragm.), 63 (92 fragm.) w wykopie 1 oraz 214 (89 fragm.) i 241 (101 fragm.) w wykopie 4.

### VII.2.2. Stan zachowania i ślady użytkowania

Wśród analizowanych materiałów zdecydowanie dominują ułamki brzuśców (589 fragm.), które stanowią ok. 73% zbioru. Części charakterystyczne to 97 fragmentów wylewów, trzy brzegi pokrywek, 101 ułamków den, 11 uch i rączka patelni. Nie pozyskano naczyń zachowanych w całości.

Zespół cechuje zróżnicowany, na ogół znaczny stopień fragmentaryzacji (por. aneks 2, tab. 5). Przeważają w nim okazy II kategorii wielkościowej (dalej cyt.: kat.), na które przypada ok. 63% zbioru (508 fragm.)<sup>6</sup>. Duże egzemplarze I kat. stanowią ok. 20% (162 fragm.), a drobne ułamki III kat. – ok. 16% (132 fragm.). Materiał z wypełnisk obiektów jest na ogół

<sup>5</sup> Do tego zbioru odnoszą się wszystkie zawarte w tekście wykresy, tabele i zestawienia procentowe.

<sup>6</sup> Na temat wydzielonych kategorii wielkościowych ceramiki por. rozdz. VI.2.1.

mocno rozdrobniony, z przewagą ułamków II kat. i tylko nielicznymi fragmentami I kat. W zbiorze pochodzącym z warstw odnotowano większy udział okazów I kat., lecz równocześnie drobnych ułamków III kat. W wykopie 1 najmniejszym stopniem rozdrobnienia wyróżniały się materiały z warstw 14/1–14/4 (faza B) oraz 53 i 68 (podfaza C1), wśród których odsetek fragmentów I kat. wynosił powyżej 30%. W sondażu 3 prawie w ogóle nie odkryto okazów I kat. Natomiast w przypadku wykopu 4 największy udział fragmentów zaliczonych do I kat. stwierdzono w warstwach 159, 216, 217 i 218. Na ogół jednak przeważały ułamki II kat. – w najbardziej zasobnych w znaleziska warstwach 214 i 241 ich odsetek wynosił odpowiednio ok. 72% i ok. 69%.

Ślady erozji stwierdzono na powierzchni i przełamach 463 fragmentów naczyń, co stanowi ok. 58% zbioru. Tak duży udział okazów zniszczonych wynika głównie ze słabego stanu zachowania materiałów z wykopu 1, spośród których ok. 70% opisano jako zerodowane. W przypadku ceramiki z wymienionego sondażu uszkodzenia często mają postać złuszczenia ścianek naczyń, spowodowanego działaniem wody. Nierzadko na powierzchni fragmentów widoczne są osady żelaziste. Natomiast wśród ceramiki z wykopów 3 i 4 wyróżniono mniej ułamków zerodowanych – odpowiednio 50% i ok. 47%. Biorąc pod uwagę struktury z największą liczbą materiałów, najmniej zniszczone są naczynia pochodzące z warstw 214 i 241 w sondażu 4 (wskaźnik erozji ok. 46% i ok. 45%) oraz z obiektu 130 (ok. 48%). Najwyższy stopień zerodowania cechuje natomiast znaleziska z warstw wykopu 1: 51 (ok. 73%), 63 (ok. 80%) i 68 (ok. 67%). Na niewielkiej liczbie ułamków naczyń, pozyskanych głównie z warstwy 218 (wykop 4), odnotowano wyraźne ślady wskazujące na wtórne przepalenie (17 fragm.). Skutkiem działania wysokiej temperatury może być również intensywnie pomarańczowa barwa większości fragmentów ceramiki z warstwy 241 (tabl. VII.10: 6).

Na ściankach niektórych naczyń zaobserwowano zmiany, które powstały przypuszczalnie w wyniku ich użytkowania (145 fragm., ok. 18%). Zwykle są to tzw. przywry – pozostałości najczęściej zwęglonych substancji, prawdopodobnie pochodzenia organicznego (102 fragm.). Zarejestrowano je zarówno na zewnętrznej, jak i wewnętrznej powierzchni wyrobów. Tylko wewnątrz naczyń odnotowano przywry o białokremowej barwie (13 fragm.), które mogą wskazywać na osadzenie się niespalonych resztek pożywienia. Na powierzchni zewnętrznej nielicznych fragmentów ceramiki widoczne są ślady okopcenia (23 fragm.), a także zacieki, powstałe zapewne na skutek wylewania się płynów w trakcie ich podgrzewania (7 fragm.). W przypadku wykopu 1 udział fragmentów ze śladami użytkowania nie przekraczał w poszczególnych zespołach kilkunastu procent. W sondażu 4 bardzo dużą liczbę takich okazów odnotowano w wypełniku obiektu 130 (ok. 42%) i w warstwie 214 (ok. 31%). Zdecydowana większość fragmentów ze śladami użytkowania, bo aż 113 sztuk, pochodzi z naczyń wykonanych techniką ugniatania wałeczkowego.

### VII.2.3. Surowce i techniki wykonania

Omawiany zbiór jest mocno zróżnicowany pod względem surowców, techniki wykonania i warunków wypalania. Zgodnie z praktyką powszechnie stosowaną przez badaczy tego okresu (por. m.in. Kajzer 1986) wprowadzono podział naczyń na grupy technologiczne. Za najważniejsze kryteria klasyfikujące uznano rodzaj wypału (atmosfera utleniająca lub redukcyjna), typ surowca oraz obecność lub brak szkliwa. Dopiero w drugiej kolejności uwzględniono technikę wykonania, jako wskaźnik mniej oczywisty i – zwłaszcza w przypadku materiałów mocno rozdrobnionych – mogący prowadzić do błędnych wniosków. Na podstawie obserwacji takich cech, jak ślady poprodukcyjne widoczne na ściankach naczyń (głównie łączenie wałków lub taśm gliny) lub ich dnach (podsypka, ślady odcinania), stopień obtoczenia ścianek i ich grubość, a także granulacja domieszki stwierdzono, że w opracowywanym zbiorze znajdują się naczynia wykonane kilkoma różnymi technikami: ugniatania wałeczkowego, taśmowo-ślizgową i toczenia.

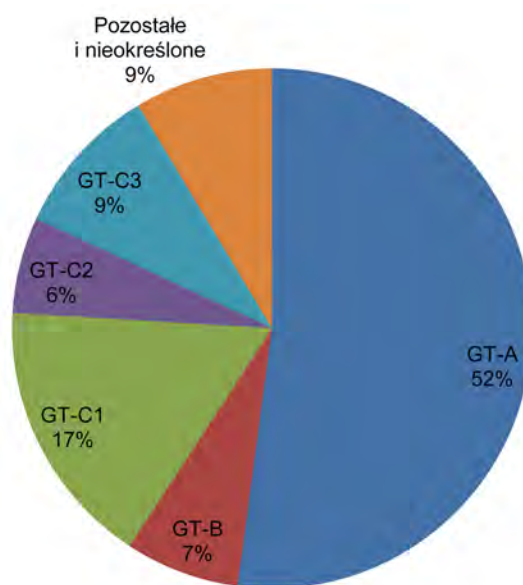
Wydzielono następujące grupy technologiczne (dalej cyt.: GT) ceramiki<sup>7</sup>:

- **GT-A** – naczynia wykonane techniką ugniatania z glin żelazistych, wypalone głównie w atmosferze utleniającej lub redukcyjnej z tendencją do niedopalenia – tzw. tradycyjne (nawiązujące do wyrobów wczesnośredniowiecznych), zwane też brunatnymi lub wiejskimi (418 fragm.);
- **GT-B** – naczynia wykonane z glin żelazistych techniką taśmowo-ślizgową, wypalone w atmosferze utleniającej lub nieudanej redukcyjnej (57 fragm.);
- **GT-C1** – naczynia wykonane z glin żelazistych techniką taśmowo-ślizgową, wypalone w atmosferze redukcyjnej, tzw. siwione (134 fragm.);
- **GT-C2** – naczynia wykonane z glin żelazistych techniką toczenia, wypalone w atmosferze redukcyjnej, tzw. siwione (48 fragm.);
- **GT-C3** – naczynia wykonane z glin żelazistych i wypalone w atmosferze redukcyjnej, tzw. siwione, których techniki wykonania nie udało się określić (76 fragm.);
- **GT-D** – naczynia wykonane z glin żelazistych techniką taśmowo-ślizgową lub toczenia, wypalone w atmosferze utleniającej, tzw. ceglaste (2 fragm.);
- **GT-E** – naczynia szkliwione, wykonane z glin żelazistych, głównie przy użyciu techniki toczenia (11 fragm.);
- **GT-F1** – naczynia wykonane z glin biało wypalających się techniką taśmowo-ślizgową lub toczenia, nieszkliwione (3 fragm.);
- **GT-F2** – naczynia wykonane z glin biało wypalających się techniką taśmowo-ślizgową lub toczenia, szkliwione (3 fragm.);
- **GT-H** – naczynia tzw. pseudomajolikowe lub półmajolikowe, wykonane techniką taśmowo-ślizgową lub toczenia (3 fragm.).

Pewnej liczby okazów (47 fragm.) nie udało się przyporządkować do żadnej z wymienionych grup technologicznych. Wśród analizowanych materiałów nie stwierdzono wyróżnionych na terenie pobliskiego miasta (stan. 7/125) wyrobów GT-G i kamionki (Krasnodębski, Olczak 2015a).

<sup>7</sup> Podstawą wydzielenia grup technologicznych, a także opisanych dalej grup surowcowych stały się zarówno materiały pochodzące z badań na grodzisku, jak i na terenie miasta (stan. 7/125, por. Krasnodębski, Olczak 2015a), stąd w niniejszym opracowaniu brak ciągłości w ich numeracji.

W zbiorze zaznacza się przewaga naczyń wykonanych techniką ugniatania wałeczkowego, tzw. tradycyjnych (GT-A), na które przypada ok. 52% fragmentów poddanych analizie (ryc. VII.64). Materiały pochodzące z poszczególnych części stanowiska różnią się jednak istotnie pod względem udziału wyrobów określonych grup technologicznych (ryc. VII.65; por. aneks 2, tab. 6). W wykopie 1 przeważały fragmenty naczyń wykonanych techniką taśmowo-ślizgową i wypalonych w atmosferze redukcyjnej (GT-C1, ok. 27%). Nieco mniej liczne były garnki tzw. tradycyjne (GT-A, ok. 19%), wyroby toczone wypalone w atmosferze redukcyjnej (GT-C2, ok. 13%) oraz egzemplarze wykonane techniką taśmowo-ślizgową, o wypale utleniającym lub nieudanym redukcyjnym (GT-B, ok. 10%). Dla znacznej grupy ceramiki tzw. siwionej nie udało się określić techniki wykonania (GT-C3, ok. 19%). W wykopie 4 większość stanowiły naczynia GT-A, na które przypadało ok. 84% zbioru. Wyraźnie mniej było wyrobów GT-B (ok. 3%) i GT-C1 (ok. 7%), odnotowano też pojedyncze przykłady okazów GT-D i GT-F1. Z wykopu 3 pochodzą nieliczne fragmenty naczyń GT-A, GT-B, GT-C1 i GT-C3.



Ryc. VII.64. Suraż, pow. białostocki, stan. 1, wykopy 1, 3 i 4. Udział procentowy fragmentów naczyń przyporządkowanych do różnych grup technologicznych (GT). Oprac. H. Olczak

Receptury mas ceramicznych wyróżniono głównie na podstawie analizy makroskopowej. W celu ich uzupełnienia dla sześciu próbek, w tym dwóch pochodzących z tego samego naczynia, wykonano analizy jakościowe i ilościowe składu chemicznego (por. aneks 4, tab. 2)<sup>8</sup>. Wydzielono dwie główne grupy surowcowe (dalej cyt.: GS) – glinę żelazistą (GS-I) i glinę białą wypalającą się (GS-II), zaś w ich obrębie po kilka odmian:

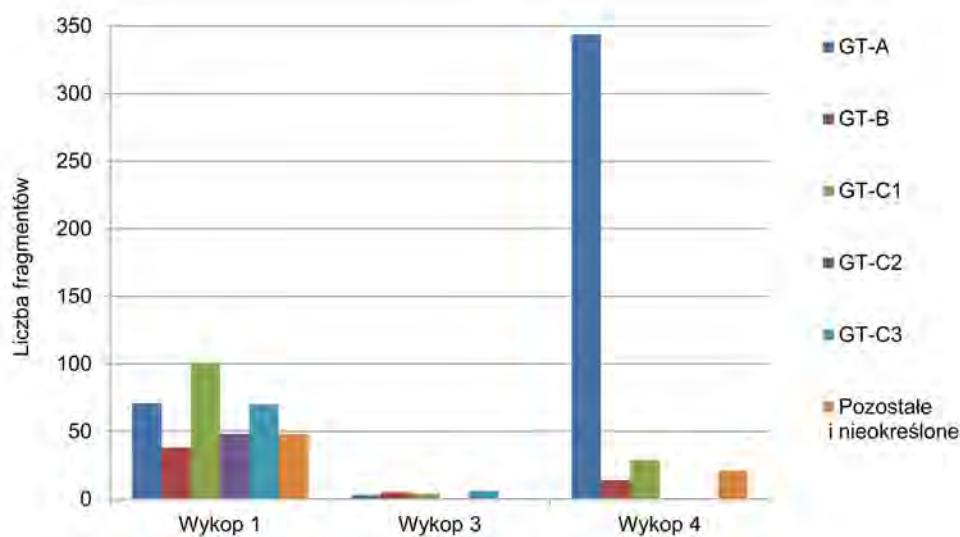
- **GS-IA** – glina żelazista o niewielkim stopniu naturalnego spiaszczenia, schudzona tłuczniami;
- **GS-IB/1** – glina żelazista schudzona drobnoziarnistym piaskiem (próbka nr CL18429, ryc. VII.66: 1);
- **GS-IB/2** – glina żelazista schudzona gruboziarnistym, słabo wysortowanym piaskiem;
- **GS-IC/1** – glina żelazista schudzona mieszaniną piasku i tłuczni, ewentualnie mocno

<sup>8</sup> Analizy wykonane zostały w Centralnym Laboratorium Bio- i Archeometrycznym Instytutu Archeologii i Etnologii PAN w Warszawie przez E. Pawlicką, por. rozdz. VI.2.1.



spiaszczona w naturalny sposób, o sztucznej domieszce tłuczni (próbka nr CL18428, ryc. VII.67: 1);

- **GS-IC/2** – glina żelazista schudzona piaskiem, być może z dodatkiem niewielkiej ilości drobno- i średnioziarnistego tłuczni (próbka nr CL18427, ryc. VII.67: 2);
- **GS-IE** – glina żelazista, w której w wyniku analizy makroskopowej nie stwierdzono obecności sztucznej domieszki;
- **GS-IIA** – glina biało wypalająca się o niewielkim stopniu naturalnego spiaszczenia, schudzona tłuczniem;
- **GS-IIB** – glina biało wypalająca się, schudzona piaskiem (próbka nr CL18424, ryc. VII.66: 2);
- **GS-IIIE** – glina biało wypalająca się, w której na podstawie analizy makroskopowej nie stwierdzono obecności sztucznej domieszki.

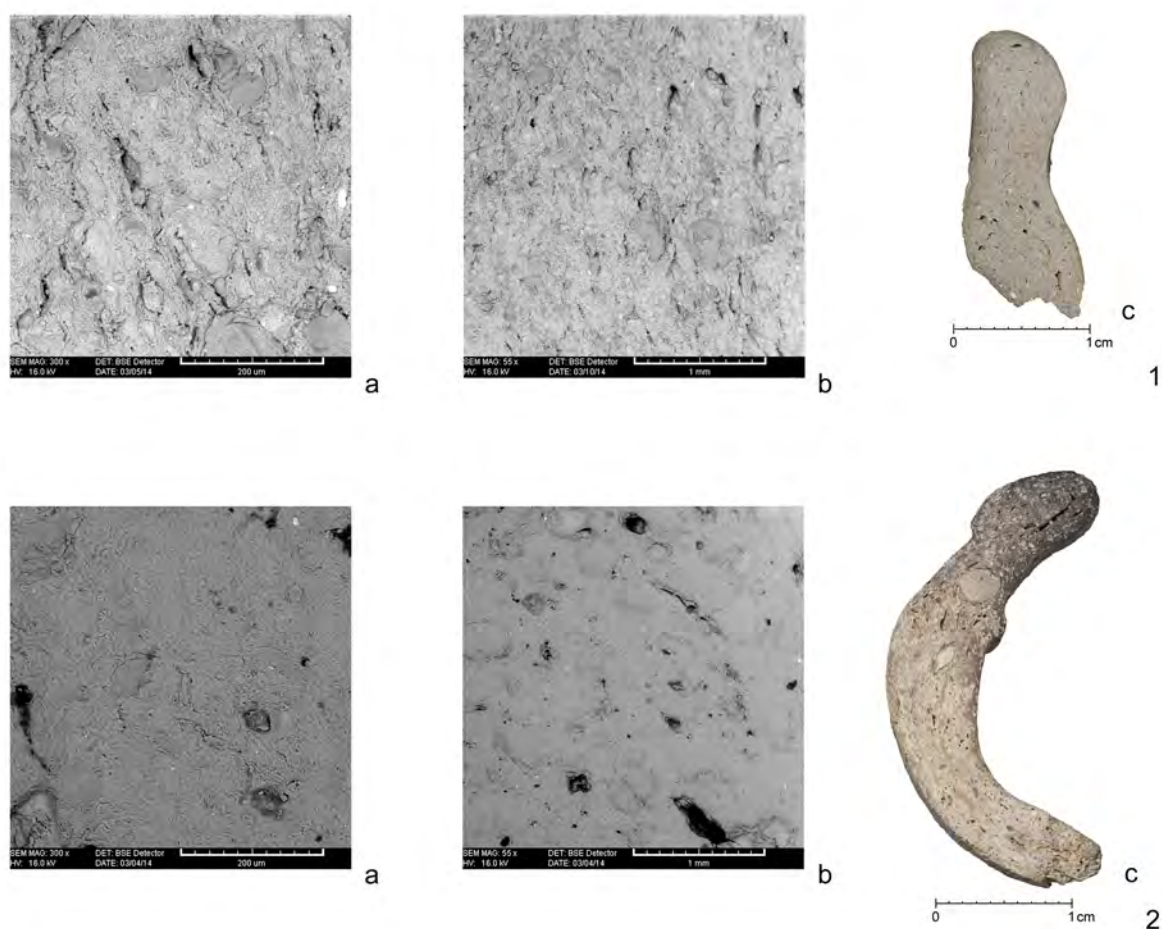


**Ryc. VII.65.** Suraż, pow. białostocki, stan. 1, wykopy 1, 3 i 4. Udział liczbowy fragmentów naczyń przyporządkowanych do różnych grup technologicznych (GT) wśród materiałów pochodzących z poszczególnych wykopów. Oprac. H. Olczak

W zbiorze zdecydowanie dominują naczynia wykonane z glin żelazistych (GS-I). Jest to niewątpliwie miejscowy surowiec pochodzenia polodowcowego, używany już we wczesnym średniowieczu. Wydzielono również bardzo niewielką grupę wyrobów z glin wypalających się na biało (GS-II, 6 fragm.). Są to drobne ułamki naczyń stołowych, niekiedy szkliwionych (GT-F1 i GT-F2). Ze względu na brak w okolicy tego rodzaju surowca należy je uznać za importy.

Skład chemiczny surowców używanych do produkcji naczyń w omawianym okresie był podobny jak we wczesnym średniowieczu. Poddane analizie wyroby GS-I charakteryzują się wysoką zawartością trójtlenku żelaza, która we frakcji ilastej mieści się w zakresie 9,25–11,98% wagowych (dalej cyt.: wag.), a w masie ceramicznej 9,45–11,32% wag. (por. aneks 4, tab. 2). Udział krzemionki we frakcji ilastej wynosi 53,57–59,64%, a tlenku glinu 16,75–19,82% wag. W masie ceramicznej ilość krzemionki nieco wzrasta (do 58,72–61,63% wag.), natomiast tlenku glinu zmniejsza się (do 13,93–18,17% wag.). Większość próbek

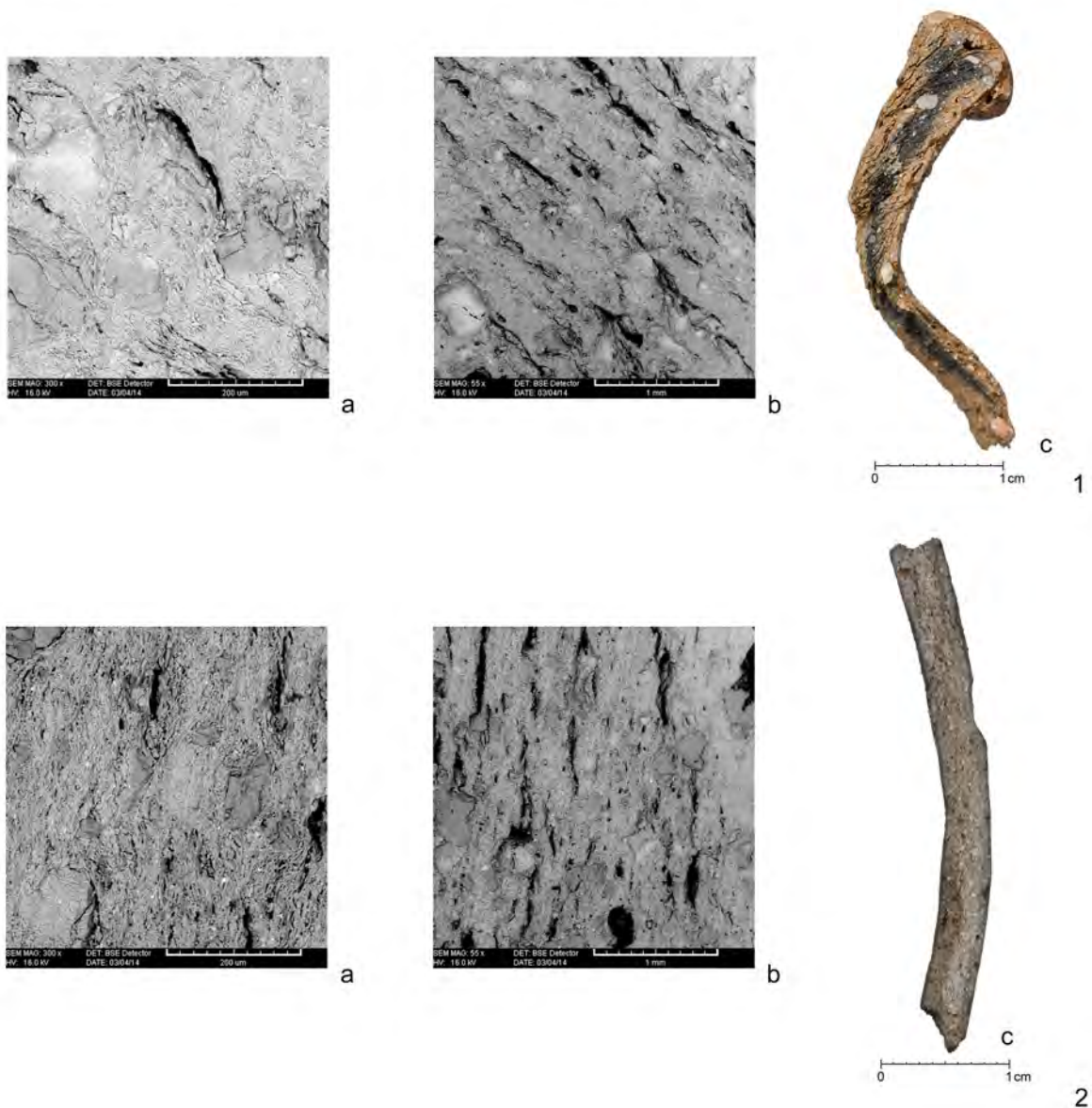
cechuje niewielką zawartość tlenku wapnia we frakcji ilastej, wynoszącą od 1,09 do 3,79% wag., co wskazuje na wykorzystywanie glin odwapnionych, prawdopodobnie zwietrzałych. Nieco wyższym udziałem tego komponentu, rzędu 5,75–6,54% wag., odznacza się tylko jedna próbka (nr CL18418). Wszystkie przeanalizowane fragmenty zawierają porównywalnie dużą ilość tlenku potasu, która we frakcji ilastej wynosi 4,07–5,66% wag. Próbka pochodząca z naczynia wykonanego z gliny biało wypalającej się (GS-IIB, nr CL18424) charakteryzuje się niewielkim udziałem trójtlenku żelaza, który we frakcji ilastej wynosi od 2,89 do 4,05% wag., zaś w masie ceramicznej 3,76% wag. Znacznie wyższa niż w przypadku glin żelazistych jest w niej zawartość tlenku glinu – 28,51–30,85% wag. we frakcji ilastej oraz 25,94% wag. w masie ceramicznej. Również ilość krzemionki jest wysoka i wynosi 57,48–61,6% wag. (frakcja ilasta) i 63,11% wag. (masa ceramiczna). Udziały tlenku wapnia i potasu mieszczą się natomiast w bardzo niskich przedziałach – odpowiednio 1,83–2,01% wag. i 0,84–0,90% wag.



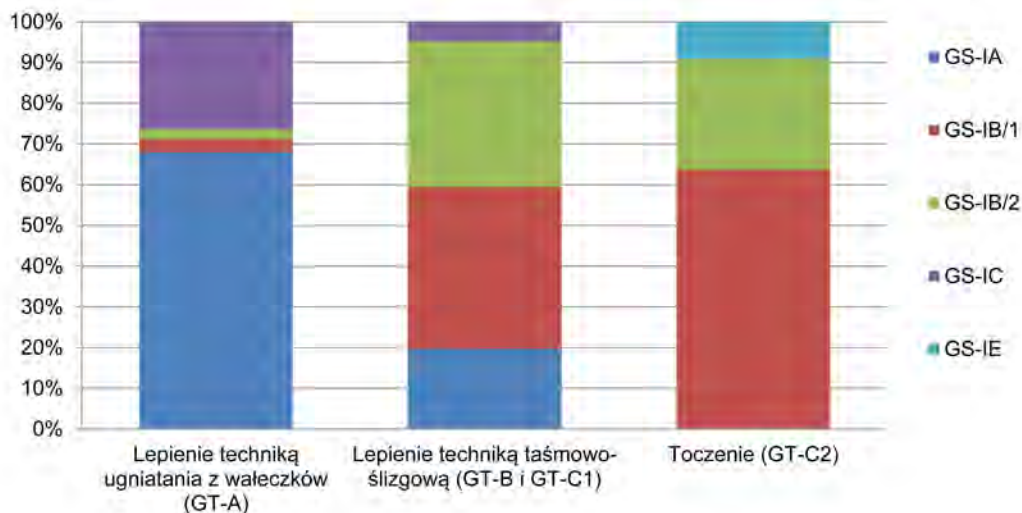
**Ryc. VII.66.** Suraż, pow. białostocki, stan. 1. Szlify fragmentów ceramiki grup surowcowych GS-IB/1 (1) i GS-IIB (2) w powiększeniu ok. 95-krotnym (a), ok. 17,5-krotnym (b) i ok. 1,8-krotnym (c): 1 – próbka nr CL18429, 2 – próbka nr CL18424. Fot. M. Osładacz, E. Pawlicka

Przeważająca liczba naczyń wykonana została z glin przekształconych przez dodanie sztucznej domieszki. Jej obecności nie stwierdzono jedynie w przypadku pięciu ułamków GS-IE i GS-IIE. W ciągu omawianego okresu zmieniają się sposoby przygotowywania receptur mas ceramicznych. W fazie V (wykop 4) naczynia wyrabiane były głównie z glin z dodat-

kiem tłucznia (GS-IA) – ok. 53% zbioru. Były to przeważnie frakcje średnio- i gruboziarniste, o przeciętnej granulacji 0,1–0,2 cm (grupy wielkościowe B i C; por. rozdz. VI.2.1). Często stosowano również mieszaninę tłucznia i piasku (GS-IC, ok. 34%). Naczynia z masy ceramicznej zawierającej tylko dodatek piasku (GS-IB) produkowano w tym okresie rzadko (ok. 11%). Z kolei wśród materiałów z młodszej podfazy C1 (wykop 1) zdecydowanie przeważają wyroby o domieszce piasku (GS-IB, ok. 69%), przy czym prawie równy udział mają fragmenty zawierające frakcje drobno- i gruboziarniste. Naczynia wykonane z gliny schudzonej tłuczniem, głównie garnki GT-A, stanowią ok. 25% zbioru, z tym, że w stosunku do poprzedniego okresu zmniejsza się granulacja domieszki. Natomiast wśród znalezisk z tej fazy prawie nie odnotowano wyrobów GS-IC, co sugeruje, że ten rodzaj masy ceramicznej zastąpiono surowcem z domieszką piasku.



**Ryc. VII.67.** Suraż, pow. białostocki, stan. 1. Szlify fragmentów ceramiki grup surowcowych GS-IC/1 (1) i GS-IC/2 (2) w powiększeniu ok. 95-krotnym (a), ok. 17,5-krotnym (b) i ok. 1,8-krotnym (c): 1 – próbka nr CL18428, 2 – próbka nr CL18427. Fot. M. Osiadacz, E. Pawlicka



Ryc. VII.68. Suraż, pow. białostocki, stan. 1, wykopy 1, 3 i 4. Udział procentowy grup surowcowych wśród ceramiki o różnych technikach wykonania. Oprac. H. Olczak

Rodzaj domieszki schudzającej miał wyraźny związek z techniką wykonania naczyń (ryc. VII.68). Dla ceramiki wytwarzanej techniką ugniatania wałeczkowego (GT-A) przez cały okres jej występowania najważniejszym komponentem schudzającym był tłuczeń, czasami wymieszany z piaskiem (GS-IA i GS-IC). Natomiast w przypadku naczyń wykonanych techniką taśmowo-ślizgową (GT-B i GT-C1) rola surowców z domieszką tłucznią była znacznie mniejsza, a wyraźnie przeważały masy ceramiczne z dodatkiem piasku (GS-IB). Piasek stanowił też wyłączny komponent schudzający surowców wyrobów toczonych (GT-C2). Zależność rodzaju sztucznej domieszki od techniki wytwarzania naczyń jest poświadczona zarówno przez źródła archeologiczne, jak i etnograficzne. W Warszawie w ciągu okresu późnego średniowiecza następuje nie tylko stopniowe zmniejszanie się granulacji domieszki i zastępowanie tłucznią piaskiem, ale również spadek jej zawartości w masie ceramicznej (Kruppé 1967, 70–73, 92–94). Schudzanie gliny piaskiem miało związek z upowszechnieniem się typowej dla garncarstwa późnośredniowiecznego techniki taśmowo-ślizgowej (Kruppé 1967, 15 n., 76 n.; Kruppé 1981, 53 n.). Wymagała ona bardziej plastycznej masy ceramicznej niż lepienie wałeczkowe (Hołubowicz 1950, 149 n.). W przypadku naczyń stołowych drobniejsza domieszka ułatwiała też ich zdobienie przy pomocy polerowania (Kruppé 1967, 72). Duże znaczenie domieszki tłucznią w przypadku suraskich wyrobów GT-A wynikało zapewne z faktu, że techniką ugniatania wałeczkowego wykonywane były przede wszystkim garnki. Zdaniem Włodzimierza Hołubowicza garncarze posługujący się technikami lepienia tłumaczyli schudzanie gliny tłuczniem lepszą wytrzymałością naczyń na działanie wysokich temperatur w trakcie suszenia i wypalania, ale też gotowania (Hołubowicz 1950, 35 n.). Takie właściwości tłucznią poświadczane zostały przez badania specjalistyczne (Kociszewski, Kruppé 1973, 57 n., 65).

Analizowany zbiór jest mocno zróżnicowany pod względem sposobu wypalania naczyń. Jest to zjawisko typowe dla wytwórczości późnośredniowiecznej, przy czym na północnych i zachodnich obszarach obecnej Polski wyraźnie preferowano wypał w atmosferze redukcyjnej (Kruppé 1967, 100–104). Nie przeprowadzono badań specjalistycznych określających warunki wypalania omawianych wyrobów, jedynym źródłem informacji o przebiegu tego pro-

cesu jest zatem barwa ich ścianek i przełamów. Kryterium to jest zawodne, ponieważ podczas użytkowania naczyń i ich zalegania w warstwach zachodzą niejednokrotnie zmiany uniemożliwiające określenie ich pierwotnej kolorystyki (Hołubowicz 1965, 130; Kruppé 1967, 52). Ze zjawiskiem tym zetknięto się również w przypadku analizowanych materiałów (por. tabl. VII.10: 6). Sposób wypalania naczyń w dużym stopniu powiązany był z techniką ich wykonania i funkcją. Garnki GT-A, podobnie jak w okresie wczesnego średniowiecza, wypalane były najczęściej w atmosferze utleniającej lub w zmiennych warunkach panujących w piecu. Niektóre z nich mogły być poddawane w końcowym etapie wypalania tzw. odymianiu, w wyniku którego nabierały ciemnej barwy (por. Kluk 1781, 315; Jagmin 1917, 260 n.; Hołubowicz 1950, 226 n.; Hołubowicz 1965, 129–131). Celem tego zabiegu było zmniejszenie porowatości wyrobów i uszczelnienie ich ścianek (Hołubowicz 1965, 130 n.). W podobny sposób jak naczynia GT-A wypalana była także część egzemplarzy wykonanych techniką taśmowo-ślizgową (GT-B), głównie garnki. Większość wyrobów tej grupy, w tym prawie wszystkie naczynia stołowe, wypalano jednak w atmosferze redukcyjnej (GT-C1). Ten rodzaj wypału typowy był również dla zdecydowanej większości wyrobów toczonych (GT-C2). Natomiast okazy wypalane w stabilnej atmosferze utleniającej, tzw. ceglaste (GT-D), występują w omawianym zbiorze wyjątkowo rzadko. Wypalanie w warunkach z dużym udziałem tlenu z zasady stosowano w przypadku naczyń szklawionych (GT-E i GT-F2) oraz pseudomajolikowych (GT-H), przy czym proces ten przeprowadzano dwukrotnie, przed i po nałożeniu szkliwa. Wielobarwne przełamy, a niekiedy i szara powierzchnia niektórych naczyń tych grup technologicznych świadczą o tzw. niedopaleniu, czyli o zbyt niskiej temperaturze lub czasie trwania tego procesu. W ciągu omawianego okresu następują istotne zmiany w sposobie wypalania wyrobów. Większość materiałów fazy V (prawie 80%) charakteryzuje się brązową, brunatną, pomarańczową lub plamistą barwą powierzchni i wielobarwnymi przełamami, świadczącymi o wypalaniu naczyń przy swobodnym dostępie tlenu i częstym zjawisku tzw. niedopalenia. W okresie tym w atmosferze redukcyjnej wypalano prawie wyłącznie naczynia stołowe. W podfazie C1 w atmosferze redukcyjnej wypalanych było już ponad 60% wyrobów. Nadal jednak częste było niedopalenie naczyń, o czym świadczy duży udział przełamów wielobarwnych.

#### VII.2.4. Formy i rozmiary naczyń

W opisywanym zbiorze można wydzielić kilka typów naczyń, różniących się kształtem i funkcją: garnki, miski, dzbanki, kubki lub pucharki, talerze, patelnie i pokrywki (ryc. VII.69; tab. VII.1). Z powodu dużego stopnia rozdrobnienia materiałów podstawą wyróżnienia poszczególnych rodzajów wyrobów garncarskich były głównie ich górne części oraz fragmenty charakterystyczne, takie jak ucha, rączki, nóżki i uchwyty pokrywek. Więcej trudności stwarzało przyporządkowanie do określonych typów naczyń ułamków den. Uwzględniono je tylko wówczas, gdy ich wygląd był na tyle diagnostyczny, że umożliwiał poprawne określenie funkcji wyrobu<sup>9</sup>. Dla celów opisu morfologii wprowadzono klasyfikację materiałów według rodzin form naczyń (dalej cyt.: RF), przy czym z powodu złego stanu zachowania innych typów wyrobów zastosowano ją tylko dla garnków (tabl. VII.1)<sup>10</sup>. Mikromorfologię brzegów

<sup>9</sup> Większości den, pochodzących głównie z garnków, nie uwzględniono przy określaniu udziału liczbowego poszczególnych typów naczyń (tab. VII.1), aby sztucznie nie zawyżać ich liczby.

<sup>10</sup> Klasyfikacja według rodzin form oraz typologie wylewów i den opracowane zostały na podstawie

garnków scharakteryzowano według typologii opracowanej dla materiałów z grodu i miasta (tabl. VII.2: 1). Ze względu na niewielkie zróżnicowanie wylewów innych rodzajów naczyń zrezygnowano z ich klasyfikacji. Wśród den wyróżniono cztery główne typy (tabl. VII.2: 2). Okazy ze stopką oznaczono przez dodanie litery „S”, nie wyodrębniając ich w osobny typ.

**Tab. VII.1.** Suraż, pow. białostocki, stan. 1, wykopy 1, 3 i 4. Zestawienie typów naczyń późnośredniowiecznych i nowożytnych pod względem przynależności do grup technologicznych

<b>Grupa technologiczna</b>											
<b>Typ naczynia</b>	<b>A</b>	<b>B</b>	<b>C1</b>	<b>C2</b>	<b>C3</b>	<b>D</b>	<b>E</b>	<b>F2</b>	<b>H</b>	<b>Nieokr.</b>	<b>łącznie</b>
Garnki	42	9	16	1	1					5	74
Dzbany		1?	3		2		1+1?		1?		6+3?
Dzbany/kubki			1				1				2
Kubki i pucharki	1?		1		1?			1			2+2?
Misy i miski	1+1?	1			1						3+1?
Talerze				1			3+1?		1?		4+2?
Misy/talerze				1							1
Naczynia stołowe nieokreślone		2		1		1			1		5
Patelnie					1						1
Pokrywki	2										2

Wśród tzw. naczyń kuchennych zdecydowanie przeważają garnki, uznawane za pojemniki służące do gotowania i podgrzewania potraw, a także do ich przechowywania. Do tego typu przyporządkowano 74 fragmenty charakterystyczne (ryc. VII.69; tab. VII.1). Większość z nich (42 fragm.) to egzemplarze GT-A, tzw. tradycyjne lub wiejskie, wykonane techniką ugniatania wałeczkowego i wypalone najczęściej w atmosferze utleniającej lub zmiennej. Mniej liczne są garnki wykonane techniką taśmowo-ślizgową, pod względem warunków wypału nawiązujące do wyżej wspomnianych (GT-B, 9 fragm.) lub wypalone w atmosferze redukcyjnej (GT-C1, 16 fragm.). Tylko jeden ułamek naczynia zakwalifikowano do GT-C2.

Wszystkie analizowane fragmenty pochodzą z garnków bezuchych. Można wśród nich wyróżnić dwie główne grupy wyrobów – o szyjce łagodnie przechodzącej w brzusiec oraz o szyjce w różnym stopniu wyodrębnionej od brzuśca. W pierwszej z nich przeważają naczynia RF-II, które cechuje krótka, wysoko umieszczona szyjka (8 fragm.). Wydzielono wśród nich okazy charakteryzujące się mocno wydętym brzuścem, o średnicy znacznie większej niż średnica wylewu (RF-IIB, tabl. VII.5: 1, 2; VII.7: 8; VII.11: 9), egzemplarze o niewielkiej wydętości brzuśca (RF-IIA, tabl. VII.8: 1; VII.9: 8) i niesklasyfikowane (tabl. VII.6: 1, 5). Zbli-

---

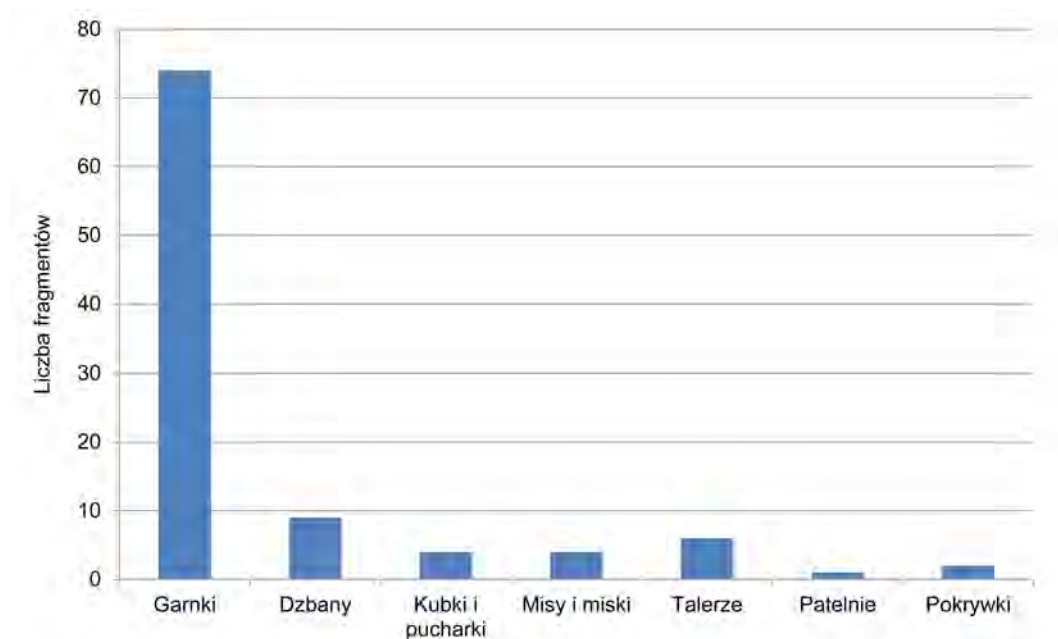
materiałów późnośredniowiecznych i nowożytnych pochodzących zarówno z badań na grodzisku, jak i w mieście (por. Krasnodębski, Olczak 2015a), stąd w opisie oraz na tablicach VII.1 i VII.2 brak ciągłości w numeracji wyróżnionych typów. Na wymienionych tablicach uwzględniono natomiast również naczynia pochodzące z badań przeprowadzonych w 1936 r. (por. rozdz. V) oraz znalezione w wykopie 2 z 2004 r. (por. rozdz. VIII).

żony kształt mają garnki RF-I, o nieco większej wysokości szyjki i mniej baniastym brzuścu, nawiązujące do esowatych naczyń wczesnośredniowiecznych (1 fragm., tabl. VII.6: 3). Do omawianej grupy zaliczyć można też trzy okazy RF-IV – bez szyjki, o bardzo krótkiej krawędzi i wydętym brzuścu (tabl. VII.3: 9; VII.6: 11; VII.13: 1). Wśród wyrobów o górnej części wyraźnie wyodrębnionej od brzuśca wyróżniono cztery okazy RF-IIIB, charakteryzujące się mocno przewężoną szyjką i wychylonym na zewnątrz wylewem (tabl. VII.11: 6; VII.12: 1, 5; VII.13: 2) oraz pięć fragmentów RF-V, o łukowatej szyjce połączonej kątowno z baniastym brzuścem (tabl. VII.3: 10–12; VII.5: 7; VII.8: 7). Dwa ułamki sklasyfikowano jako garnki RF-VI – o prostej lub lekko odchylonej na zewnątrz szyjce, na ogół słabo wyodrębnionej od pozostałej części naczynia (tabl. VII.3: 8; VII.4: 1). W zbiorze odnotowano również drobne fragmenty wylewów, które pochodzić mogą z garnków o kształcie jajowatym (tabl. VII.9: 19; VII.13: 5). Nie stwierdzono natomiast przykładów naczyń RF-IIIA i RF-VII, wydzielonych wśród materiałów pochodzących z badań przeprowadzonych w 1936 r. (por. rozdz. V), wykopu 2 (por. rozdz. VIII) i z miasta (Krasnodębski, Olczak 2015a).

Opisywane garnki są zróżnicowane pod względem ukształtowania krawędzi (tabl. VII.2: 1). Zdecydowana większość wyróżnionych typów wylewów należy do grupy „c” według Jeżego Kruppé, która obejmuje brzegi bez wrębu na pokrywkę i okapu (Kruppé 1961, 39, ryc. 1c). Najliczniejsze są wyroby o krawędziach prosto ściętych (typ G-IIA – 14 fragm., m.in. tabl. VII.3: 6, 7, 10, 11; VII.5: 5, 7; VII.6: 3, 5, 6; VII.8: 2; VII.9: 10; VII.10: 1, 4), niekiedy z delikatnym profilowaniem (typ G-IIB – 6 fragm., tabl. VII.11: 5; VII.12: 1; VII.13: 2, 7, 8). Często występują też garnki o nieco pogrubionych brzegach, podtypów G-IIIA (2 fragm., tabl. VII.8: 7; VII.9: 8) i G-IIIB (6 fragm., tabl. VII.10: 2; VII.13: 9–11). Do grupy tej zakwalifikować można również nieliczne egzemplarze o krawędziach zaokrąglonych (typ G-I – 3 fragm., tabl. VII.9: 19; VII.13: 5, 6) oraz lekko pogrubionych i wywiniętych na zewnątrz (typ G-VA – 3 fragm., tabl. VII.3: 12; VII.5: 9; VII.8: 1). Podobną formę reprezentują także pojedynczy wylew typu G-XVIA (tabl. VII.3: 1) i inny, ukształtowany w niestandardowy sposób (tabl. VII.3: 13). Do brzegów bez okapu, ale charakteryzujących się niekiedy obecnością niewielkiego wrębu (grupa „b” według: Kruppé, 1961, 39, ryc. 1a), należą ułamki opisane jako podtypy G-VIIIB (1 fragm., tabl. VII.3: 4) i G-XIIIB (5 fragm., tabl. VII.3: 9, 15; VII.5: 4; VII.6: 10, 11) oraz niektóre ukształtowane w sposób niestandardowy, przypominający wylewy naczyń wczesnośredniowiecznych (2 fragm., tabl. VII.9: 9; VII.10: 8). Natomiast do krawędzi z okapem i wrębem (grupa „a” według: Kruppé, 1961, 39, ryc. 1b) zaliczyć można nieliczne przykłady typów G-IX (3 fragm., tabl. VII.6: 7–9), G-X (1 fragm., tabl. VII.10: 7), G-XIB (6 fragm., tabl. VII.5: 1, 8; VII.6: 1; VII.7: 8; VII.8: 6) i jeden fragment niesklasyfikowany (tabl. VII.3: 8). W większości przypadków ich wręby są płytkie, a okapy słabo zaznaczone. Ostatnią grupę tworzą wylewy z obu stron lekko wyodrębnione od ścianki, z uformowanym niewielkim okapem, ale bez wrębu (typ G-IV – 10 fragm., tabl. VII.9: 1, 2, 13; VII.10: 3; VII.11: 6, 9; VII.12: 5; VII.13: 12–14). Do tej samej kategorii należą też krawędzie typów G-VI (1 fragm., tabl. VII.5: 2) i G-VII (5 fragm., tabl. VII.3: 3, 5; VII.5: 6; VII.7: 5, 6), o powierzchni wewnętrznej zaokrąglonej, a zewnętrznej zaopatrzonej w okap.

Mniej informacji przynosi analiza fragmentów den, które nie zawsze udało się powiązać z określonymi formami naczyń. Za dolne części garnków uznać można głównie okazy zakwalifikowane do GT-A, w znacznie mniejszym stopniu do innych grup technologicznych: GT-B,

GT-C1, GT-C2 i GT-C3. Większość stanowią dna płaskie, bez pierścienia dookólnego (typ IA – 16 fragm., tabl. VII.5: 3; VII.7: 7; VII.11: 7; VII.12: 4; VII.13: 7), a tylko wyjątkowo z pierścieniem (typ IB – 2 fragm., tabl. VII.9: 18; VII.10: 5). Nieco rzadziej występują egzemplarze lekko wklęsłe – z pierścieniem (typ IIB – 6 fragm., tabl. VII.10: 9; VII.13: 15, 16) lub bez (typ IIA – 8 fragm., tabl. VII.4: 5; VII.7: 1, 4; VII.11: 1). Dna garnków są na ogół niewyodrębnione od ścianek, a tylko nieliczne wyroby GT-B i GT-C mają lekko zaznaczoną stopkę.



Ryc. VII.69. Suraż, pow. białostocki, stan. 1, wykopy 1, 3 i 4. Udział liczbowy poszczególnych typów naczyń. Oprac. H. Olczak

Rozmiary garnków można określić jedynie szacunkowo, uwzględniając średnice ich wylewów i den. Na podstawie pomiarów brzegów największą liczbę fragmentów sklasyfikowano jako naczynia duże, o średnicy ok. 16–17 cm (9 fragm., tabl. VII.4: 1; VII.5: 6–8; VII.6: 3; VII.11: 6)<sup>11</sup>. Nieco mniejszą grupę tworzą okazy średniej wielkości, których średnica krawędzi mieści się w zakresie 13–15 cm (6 fragm., tabl. VII.7: 8; VII.8: 6, 7; VII.9: 8; VII.11: 9; VII.12: 5). Garnki bardzo duże, mierzące w górnej części 18 cm lub więcej, występują rzadko (3 fragm., tabl. VII.3: 8; VII.8: 1, 2). W zbiorze nie stwierdzono małych naczyń, o średnicy wylewu mniejszej lub równej 12 cm. Najbardziej zróżnicowane pod względem rozmiarów górnych części są wyroby GT-C1, wśród których wydzielono formy średniej wielkości, duże i bardzo duże. We wszystkich przypadkach diagnostycznych średnice brzuśców garnków są większe niż wylewów. Najbardziej wydętymi brzuścami charakteryzują się egzemplarze RF-IIB. Wśród den przeważają okazy średniej wielkości, mierzące ok. 8–10 cm (13 fragm., tabl. VII.4: 5; VII.7: 1; VII.9: 18; VII.10: 9; VII.11: 7; VII.12: 4; VII.13: 16, 17). Formy duże, o średnicy 11–12 cm, to pięć sztuk (tabl. VII.5: 3; VII.7: 7; VII.10: 5; VII.11: 1). Trzy fragmenty można zaliczyć do den bardzo dużych, o średnicy 13 cm i większej (tabl. VII.4: 6; VII.7: 4), nie stwierdzono natomiast egzemplarzy małych, o średnicy 7 cm lub mniejszej. Biorąc pod uwagę powyższe dane, można przyjąć, że dla omawianego zespołu typowe są garnki średniej wielkości i duże, o przybliżonej pojemności 1,0–2,5 litra (por. Kruppé 1967, 129, tab. 13).

<sup>11</sup> Przedziały wielkościowe na podstawie Kruppé 1967, tab. 13. Ze względu na możliwości zmierzenia średnic wylewów z dokładnością nie większą niż 0,5 cm kryteria te nieco zmodyfikowano.



Zdaniem Włodzimierza Hołubowicza do gotowania najlepiej nadawały się naczynia o pojemności ok. 2 litrów, gdyż proces ten zachodził w nich najszybciej i można go było przeprowadzić w najbardziej ekonomiczny sposób (Hołubowicz 1965, 34 n.).

Obecność wśród analizowanych materiałów wylewów z wrębami sugeruje, że przynajmniej część naczyń mogła być przykrywana. W zbiorze odnotowano jednak tylko dwa fragmenty pokrywek (tabl. VII.9: 5, 14). Podobnie jak większość garnków, wykonane one zostały techniką ugniatania wałeczkowego (GT-A).

Do naczyń kuchennych należy również tzw. patelnia, z której zachował się fragment kolistej w przekroju rączki o średnicy 3,4–3,8 cm. Naczynie wykonane zostało techniką taśmowo-ślizgową lub toczenia i wypalone w atmosferze redukcyjnej (GT-C3).

Znacznie mniejszą grupę stanowią w opisywanym zbiorze naczynia stołowe. Jako części dzbanów określono dziewięć fragmentów ceramiki, przy czym w trzech przypadkach klasyfikacja nie jest pewna. Wśród nich są okazy wypalone w atmosferze redukcyjnej, wykonane techniką taśmowo-ślizgową (GT-C1, 3 fragm.) lub niesklasyfikowane (GT-C3, 2 fragm.), a także wypalone w atmosferze utleniającej, reprezentujące GT-E (2 fragm.) oraz prawdopodobnie GT-B i GT-H (po 1 fragm.). Wszystkie wyróżnione dzbany charakteryzują się podobnie ukształtowanymi wylewami, z niewielkimi okapami (tabl. VII.3: 18; VII.6: 14; VII.13: 4). Ich taśmowate ucha mają od 3,3 do 5,8 cm szerokości i od 0,9 do 1,7 cm grubości (tabl. VII.3: 17; VII.10: 6). Częścią dzbana może być też fragment prawie płaskiego dna o średnicy ok. 14 cm, z zagłazdzoną w dolnej części stopką (typ IA-S, tabl. VII.9: 4), oraz ułamek brzuśca naczynia pseudomajolikowego (tabl. VII.14: 2). Kolejne dwa fragmenty pochodzą z dzbanów lub kubków. Jeden z nich należy do wyrobów GT-C1 (tabl. VII.3: 14), natomiast drugi to okaz GT-E, pokryty od wewnątrz brązowym szkliwem i zaopatrzony w niewielkie taśmowate ucho (tabl. VII.6: 13).

Małe naczynia do picia (kubki i pucharki) reprezentowane są przez cztery przykłady, w tym dwa niepewne. Jedno z nich, o średnicy wylewu ok. 10 cm, pokryte jest obustronnie jasnozielonym szkliwem (GT-F2) i zaopatrzone w wałeczkowate ucho o wymiarach ok. 1,4 × 1,0 cm (tabl. VII.4: 2). Z tego samego wyrobu pochodzić mogą także fragment brzuśca i szklione od wewnątrz wklęsłe dno (typ IIA), o średnicy 6,3 cm (tabl. VII.6: 4). Częścią kubka lub pucharka jest płaskie dno GT-C1 o średnicy 6,3 cm, z zagłazdzoną stopką (typ IA-S, tabl. VII.4: 3). Podobny typ naczynia może reprezentować również lekko podniesione dno z wyodrębnioną stopką (typ IIB-S), wykonane techniką ugniatania (GT-A) i mające ok. 8 cm średnicy (tabl. VII.9: 16). Do kubka należało być może też małe wałeczkowate ucho GT-C3, mierzące w przekroju ok. 1,6 × 1,0 cm.

Jako miski sklasyfikowano cztery fragmenty ceramiki. Z niewielkich naczyń tego typu pochodzi prawdopodobnie wylew GT-A (tabl. VII.11: 3), a być może także ułamek brzuśca tej samej grupy technologicznej, charakteryzujący się wyraźnie zaakcentowanym załomem. Ponadto za fragmenty mis można uznać krawędź wyrobu GT-B (tabl. VII.9: 17) i niesklasyfikowane dno GT-C3, o średnicy ok. 20 cm i wewnętrznej powierzchni startej w wyniku użytkowania.

Cztery do sześciu fragmentów ceramiki pochodzi z talerzy. Większość z nich to szklione od wewnątrz okazy GT-E (tabl. VII.6: 12; VII.7: 3). Częścią talerza jest prawdopodobnie również wylew GT-C2, o polerowanej powierzchni wewnętrznej (tabl. VII.3: 2), oraz zapewne ułamek brzuśca naczynia pseudomajolikowego (GT-H). Dodatkowo wymienić należy frag-

menty pseudomajolikowego talerza znalezione na złożu wtórnym w wykopie 1 (tabl. VII.14: 3). W odróżnieniu od innych wyrobów tego typu wykonany on został z gliny biało wypalającej się.

### VII.2.5. Opracowanie powierzchni naczyń

Zdobienie stwierdzono na 233 fragmentach naczyń, co stanowi ok. 29% analizowanego zbioru (tab. VII.2). Wyróżniono cztery główne typy ornamentu: zagłębiony w ściankę naczynia, polerowany, plastyczny i malowany. Dwa ostatnie rodzaje dekoracji występują sporadycznie. Wydzielono też fragmenty ceramiki pokryte różnymi typami zdobin.

Na większości dekorowanych ułamków (166 fragm.) odnotowano ornament zagłębiony w ściankę naczynia. Nawiązywał on do stylistyki wyrobów wczesnośredniowiecznych, jednak wykonywany był zazwyczaj mniej starannie niż w poprzednim okresie. Najczęściej występują wzory ryte, nanoszone na ogół rylcem, znacznie rzadziej grzebieniem. Wyróżniono fragmenty zdobione żłobkami dookołnymi (110 fragm.) lub linią falistą: pojedynczą (30 fragm.), wielokrotną (2 fragm.) i wielokrotną o ostrych załamach (3 fragm.). Mniejszą grupę tworzą ułamki ceramiki ornamentowane motywami wielowątkowymi – na kilkunastu ułamkach stwierdzono żłobki w powiązaniu z linią falistą pojedynczą (16 fragm., tabl. VII.11: 3, 9; VII.12: 5), a na kilku z wielokrotną (3 fragm., tabl. VII.13: 2). Ponadto na dwóch fragmentach naczyń odnotowano wzory ryte, którym towarzyszył rząd ukośnych zagłębień/nacięć, w jednym przypadku umieszczony na poziomej listwie plastycznej (tabl. VII.9: 7; VII.13: 1). Żłobki dookólne były ornamentem typowym dla garnków GT-A (m.in. tabl. VII.3: 7; VII.5: 1, 2), ale często zdobiono nimi również wyroby innych grup technologicznych (por. tab. VII.2), na przykład GT-B (tabl. VII.3: 8; VII.7: 8) i GT-C1 (tabl. VII.4: 1; VII.5: 8; VII.8: 1, 6). Pojedynczą linią falistą ornamentowano głównie naczynia GT-A (m.in. tabl. VII.6: 3; VII.8: 3; VII.11: 6), a tylko wyjątkowo GT-B (tabl. VII.3: 6) i GT-C1. Linię falistą wielokrotną zarejestrowano wyłącznie na ułamkach ceramiki GT-A (por. tabl. VII.11: 3). Natomiast linię wielokrotną o ostrych załamach dekorowano kołnierze szklwionych talerzy GT-E (tabl. VII.6: 12; VII.7: 3).

Na mniejszej liczbie przeanalizowanych fragmentów stwierdzono ornament wykonany techniką polerowania. Ma on najczęściej postać pionowych linii, rzadziej kresek o nieuporządkowanym układzie, linii falistej lub kratki (18 fragm., tabl. VII.3: 18; VII.6: 14). Za formę zdobienia można uznać także polerowanie ścianek niektórych wyrobów (26 fragm.), aczkolwiek celem tego zabiegu było przede wszystkim uszczelnienie czerepu. Stosowano zarówno polerowanie jednej, jak i obu powierzchni naczynia. Bardzo rzadko łączono polerowanie ścianek z wykonanymi tą samą techniką wzorami, na przykład linią falistą (1 fragm.). Omawiany rodzaj ornamentu był typowy dla wyrobów wypalanych w atmosferze redukcyjnej, wykonanych techniką taśmowo-ślizgową i toczenia (GT-C), a tylko wyjątkowo używano go do zdobienia naczyń innych grup technologicznych (GT-B). Nanoszono go prawdopodobnie na lekko podsuszone ścianki, poprzez gładzenie twardym narzędziem, na przykład krzemieniem (Kowalczuk 2012, 3).

Pewna grupa naczyń (12 fragm.), z reguły GT-C1 i GT-C2, rzadziej GT-B, dekorowana jest motywami zagłębionymi w ściankę, którym towarzyszy ornament wykonany przy pomocy polerowania. Na pięciu ułamkach ceramiki odnotowano żłobki powiązane z różnymi wzo-

rami wyświecanymi, najczęściej z pionowymi liniami. Taka sama liczba wyrobów zdobiona jest żłobkami w połączeniu z polerowaniem części lub całej powierzchni naczynia. Tylko na dwóch fragmentach odnotowano po trzy wątki zdobnicze: żłobki, ornament polerowany i radełkowy (tabl. VII.11: 8; VII.12: 2).

**Tab. VII.2.** Suraż, pow. białostocki, stan. 1, wykopy 1, 3 i 4. Zestawienie typów ornamentów naczyń późnośredniowiecznych i nowożytnych z uwzględnieniem grup technologicznych

Grupa technologiczna Typ ornamentu	A	B	C1	C2	C3	D	E	F1	F2	H	Nieokr.	Łącznie
	Żłobki dookolne	65	13	15	5	5		2	1	2		2
Pojedyncza linia falista	26	3	1									30
Wielokrotna linia falista	2											2
Wielokrotna linia falista o ostrych załamach							3					3
Żłobki i pojedyncza linia falista	15		1									16
Żłobki i wielokrotna linia falista	3											3
Żłobki, pojedyncza linia falista i ukośne zagłębienia/nacięcia	1											1
Żłobki, pojedyncza linia falista, ukośne zagłębienia/nacięcia i listwa plastyczna	1											1
Listwa plastyczna			3									3
Listwa plastyczna i dołki palcowe			1									1
Listwa plastyczna i polerowanie powierzchni			1									1
Wzór polerowany liniowy lub nieokreślony		1	7	2	6							16
Polerowana kratka				2								2
Wzór polerowany liniowy lub nieokreślony i żłobki dookolne		1	5									6
Wzór polerowany, żłobki dookolne i ornament radełkowy			2									2
Polerowanie powierzchni		1	18	4	3							26
Polerowanie powierzchni i żłobki dookolne		1	2	2								5
Polerowanie powierzchni i polerowana linia falista pojedyncza			1									1
Malowanie						1				3		4
Łącznie	113	20	57	15	14	1	5	1	2	3	2	233

Oprócz wspomnianego wcześniej fragmentu naczynia GT-A (por. tabl. VII.9: 7) ornament plastyczny w kształcie nalepionych na ściankę poziomych wałeczków gliny (listew) stwierdzono jeszcze na czterech ułamkach wyrobów GT-C1 (tabl. VII.11: 2). Prawdopodobnie poza funkcją dekoracyjną listwy miały też podkreślać budowę naczynia i ułatwić jego chwytanie. Niekiedy towarzyszą im inne rodzaje zdobin – ukośne nacięcia i wzory ryte (tabl. VII.9: 7) lub polerowanie powierzchni. Wyróżniono też fragment ucha dzbana GT-C1 z nalepioną listwą plastyczną, ornamentowaną dołkami palcowymi (tabl. VII.10: 6)

Spośród fragmentów ceramiki pochodzących z warstw nieprzemieszanych tylko cztery zdobione są przy pomocy malowania. Trzy z nich to ułamki naczyń pseudomajolikowych (GT-H). Termin „pseudomajolika” lub „półmajolika” używany jest w odniesieniu do wyrobów dekorowanych kolorowymi farbami, nakładanymi bezpośrednio na czerep lub warstwę angoby, pokrywanych następnie przezroczystym szkliwem ołowiowym (Supryn 1975, 239 n., 243 n.; Meyza 1991, 118 n.; Dąbrowska, Gajewska, Kruppé 1993, 249). Naczynia pseudomajolikowe z omawianego stanowiska charakteryzuje brązowe tło i umieszczony na nim jaśniejszy wzór. Jeden z fragmentów, zapewne część talerza, ornamentowany jest motywem geometrycznym lub roślinnym o zielonej barwie. Ułamek innego wyrobu zdobi słabo zachowany wzór wykonany zielonymi i kremowymi farbami (paski i być może inne motywy geometryczne). Kolejny fragment, pochodzący być może z dzbana, ornamentowany jest żółtym wzorem geometrycznym (tabl. VII.14: 2). Natomiast ułamki pseudomajolikowego talerza znalezione w obiekcie współczesnym w wykopie 1 dekorowane są tzw. ornamentem marmurkowym (por. Meyza 1991, 120) o zielonej i brązowej barwie (tabl. VII.14: 3). Poza tym na jednym z nieszkliwionych egzemplarzy GT-D odnotowano wzór liniowy malowany czerwoną farbą (tabl. VII.14: 1).

Inną formą opracowywania powierzchni naczyń było pokrywanie ich barwnym szkliwem ołowiowym. Oprócz opisanych wyżej fragmentów pseudomajoliki w analizowanym zbiorze wydzielono jeszcze dwa rodzaje wyrobów szkliwionych – wykonane z glin żelazistych (GT-E, 11 fragm.) i wykonane z glin wypalających się na biało (GT-F2, 3 fragm.). W przypadku okazów GT-E szkliwo stwierdzono na ich wewnętrznej (7 fragm.), zewnętrznej (1 fragm.) lub obu (3 fragm.) powierzchniach. Miało ono zazwyczaj zieloną (9 fragm.), rzadziej brązową (2 fragm.) barwę. Wszystkie fragmenty naczyń GT-F2 pokryte były szkliwem zielonym, na obu powierzchniach lub tylko wewnątrz. Szkliwienie, podobnie jak polerowanie, oprócz funkcji dekoracyjnej pełniło przede wszystkim rolę uszczelniającą ścianki wyrobów.

#### VII.2.6. Charakterystyka ceramiki w obrębie faz osadniczych i powiązania kulturowe

Opisywane wyroby garncarskie są trudne do datowania i mało pomocne w określeniu chronologii poszczególnych faz użytkowania grodu. Powodem tego jest słaby stan zachowania zbioru, ale też rezydualny charakter dużej części znalezisk oraz brak relacji stratygraficznych pomiędzy poszczególnymi wykopami. Kolejnym problemem jest słaby stan publikacji źródeł z tego okresu, a w związku z tym niewielka liczba dobrze datowanych materiałów porównawczych.

Z najstarszym późnośredniowiecznym etapem użytkowania grodu (faza IV) łączyć można nieliczne ułamki naczyń wykonanych techniką ugniatacia wałeczkowego (GT-A), tzw. tra-

dycyjnych lub brunatnych. Zarówno pod względem techniki wykonania, jak i form oraz zdobnictwa przypominają one wyroby wczesnośredniowieczne. W wykopie 4 drobne fragmenty ceramiki odpowiadającej przypuszczalnie tej fazie osadniczej odkryto wyłącznie na złożu wtórnym (tabl. VII.9: 9, 14, 19; VII.10: 4, 8; VII.11: 4, 5). Nie jest wykluczone, że z tego samego okresu pochodzi też część znalezisk z fosy fazy A w wykopie 1. Oprócz kilkunastu ułamków naczyń wczesnośredniowiecznych znaleziono w niej bowiem dwa fragmenty wyrobów, które na podstawie cech technologicznych i stylistycznych można łączyć z przełomem wczesnego- i późnego średniowiecza lub początkową fazą późnego średniowiecza (2. połowa XIII – XIV/XV w.). Nieliczne podobne okazy odkryto również w wykopie 2, zlokalizowanym u południowo-wschodniego podnóża grodziska (por. rozdz. VI, tabl. VI.5: 2–4). Większa liczba znalezisk odpowiadających temu etapowi zasiedlenia grodu, m.in. fragmenty tzw. wyrobów archaizujących, pochodzi z badań przeprowadzonych w 1936 r. (por. rozdz. V.2.1.2, tam analogie i literatura).

Materiały fazy V reprezentowane są przez porównywalnie liczny zbiór ceramiki, obejmujący 263 fragmenty z wykopu 4. Także wśród nich przeważają naczynia wykonane techniką ugniatania wałeczkowego (GT-A, 234 fragm.). Większość stanowią okazy o dość cienkich ściankach, lecz mniej starannie obtoczone niż egzemplarze datowane na XII–XIII w. (m.in. tabl. VII.11: 3, 6, 9; VII.12: 4, 5; VII.13: 2, 17). W dolnej części garnków, zwłaszcza wewnątrz, widoczne są na ogół ślady zagładzania. Zauważalna jest kruchość ścianek wyrobów, wynikająca zapewne z niskiej temperatury wypalania, aczkolwiek barwa niektórych z nich (czarna lub ciemnobrunatna) może wskazywać na wypał w atmosferze redukcyjnej lub zbliżonej do niej. Od garnków wczesnośredniowiecznych naczynia tej fazy różni także mało urozmaicony ornament, obejmujący jedynie niewielkie części brzuśców. Główny wątek zdobniczy stanowi pojedyncza linia falista, czasami współwystępująca ze żłobkami. Większość wyrobów charakteryzuje się słabo profilowanymi wylewami, sklasyfikowanymi przeważnie jako typy G-III i G-IV. Drugą, mniej liczną grupę znalezisk pochodzących ze struktur tego okresu, stanowią ułamki okazów bardzo słabo obtoczonych, zwykle grubościennych, o prostych brzegach typów G-I i G-IIA oraz niestarannie wykonanym ornamencie, zazwyczaj w postaci linii falistej, rzadziej żłobków lub zagłębień/nacięć (tabl. VII.9: 19; VII.10: 4; VII.11: 4; VII.13: 1, 3, 5). W międzyrzeczu górnej Narwi i środkowego Bugu naczynia obu typów odnotowano dotychczas zaledwie na kilku stanowiskach, przy czym na ogół interpretowano je jako materiały wczesnośredniowieczne. Na terenie Suraża odkryto je na osadzie 120, zlokalizowanej w odległości ok. 2 km na południowy wschód od grodu (Gołembnik, Trzeciecki 1998). Niewielkie zbiory analogicznej ceramiki pochodzą także z grodziska w Bielsku Podlaskim, pow. *loco*, stan. 1 (Szymański 1971) i z cmentarzyska kurhanowego w Czajach-Wólce, pow. bielski (Chilmon 1971, tabl. I: 5; II: 1, 2; III: 1)<sup>12</sup>. Na obszarze obecnej Białorusi podobne naczynia, na podstawie monety Władysława Jagiełły wydатовane na okres od lat 20. do 40. XV w., znaleziono m.in. na stanowisku Berezowiec, rej. korelicki<sup>13</sup>. W oparciu o wyniki analiz przyrodniczych (por. rozdz. VII.5) chronologię garnków suraskich można umieścić na przełomie XIV

<sup>12</sup> W sprawozdaniach z badań na wymienionych stanowiskach materiały te datowane były odpowiednio na XI–XII w. (Gołembnik, Trzeciecki 1998), XII–XIII w. (Szymański 1976, 502) i XII w. (Chilmon 1971, 162).

<sup>13</sup> Badania wykopaliskowe z 2014 r., prowadzone przez N. Paczobut z GDGAM. Badacze serdecznie dziękujemy za udzieloną informację.

i XV w., przy czym należy się liczyć z ich wytwarzaniem zarówno kilka dziesięcioleci wcześniej, jak i później. Geneza tych naczyń związana jest przypuszczalnie z kolonizacją terenów położonych w międzyrzeczu górnej Narwi i środkowego Bugu przez osadników wywodzących się z ziem litewskich i ruskich, która rozpoczęła się po włączeniu tych obszarów w granice Litwy (Wiśniewski 1977, 14–27). Warto podkreślić, że z lewobrzeżnej części miasta znane są tylko pojedyncze przykłady tego typu wyrobów (Krasnodębski, Olczak 2015a, tabl. 7: 1; Olczak 2015b, tabl. 9: 1).

Niewielką grupę garnków GT-A fazy V stanowią okazy technologicznie i stylistycznie nawiązujące do lokalnej wytwórczości wczesnośredniowiecznej. Charakteryzują się one zazwyczaj dobrym obtoczeniem i mocno profilowanymi wylewami, przypominającymi krawędzie naczyń z XII–XIII w. (tabl. VII.10: 7, 8). W nawarstwieniach opisywanej fazy znaleziono zaledwie kilka drobnych fragmentów tych wyrobów, nie można zatem wykluczyć, że stanowią one materiały rezydualne, związane z użytkowaniem grodu w fazie IV. Nieco większy zbiór podobnych okazów pochodzi z badań przeprowadzonych w 1936 r. (por. rozdz. V.2.1.2, tam analogie i literatura).

Pozyskane ze struktur fazy V fragmenty naczyń stołowych są nieliczne i mocno rozdrobnione. Są to wysokiej jakości wyroby wykonane techniką taśmowo-ślizgową – GT-B, a zwłaszcza GT-C1 (tabl. VII.10: 6; VII.11: 2, 8), zapewne importowane z lepiej rozwiniętych ośrodków garncarskich. Nawiązują one do nowego stylu wytwórczości, który rozwinął się na ziemiach polskich pod wpływem kolonizacji na prawie niemieckim (Kruppé 1981, 39–41; Kajzer 1994, 10 n.). Kolejne przykłady podobnych okazów pochodzą z badań przedwojennych (por. rozdz. V, tabl. V.20: 3, 4) oraz z wykopu 2 (por. rozdz. VIII, tabl. VIII.4: 5, 6; VIII.6: 1, 2). W Surażu analogiczne naczynia stołowe odkryto m.in. na terenie sąsiadującej z grodem części miasta, stan. 7/125 (Krasnodębski, Olczak 2015a, m.in. tabl. 2: 6; 4: 1, 3; 7: 7; 12: 1; 20: 4; 24: 1; 32: 5), a także na zlokalizowanym na wschód od Narwi stanowisku 24 (Olczak 2015b, tabl. 8: 6–9). Z powodu znacznej fragmentaryzacji tych wyrobów ich datowanie można zamknąć jedynie w bardzo szerokim okresie, obejmującym XIV–XV w.

Nieliczne i słabo zachowane naczynia znalezione w nawarstwieniach fazy VI (39 fragm.) pod względem techniki wykonania i stylistyki nawiązują do ceramiki z poprzedniego okresu użytkowania grodu. Z uwagi na kontekst ich odkrycia (struktury związane z budową umocnień) można przypuszczać, że przeważają wśród nich materiały o charakterze rezydualnym. Podobnie jak w fazie V, większość stanowią fragmenty wyrobów GT-A (31 fragm., tabl. VII.9: 7, 9; VII.12: 1), zaś naczynia taśmowo-ślizgowe reprezentowane są przez pojedyncze ułamki GT-B (2 fragm.) i GT-C1 (5 fragm., tabl. VII.12: 2). Poza tym odnotowano fragment nietypowego dla omawianego zbioru garnka GT-F1, wykonanego z gliny wypalającej się na biało (GS-IIB, tabl. VII.12: 3). Nieliczne naczynia z podobnego surowca pojawiły się w Surażu pod koniec wczesnego średniowiecza jako importy, najprawdopodobniej z południowo-zachodniej Rusi (por. rozdz. VI.2.7). W późnym średniowieczu ceramika z glin białych poświadczona jest już od przełomu XIII i XIV w. w ośrodkach lokacyjnych południowych obszarów dzisiejszej Polski, zaś w następnych stuleciach upowszechnia się także na terenach północnych (Kruppé 1967, 210; Trzeciecki 2016, 167 n., tam dalsza literatura). W XIV–XV w. znaczny jest udział tych wyrobów w niektórych miastach małopolskich, takich jak Lublin (Kruppé 1981, 115–118) i Sandomierz (Dąbrowska, Gajewska, Kruppé 1996, tab. 1). Na Mazowszu naczynia

z glin biało wypalających się występują w tym okresie głównie w Płocku, gdzie produkowane są począwszy od XIV w. (Trzeciecki 2016, 166–172, 194–194).

Równie niewielkie zbiory ceramiki pozyskano z warstw przyporządkowanych do dwóch kolejnych faz wydzielonych w wykopie 4 – VII (75 fragm., tabl. VII.9: 10–17) i VIII (16 fragm., tabl. VII.9: 2, 6, 8). Są to mocno rozdrobnione i trudne do datowania znaleziska o charakterze rezydualnym, które nie przynoszą żadnych informacji na temat wytwórczości garncarskiej suraskiego ośrodka w tych okresach.

Trudno także określić chronologię nielicznych i mało charakterystycznych materiałów związanych z wydzieloną w wykopach 1 i 3 fazą B. Zbiór z sondażu 1 liczy 11 fragmentów naczyń wykonanych techniką ugniatania wałeczkowego i taśmowo-ślizgową (GT-A, GT-B? i GT-C1, tabl. VII.8: 1, 2). Można je datować jedynie bardzo ogólnie na późne średniowiecze, przy czym brak wyrobów toczonych i szkliwionych przemawia za okresem nie późniejszym niż przełom XV i XVI w. Podobne pod względem formy i techniki wykonania są materiały z wykopu 3 (ob. 61 i w. 35/1–35/4, fazy B? i B/C1?). Liczą one zaledwie 16 ułamków naczyń GT-A, GT-B i GT-C1, wśród których wyróżniają się dwa fragmenty garnków tzw. siwionych, datowanych na XIV–XV w. (tabl. VII.8: 6, 7). Wymienione okazy mają analogie wśród ceramiki pochodzącej z suraskiego miasta (Krasnodębski, Olczak 2015a, tabl. 19: 3; 20: 1) oraz z innych ośrodków miejskich położonych na obszarze Mazowsza (m.in. Kruppé 1961, ryc. 23: 9; 25: 17; 34: 1; Trzeciecki 2017, ryc. 2: 1, 3).

Inny etap późnośredniowiecznej i nowożytnej wytwórczości garncarskiej reprezentują materiały odkryte w wypełniku fosy fazy C (wykop 1). Większość znalezisk pozyskana została z warstw związanych z końcowym okresem użytkowania warowni lub wykształconych już po jej spaleniu. Jednocześnie zaś długotrwałe kształtowanie się wypełnika fosy i jego luźna struktura sprzyjały przedostawaniu się do niego materiałów młodszych, w tym pochodzących nie tylko z grodu, ale zapewne również z usytuowanego na północ od niego dworu i miasta. Naczynia znalezione w warstwach wypełniających najgłębszą część fosy (podfaza C1) są mocno zróżnicowane technologicznie i stylistycznie. W zbiorze obejmującym 313 fragmentów najliczniejszą grupę tworzą wyroby wykonane techniką taśmowo-ślizgową, przeważnie GT-C1 (91 fragm.). Są to zarówno naczynia stołowe (tabl. VII.3: 14, 17, 18; VII.4: 3; VII.6: 2, 14), jak i kuchenne (tabl. VII.4: 1; VII.5: 6–8). Mniej liczne są egzemplarze wypalone w atmosferze utleniającej GT-B (34 fragm., tabl. VII.3: 8, 10; VII.6: 1; VII.7: 8). Nadal duży odsetek stanowią garnki tzw. tradycyjne GT-A (65 fragm., tabl. VII.3: 9; VII.5: 1, 2; VII.6: 3), zaznacza się już jednak wyraźna obecność naczyń toczonych GT-C2 (30 fragm.). Wyróżniono też kilka fragmentów okazów szkliwionych, zarówno wykonanych z glin żelazistych (GT-E, tabl. VII.4: 4; VII.6: 12, 13; VII.7: 3), jak i wypalających się na biało (GT-F2, tabl. VII.4: 2), oraz pojedyncze ułamki pseudomajoliki (tabl. VII.14: 2) i egzemplarzy tzw. ceglanych (GT-D). Ceramika kuchenna omawianej fazy wyraźnie różni się pod względem technologicznym i stylistycznym od materiałów faz V i VI z wykopu 4, ma natomiast bliskie analogie wśród słabo datowanych znalezisk pochodzących z osady i miasta (Krasnodębski, Olczak 2015a, m.in. tabl. 2: 5; 5: 4, 5; 19: 2; 25: 1; 30: 3). Niektóre fragmenty, głównie o wylewach typów G-IX i G-XIB, zbliżone są do garnków z wykopu 2 (fazy 3a i 3b; por. rozdz. VIII, tabl. VIII.2: 3; VIII.3: 4; VIII.4: 3). Podobne naczynia znane są ponadto z pobliskiej osady w Daniłowie Małym, pow. białostocki, stan. 7, funkcjonującej od XIV do połowy XVI w. (Krasnodębski, Olczak, Wójcik 2018, 305 n.,

m.in. ryc. 26: 3; 27: 1, 4; 28: 4–6; 33: 1). Natomiast w mniejszym stopniu opisywane materiały nawiązują do garnków pochodzących z położonych ok. 20–30 km na wschód od Suraza stanowisk w Solnikach, pow. białostocki, stan. 2 (Krasnodębski, Olczak, Skrzyńska, Jankowski 2012) i Gneciukach, pow. białostocki, stan. 2 (Kobylińska 2003, ryc. 248: 1; 256: 2; 258: 4). Na północno-wschodnim Mazowszu analogiczne wyroby odnotowano m.in. na zamku w Tykocinie, pow. białostocki (Auch, Trzeciecki 2015, tabl. 1: 7; 4: 9; 6: 5; 7: 1) i na osadzie w Zambrzycach Starych, pow. zambrowski, stan. 4 (Trzeciecki, Affelski 2017, ryc. 13: 2, 10, 11; 15: 10). Także naczynia stołowe podfazy C1, wykonane techniką taśmowo-ślizgową i wypalone głównie w atmosferze redukcyjnej (GT-C1), mają bliskie analogie wśród materiałów z miasta (Krasnodębski, Olczak 2015a, tabl. 4: 1; 7: 2; 20: 3; 34: 1). Podobna ceramika odkryta została również w innych miejscach Suraza (stan. 3, 24 i ul. Zakościelna, por. Olczak 2015b, tabl. 8: 6, 8, 9; 10: 4) oraz na osadzie w Daniłowie Małym (Krasnodębski, Olczak, Wójcik 2018, tabl. 26: 2, 5; 32: 2). Na zamku w Tykocinie porównywalne wyroby zarejestrowano w warstwach datowanych od schyłku XV w. do początku XVII w. (Auch, Trzeciecki 2015, 218, tabl. 2: 2; 5: 2, 11; 9: 8, 10). Spośród naczyń stołowych innych grup technologicznych ściśle analogie na terenie miasta mają szklione talerze (Krasnodębski, Olczak 2015a, tabl. 4: 6; 12: 2; 34: 2).

Przemieszany charakter i duża fragmentaryzacja materiałów podfazy C1 pozwalają na bardzo ogólne określenie ich chronologii. Ze względu na brak w zbiorze garnków typowych dla fazy V z wykopu 4 za dolną cezurę można uznać pierwsze dziesięciolecie XV w. Pewną wskazówką datującą stanowi obecność w zespole nielicznych naczyń szklionych i pseudomajolikowych, a także toczonych. Na ziemiach polskich ceramika szkliona upowszechniła się w 2. połowie XVI w. (Dąbrowska, Gajewska, Kruppé 1996, 317), zaś wyroby pseudomajolikowe pojawiły się około połowy tego stulecia (Meyza 1991, 119). Za okres wprowadzenia produkcji naczyń toczonych przyjmuje się natomiast 2. połowę XV – początek XVI w. (Kruppé 1967, 16). W Płocku ceramika toczona występuje począwszy od XVI w., ale na większą skalę zaczyna być wytwarzana dopiero w następnym stuleciu (Trzeciecki 2016, 202). Wyraźny jest znaczny udział w opisywanym zbiorze wyrobów o cechach późnośredniowiecznych, zwłaszcza zaś GT-A. Nie może to być jednak wiarygodną przesłanką datującą, ze względu na występujące powszechnie zjawisko długotrwałego przeżywania się starszych tradycji garncarskich w okresie nowożytnym (m.in. Kajzer 1994, 10 n.; Trzeciecki 2016, 209). Duży odsetek naczyń tzw. tradycyjnych zaobserwowano m.in. wśród materiałów pochodzących z datowanej od 2. połowy XVI do połowy XVII w. osady w Solnikach (por. Krasnodębski, Olczak, Skrzyńska, Jankowski 2012), jak również z osady w Leonowiczach, pow. białostocki, stan. 4, która funkcjonowała prawdopodobnie od połowy XVI do końca XVII lub początku XVIII stulecia (Gołębniak, Krasnodębski, Trzeciecki 2018, 335–349). Technika lepienia wałeczkowego stosowana była sporadycznie na Podlasiu jeszcze w 1. połowie XX w. (Hołubowicz 1950). Wydaje się, że w Surazu tego rodzaju ceramika wytwarzana była nieprzerwanie do połowy XVII w., przy czym garnki z końca tego okresu charakteryzują się mniej starannym wykonaniem niż egzemplarze starsze. Należy zatem przyjąć szerokie datowanie materiałów podfazy C1, od 1. ćwierci lub połowy XV w. do co najmniej końca XVI lub połowy XVII w. Pojedyncze fragmenty wyrobów o młodszej chronologii (tabl. VII.14: 2) stanowią niewątpliwie wtórną domieszkę, która przeniknęła do wypełniska fosy tej fazy w późniejszym czasie (XVIII–XIX w.).



Znaleziska z górnej części wypełniska fosy (podfazy C2 i C3) to głównie fragmenty naczyń wypalonych w atmosferze redukcyjnej, toczonych lub o nieokreślonej technice wykonania (GT-C2 i GT-C3, tabl. VII.3: 1–5). Porównywalne są one do wyrobów pochodzących z miasta, m.in. z warstwy 352, związanej z najstarszym brukowaniem ulicy na rynku miejskim, oraz z jamy 378 (por. Krasnodębski, Olczak 2015a, m.in. tabl. 8: 1–3; 16: 4). Podobne egzemplarze znane są też z innych miast tego regionu, takich jak Bielsk Podlaski (Misiuk 2005, ryc. 4: A–E; 5: B; 6; Pawlata 2015, ryc. 3: 1, 8; 4: C) i Mielnik, pow. siemiatycki (Garas, Andrzejewski 2010, ryc. 5: 1–5; 6: 1, 4). Powrót do wypalania naczyń w atmosferze redukcyjnej na ziemiach obecnej Polski obserwowany jest w 2. połowie XVII w. (Gajewska 1993, 162). Ich produkcja najdłużej – do XIX w., a nawet XX w. – utrzymała się na terenach wschodnich (Fryś-Pietraszkowa 1994, 18; por. Jaroszewicz 2007, 143). W Suraziu, jak można sądzić na podstawie wyników badań w mieście (Krasnodębski, Olczak 2015a), wytwarzanie tzw. siwaków trwało nieprzerwanie od XIV lub XV w. do XIX stulecia. Powszechność używania tych wyrobów w omawianym okresie sprawiła, że naczynia ceglaste i szklwione były zdecydowanie rzadziej wykorzystywane. Pod tym względem opisywany zbiór różni się od materiałów odkrywanych na Mazowszu i w Polsce środkowej, zbliżony jest natomiast do znalezisk z zamku w Tykocinie (Bis, Bis 2002, 296 n.; Auch, Trzeciński 2015, tab. 3). Reasumując, ceramikę z fosy podfazy C2 i C3 można datować na okres od około połowy XVII do końca XVIII w. lub początku XIX w., przy czym w górnej części warstwy 20 (podfaza C3) odnotowano również domieszkę materiałów z XIX–XX w.

### VII.3. Kafle

W wykopach 1 i 3 znaleziono łącznie 61 fragmentów kafli piecowych. Jest to materiał mocno rozdrobniony, co uniemożliwia określenie większości cech uznawanych za diagnostyczne (Dąbrowska 1987, 39–41). Tylko jeden okaz ma ok. 10 cm długości. W zbiorze wyróżniono kafle wykonane na kole garncarskim (32 fragm.) i formowane w matrycach, tzw. płytowe (25 fragm.). Pozostałych ułamków nie udało się sklasyfikować.

Do pierwszej grupy należy 27 fragmentów kafli z wykopu 1 i pięć z wykopu 3. Wykonane one zostały z gliny żelazistej, zazwyczaj schudzonej domieszką piasku oraz prawdopodobnie drobno- i średnioziarnistego tłuczni. Ze względu na znaczny stopień rozdrobnienia zbioru sposób wykonania większości egzemplarzy trudno określić, wydaje się jednak, że oprócz techniki taśmowo-ślizgowej stosowano również ugniatanie z wałeczków, a sporadycznie być może także toczenie. Na pojedynczych fragmentach den widoczne są ślady odcinania od tarczy koła garncarskiego, zaś na ściankach niekiedy ślady obtaczania i nadtaczania. Kafle wypalone zostały w atmosferze utleniającej i charakteryzują się na ogół pomarańczową lub brązową barwą powierzchni oraz najczęściej wielobarwnymi przełamami, świadczącymi o tzw. niedopaleniu. Grubość ich ścianek waha się do 0,5 do 1,1 cm. Ze względu na słaby stan zachowania materiału trudno określić typ, rozmiary i kształt otworów opisywanych okazów. Na podstawie kilku fragmentów charakterystycznych można wnioskować, że w zbiorze znajdują się zarówno kafle miskowe, jak i garnkowe, o otworach czworokątnych oraz kolistych lub w kształcie koniczyny. Większość krawędzi określono jako typ I, rzadziej występują bardziej rozbudowane brzegi typów II i III (według Dąbrowska 1987, ryc. 11). Na powierzchni

wewnętrznej lub zewnętrznej pojedynczych egzemplarzy zaobserwowano pozostałości zielonego szkliwa.

Wszystkie ułamki kafla płytowych znaleziono w wykopie 1, w warstwach faz C i D. Większość okazów charakterystycznych to fragmenty licowe z ornamentem reliefowym, pokryte zielonym szkliwem ołowiowym, niekiedy nałożonym zapewne na warstwę pobiałą. Można sądzić, że pochodzą one głównie z wypełniających kafla środkowych. Wśród motywów dekoracyjnych odnotowano przede wszystkim stylizowane wzory roślinne (tabl. VII.14: 4; VII.15: 3, 4) i geometryczne (tabl. VII.15: 1), niekiedy otoczone ramką. W grupie okazów zdobionych motywami roślinnymi wydzielono m.in. kilka ułamków kafla wypełniającego bez ramki, o grubości lica 0,75–0,92 cm (tabl. VII.14: 4). Należy on przypuszczalnie do typu I, podtypu A, klasy a, obejmującego egzemplarze charakteryzujące się otwartymi komorami o jednakowej wysokości ścianek i wywiniętej krawędzi (Dąbrowska 1987, 71). Natomiast z warstwy 53 (podfaza C1) pozyskano duży fragment kafla wypełniającego środkowego o grubość lica 0,77–1,28 cm, z wklęsłą pojedynczą ramką i prawdopodobnie ornamentem roślinnym (tabl. VII.15: 3). Ze względu na kształt komory zaliczyć go można do typu I, podtypu A, klasy b (Dąbrowska 1987, 71). Drugą grupę reprezentuje okaz z ornamentem w postaci kwadratów, o grubości lica 0,79–0,87 cm (tabl. VII.15: 1). Natomiast w obiekcie 59 (faza D) znaleziono ułamek kafla o pojedynczej ramce i grubości lica 0,67–0,81 cm, zdobionego trudnym do określenia wzorem. Wśród kafla pokrytych zielonym szkliwem wyróżniono też tzw. dachówki piecowe z ornamentem rybiej łuski. Są to dwa fragmenty, z warstw 30 (podfaza C2) i 68 (podfaza C1), o grubości lica odpowiednio ok. 1,4–1,6 cm i 1,5–2,0 cm oraz wysokości komór od 0,4 do 1,0 cm (tabl. VII.14: 6, 7). Podobne kafle odkryto na terenie królewskiego dworu myśliwskiego w Starej Białowieży, pow. hajnowski, który funkcjonował w XVI w. (badania autorów), a także w Bielsku Podlaskim, ul. 3 Maja i ul. Poniatowskiego (Misiuk 2005, ryc. 8: A; Pawlata 2015, 252, ryc. 5: 1). Analogiczne dachówki piecowe z zamków w Liwie, pow. węgrowski i Inowłodzu, pow. tomaszowski datowane są na połowę i 1. połowę XVI stulecia (Dąbrowska 1987, il. 89, 96).

Dwa fragmenty pochodzą z kafla pokrytych szkliwem wielobarwnym. Jeden z nich, znaleziony w jamie 36 (faza D), to być może ułamek kafla herbowego, o grubości lica 0,85–1,35 cm (tabl. VII.15.2). Zachowały się na nim pozostałości białego i zapewne żółtego szkliwa. Drugi fragment, odkryty w warstwie 2 (faza D), to część egzemplarza szkliwionego na biało i niebiesko. W Suraziu kafle wielobarwne, w tym herbowe, znaleziono na obszarze datowanego na XVI–XVII w. zespołu rezydencjonalno-sakralnego, usytuowanego w uroczysku Piszczewo (stan. 21, Krasnodębski, Olczak 2016a, 112). Mniejszą grupę stanowią kafle płytowe nieszkliwione. Najlepiej zachowany fragment, zdobiony wzorem geometrycznym, pochodzi z warstwy 30 podfazy C2 (tabl. VII.14: 5). Grubość jego lica wynosi 0,84–0,94 cm.

Z powodu niewielkiej liczebności i dużego stopnia fragmentaryzacji omawiane materiały są mało przydatne do analizy typologicznej, a tym samym do precyzyjnego określenia chronologii poszczególnych okazów. Ze względu na kontekst stratygraficzny, a także cechy technologiczne i stylistyczne kafle wykonane na kole można datować głównie na XV–XVI w., natomiast płytowe na XVI–XVII w. (Dąbrowska 1987, 79–94). Charakter znalezisk wskazuje, że stanowią one prawdopodobnie przypadkowy zbiór powstały w wyniku usuwania śmieci ze zniszczonych lub rozbieranych pieców. Na podstawie miejsca odkrycia większości frag-

mentów (wypełnisko fosy zewnętrznej) wydaje się, że mogą one pochodzić zarówno z terenu grodu, jak i z innych miejsc, na przykład z usytuowanego bezpośrednio na północ od niego dworu starościńskiego (Kazimierski 1954, 153 oraz plan; Maroszek 1995b, 39).

#### VII.4. Pozostałe znaleziska

Z użytkowaniem stanowiska w okresie późnego średniowiecza i na początku czasów nowożytnych związane są również nieliczne narzędzia, militaria i przedmioty codziennego użytku, często o trudnej do określenia funkcji. Informacje, jakie wnoszą one do datowania poszczególnych faz osadniczych, są znikome.

Najliczniejszą grupę stanowią przedmioty żelazne. Jedynym znaleziskiem o funkcji militarnej jest grot bełtu do kuszy, odkryty w górnej części nasypu wału (w. 96, faza VII?), na jego zewnętrznym stoku (ryc. VII.70; tabl. VII.17: 1). Należy on do okazów z trzpieniem, typu I według Andrzeja Nadolskiego (Nadolski 1954, 65), o kwadratowym przekroju ostrza. Według klasyfikacji Gintautasa Rackevičiusa można go zaliczyć do typu 14B (Rackevičius 2002, ryc. 6; por. rozdz. V, ryc. V.11: 9). Długość grotu wynosi 6,62 cm, w tym długość kolca 3,7 cm, wymiary przekroju kolca  $1,3 \times 1,3$  cm, a średnica trzpienia 0,6 cm. Waga po (oczyszczeniu i konserwacji) to 31 gramów. Okaz ten mieści się w grupie wagowej E według Krzysztofa Wachowskiego, którą badacz ten łączy z kuszą właściwą (Wachowski 1982, 172, tab. 2, 4). W tym miejscu należy też wspomnieć grot znaleziony w korycie Narwi w pobliżu grodziska (ryc. VII.71). Jest to pocisk z tuleją, należący do typu II w klasyfikacji Andrzeja Nadolskiego (Nadolski 1954, 65) oraz 3B według Gintautasa Rackevičiusa (Rackevičius 2002, ryc. 5; por. rozdz. V, ryc. V.11: 3). Ma on 6,8 cm długości, z czego ok. 4 cm przypada na ostrze. Liść grotu ma kwadratowy przekrój poprzeczny, o wymiarach  $1,2 \times 1,2$  cm, a jego tuleja w dolnej części lekko się rozszerza przybierając kształt stożkowaty, nie ma jednak pewności, czy zachowała się na całej długości. Waga przedmiotu wynosi 36 gramów. Także ten pocisk należy do grupy wagowej E



Ryc. VII.70. Suraż, pow. białostocki, stan. 1, wykop 4. Grot bełtu do kuszy znaleziony w górnej części nasypu wału (w. 96). Fot. M. Osiadacz



Ryc. VII.71. Suraż, pow. białostocki, stan. 1. Grot bełtu do kuszy znaleziony w korycie Narwi w pobliżu grodziska. Fot. M. Osiadacz

(Wachowski 1982, 172, tab. 2, 4). Opisane okazy stanowią uzupełnienie dużej kolekcji grotów pozyskanych z badań przeprowadzonych w 1936 r. (por. rozdz. V.2.3.1.2, tam analogie i datowanie). Ponadto w suraskim muzeum przechowywane są m.in. dwa pochodzące z powierzchni grodziska pociski z trzpieniem, zbliżone do typu 14 (Karczewski 2008, MAES-68). Trzeba też wymienić grot z tuleją typu 3B znaleziony na terenie osady, w niedalekiej odległości od grodu (Krasnodębski, Olczak 2015b, tabl. 43: 8), a także bardzo zniszczony egzemplarz typu 7C, odkryty w korycie Narwi, na północ od Suraża (materiały w MPB).

Z badań w wykopie 4 pochodzą również dwa fragmenty noży – jeden z warstwy związanej z budową umocnień fazy V (w. 214, tabl. VII.17: 9), zaś kolejny z nasypu wału fazy VI (w. 175, tabl. VII.17: 5). Drugi okaz to zapewne duży egzemplarz, z którego zachował się fragment szerokiej głowni o długości ok. 12 cm.

W wypełnisku fosy podfazy C1 w wykopie 1 (w. 53) odkryto podkowę o długości ok. 13,1 cm, rozpiętości ramy ok. 11,9 cm i szerokości taśmy ramy ok. 4,2 cm (ryc. VII.57; tabl. VII.16: 4). Jest to okaz z kapturkiem/zębcom i ramionami zakończonymi wywiniętymi z nich zaczepami. Prześwit ma kształt litery U. Wzdłuż całej długości ramy znajduje się bruzda, w której tkwi siedem podkowiaków osadzonych w gniazdach. Mają one główki o kształcie zbliżonym do prostokątnego i trzonki o prostokątnym przekroju poprzecznym. Waga przedmiotu po konserwacji wynosi 393 gramy. Według klasyfikacji Józefa Kaźmierczyka podkowa należy do typu VII/1, z zaczepem A/2 (Kaźmierczyk 1978, 104 n.). Podobne okazy datowane są od XIV do XVI w., głównie na dwa pierwsze stulecia (Kaźmierczyk 1978, 105; Rodak 2014, 73 n., tab. 1).

Interesującym znaleziskiem luźnym z wykopu 4 jest igła szewska lub rymarska (ryc. VII.72; tabl. VII.17: 13). Wykonana ona została ze zgiętego w pół cienkiego pręta o długości ok. 11,5 cm i kwadratowym przekroju, mierzącym ok.  $0,24 \times 0,23$  m. Jeden koniec pręta jest ścieniony i tworzy ostrze, drugi zaś rozklepiano w niewielkie uszko, z okrągłym otworem o średnicy ok. 0,17 cm.

Ryc. VII.72. Suraż, pow. białostocki, stan. 1, wykop 4.  
Żelazna igła szewska lub rymarska (znalezisko luźne). Fot. M. Osiadacz

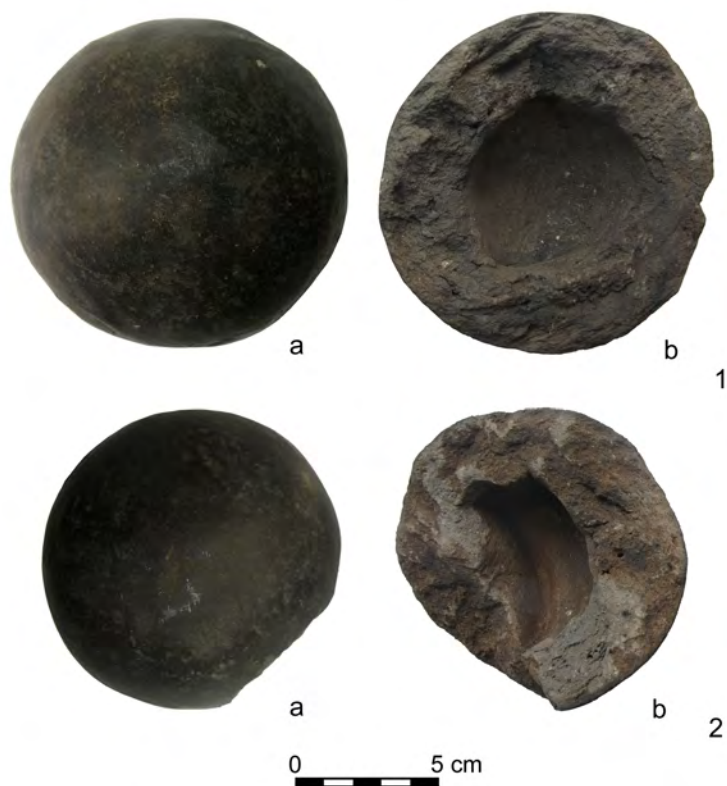


Wśród pozostałych przedmiotów żelaznych znajduje się sześć średniej wielkości gwoździ, z których trzy związane są prawdopodobnie z usytuowanymi na majdanie i nasypie wału budynkami fazy VIII (ob. 114 i 233 oraz w. 110, tabl. VII.17: 2, 3), jeden odkryto na stropie jamy wykopanej u podstawy grodziska od strony rzeki (ob. 61, tabl. VII.16: 3), zaś kolejne dwa to luźne znaleziska z terenu majdanu (tabl. VII.17: 11, 12). Następnym znaleziskiem luźnym z majdanu lub nasypu wału jest przedmiot w kształcie prostokątnej ramy o szerokości ok. 3,1 cm i długości ramion ok. 4,2 cm, który mógł służyć jako okucie deski lub skobel. Funkcję skobla lub haka pełnił zapewne także okaz o długości ok. 5,7 cm, znaleziony w wypełnisku obiektu 213 fazy VI (tabl. VII.17: 7). Wykonany on został z zagiętej w środkowej części sztabki, z której uformowano owalne uszko, z odchodzącymi od niego rozwartymi na końcach ramionami. Z fazą V (w. 204) związany jest mocno skorodowany przedmiot, być może haczyk,

zrobiony ze zgiętego wpół i sklepanego drutu, o dwóch łukowato wygiętych, ścienionych końcach (tabl. VII.17: 8). W zbiorze są też dwie zachowane we fragmentach sztabki, znalezione na terenie majdanu lub wału (tabl. VII.17: 10, 14), pochodzący z rowu 128 (faza VII) lekko wygięty pręt lub taśma o półkolistym przekroju poprzecznym i zachowanej długości 10,7 cm (tabl. VII.17: 6) oraz prostokątna blaszka o niejasnym przeznaczeniu, odkryta w rowie 130 tej samej fazy (tabl. VII.17: 4).

Z późnośredniowiecznym okresem funkcjonowania stanowiska może być związane również kolejne znalezisko luźne z wykopu 4, a mianowicie ołowiana sztabka lub odpad produkcyjny, o długości 2,58 cm i półkolistym przekroju poprzecznym mierzącym  $1,24 \times 0,7$  cm (tabl. VII.17: 15). Jej powierzchnia wypukła jest nierówna, bez śladów obróbki, z wtopionym niewielkim kamieniem, zaś na płaskiej widocznych jest pięć nacięć. Znaleziony fragment odcięty został od większej całości.

W wykopie 1, w dolnej części wypełniska fosy podfazy C1 (w. 63), odkryto połowę pustej wewnątrz ceramicznej kuli, o średnicy co najmniej 8,1 cm i grubości ścianki ok. 2 cm (tabl. VII.16: 1). Przedmiot wykonano z gliny żelazistej z domieszką średnioziarnistego tłucznia lub piasku i wypalono w atmosferze redukcyjnej. Jego powierzchnia zewnętrzna jest wypolerowana i ma czarną barwę. Brzegi ścianek po odłamaniu zostały być może wtórnie wyrównane i wygładzone. Dwie analogiczne kule (ryc. VII.73), również zachowane w połowie, znaleziono na powierzchni grodziska (zbiory MAES). Podobne przedmioty interpretowane są jako ręczne granaty. Znane są one m.in. z terenu Niemiec, Austrii i Anglii, gdzie są datowane na ogół na XVII w. (Franzkowiak, Wenzel 2016, 108 n.).



**Ryc. VII.73.** Suraż, pow. białostocki, stan. 1. Fragmenty dwóch granatów z wypalanej gliny (1, 2), znalezione na powierzchni grodziska: a – widok z zewnątrz; b – widok od wewnątrz (zbiory MAES). Fot. H. Olczak

Natomiast w wyższej części wypełniska fosy (podfaza C2, w. 52) odkryto fragmenty skórzanego buta (tabl. VII.16: 2). Zachowały się jego dwie części, pochodzące z podeszwy (śródstopia lub przedstopia) i prawdopodobnie z przyszwzy. Niewielkie kawałki skóry stanowić mogą fragmenty lamówki cholewki. Podobne buty znalezione w Warszawie datowane są na XIV w. (Blusiewicz 2009, tabl. I: 2c; II: 43; XVI: 9: 10, 19; XX: 1d). Sposób przeszycia zachowanych fragmentów wskazuje na szycie zakładkowe (Kowalska 2013, ryc. 15: 5, tabl. XLVII: 1).

Ostatnią grupę znalezisk stanowią narzędzia wykonane z kamienia, odkryte w wykopie 4. Cztery z nich pełniły funkcję osełek, zaś jeden – ze śladami przepalenia na powierzchni – osełki lub płyty szlifierskiej. Podobnie jak w poprzednim okresie, do wyrobu tych przedmiotów wykorzystywano krzemionkowy piaskowiec kwarcowy z muskowitem, pochodzący z Wołynia lub mezozoicznych utworów Gór Świętokrzyskich, a także gnejs (Siuda 2015). Ponieważ dwie osełki pozyskano z warstw niwelacyjnych fazy V (w. 260 i 274), zawierających liczne materiały o charakterze rezydualnym, to nie można wykluczyć ich wczesnośredniowiecznej proveniencji. Jedno z narzędzi znalezione zostało w zalegającej na majdanie warstwie destrukcyjnej fazy V (w. 241), zaś dwa kolejne w strukturach górnej części nasypu wału (w. 107 i ob. 120), związanych z późniejszymi okresami użytkowania grodu.

## VII.5. Chronologia i wniosek

Najstarsza późnośredniowieczna faza użytkowania stanowiska (faza IV) jest słabo poświadczona w źródłach archeologicznych. Wydzielona ona została głównie na podstawie materiałów pozyskanych podczas badań przeprowadzonych w 1936 r. W zbiorze tym wyróżniają się fragmenty naczyń, które nie mają analogii wśród ceramiki charakterystycznej dla późniejszych okresów funkcjonowania grodu. Na podstawie stylistyki i techniki wykonania wyrobów te, będące jeszcze pod silnymi wpływami garncarstwa wczesnośredniowiecznego, można datować ogólnie na okres od 2. połowy lub końca XIII do końca XIV w. (por. rozdz. V.2.1.2 i VII.2.6). Dowodem na użytkowanie stanowiska w XIV stuleciu jest też znaleziona w 1936 r. srebrna moneta Kazimierza Wielkiego. Niestety informacje o numizmacie pochodzą jedynie z dokumentacji archiwalnej (Stafiński 1936e). Niewykluczone, że z fazą IV związane są również najstarsze struktury odkryte w wykopie 1. W wypełnisku odsłoniętej w nim fragmentarycznie fosy fazy A znaleziono głównie materiały wczesnośredniowieczne, datowane od XI do XIII w., jednak kilka ułamków naczyń wykazuje cechy wyrobów z przełomu wczesnego i późnego średniowiecza lub początku późnego średniowiecza. O funkcjonowaniu grodu suraskiego w XIV w. świadczą przede wszystkim źródła pisane, wzmiankujące go m.in. pod latami 1379 i 1392 (por. rozdz. II). Na ich podstawie można przyjąć, że w XIV w. istniała tu warownia z częścią mieszkalną, która w 1392 r. została zniszczona w wyniku najazdu krzyżackiego (Posilge von 1866, 184 n.; Wigand 2017, 562 n.).

Pierwszy dobrze poświadczony przez źródła archeologiczne etap użytkowania grodu w okresie późnego średniowiecza wiąże się ze wzniesieniem konstrukcji obronnych fazy V. Znaczne rozmiary tego przedsięwzięcia pozwalają przypuszczać, że warownia miała spełniać nowe potrzeby militarne. Główną część umocnień stanowił zbudowany z gliny nasyp, wzmocniony potężnymi dębowymi słupami, zaś od strony majdanu zabezpieczony drewnianą konstrukcją (ob. 430), pełniącą zapewne również funkcję pomostu lub niewielkiej galerii

obronnej. Na jego szczycie ustawiony był przypuszczalnie drewniano-gliniany płot. Czas budowy wału można określić dosyć precyzyjnie na podstawie wyników analiz dendrochronologicznych. Z dębowego słupa (w. 202) zachowanego w dole posłupowym 201 otrzymano datę ścięcia drzewa po 1388 r. Natomiast analiza próbki pobranej z dębowej belki 244, tworzącej konstrukcję 430, wskazuje na ścięcie drzewa po 1394 r. (tab. VII.3 oraz Szychowska-Krąpiec, Krąpiec 2013). Uzupełnieniem tego datowania są rezultaty analizy radiowęglowej jednej z belek tej samej konstrukcji. Uzyskano z niej wynik  $460 \pm 40$  BP, co po kalibracji z prawdopodobieństwem 93,4% daje zakres lat 1401–1497 AD, a z prawdopodobieństwem 68,2% lata 1417–1455 AD (MKL-2258, ryc. VII.74). Dane te pozwalają umieścić wzniesienie konstrukcji obronnych fazy V w okresie przypadającym na przełom XIV i XV w., co znajduje potwierdzenie w chronologii ceramiki naczyniowej (por. rozdz. VII.2.6). Nasuwa się zatem wniosek, że umocnienia fazy V związane są z odbudową grodu po jego przypuszczalnym spaleniu przez Krzyżaków w 1392 r. (por. rozdz. II).

**Tab. VII.3.** Suraz, pow. białostocki, stan. 1, wykopy 1 i 4. Zestawienie wyników analiz dendrochronologicznych (według Ważny 2004; Szychowska-Krąpiec, Krąpiec 2013)

Lp.	Kod laboratorium	Wykop	Opis próby	Gatunek drewna	Liczba przyrostów	Biel	Słój podkorowy	Datowanie sekwencji	Data ścięcia drzewa
1	1	-	Pal wbity w dno Narwi	dąb	89	-	-	1254-1342 AD	po 1357
2	SUR10	4	Słup 202, dół posłupowy 201 (faza V)	dąb	77	-	-	1305-1381 AD	po 1388
3	SUR4	4	Konstrukcja 430, belka 244 (faza V)	dąb	51	-	-	1337-1387 AD	po 1394
4	12	1	Warstwa 70, palik (faza B)	dąb	53	-	-	1333-1385 AD	po 1401
5	10	2	Konstrukcja I, deska 57 (faza 2)	sosna	139 (+1)	-	+	1288-1426 AD	po 1426
6	11	1	Fosa, deska 26 (faza nieokreślona, być może C1)	sosna	151		+	1297-1447 AD	1457-1462
7	2SUR5	4	Budynek 233, spalona belka ze ściany (faza VIII)	sosna	142	-	-	1405-1546 AD	po 1546
8	3SUR1	4	Budynek 233, spalona belka 148 ze ściany (faza VIII)	jodła	53	-	-	1520-1572 AD	po 1572

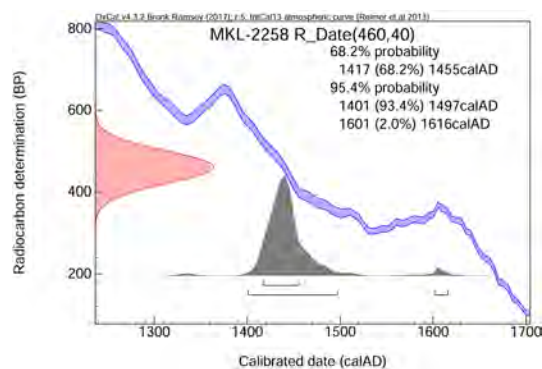
Współczesne fazy V mogą być również niektóre struktury rozpoznane u podstawy grodziska. Materiały zabytkowe z wypełniska fosy fazy B (wykop 1) nie pozwalają niestety na jej precyzyjne wydatowanie (por. rozdz. VII.2.6). Istotną przesłanką przemawiającą za wykopaniem rowu w tym okresie są natomiast rezultaty analizy dendrochronologicznej dębowego palika, odkrytego na stropie calca w północnej części wykopu, w spągu związanej zapewne z fazą B warstwy 70. Wskazują one, że drzewo, z którego wykonano palik, zostało ścięte po 1401 r. (tab. VII.3), a zatem w czasie zbliżonym do budowy umocnień fazy V. Nie jest wykluczone, że z tego samego okresu pochodzi też jama (lub rów) przebadana u północno-wschodniej

podstawy grodziska (ob. 61, wykop 3). Powstała ona prawdopodobnie w efekcie wybierania gliny na budowę nasypu wału. Jednocześnie zaś poprzez jej wykopanie w tym miejscu nadano skarpie rzecznej bardziej stromego i obronnego charakteru. Za powstaniem jamy w czasie wznoszenia umocnień fazy V przemawia fakt, że miały one strukturę gliniastą, w odróżnieniu od nasypów z innych okresów. Nie przeczy temu charakter znalezionych w wypełnisku omawianego obiektu materiałów zabytkowych. Obecność zagłębienia u podstawy grodziska od strony rzeki wykazały również badania elektrooporowe (por. rozdz. IV, ryc. IV.13: 1).

Z jednym z początkowych etapów funkcjonowania późnośredniowiecznego grodu (faza IV lub V) związane są także znajdujące się u jego południowo-wschodniego podnóża relikty konstrukcji z drewnianych pali, pełniące zapewne funkcję jazu spiętrzającego wodę w Narwi i kierującego ją do fosy. Struktury te można datować najwcześniej na 2. połowę XIV w. (por. rozdz. VIII).

Niewiele danych mamy natomiast dla ustalenia czasu zniszczenia konstrukcji obronnych fazy V, jak również ich odbudowy i ponownego spalania w następnym okresie<sup>14</sup>. Pewne przesłanki, takie jak brak wyraźnych pozostałości warstwy kulturowej w przebadanej części majdanu, ale też istotnych różnic między ceramiką naczyniową pochodzącą z nawarstwień faz V i VI, pozwalają przypuszczać, że warownia funkcjonowała dość krótko. Zarówno spalanie grodu, jak i jego szybka odbudowa w fazie VI miały bez wątpienia związek z niepokojami, jakie panowały na tych terenach w 1. połowie XV w. z powodu walk mazowiecko-litewskich. Ostatni poświadczony przez źródła pisane konflikt zbrojny między Litwą a Mazowszem miał miejsce w 1444 r., kiedy to wojewoda wileński Jan Gasztołd oblegał Drohiczyn i spalił Brańsk (por. rozdz. II). Wprawdzie brak informacji na temat roli, jaką odegrał w tej wojnie Suraż, jednak wydarzenia te można z dużą dozą prawdopodobieństwa uznać za ostatni potencjalny moment zniszczenia grodu fazy VI<sup>15</sup>. Prowadzi to do wniosku, że starsza warownia (fazy V) spalona została nie później niż w 1. połowie, a może nawet jeszcze w 1. ćwierci XV stulecia. Należy przy tym także uwzględnić możliwość zniszczenia konstrukcji obronnych w wyniku przypadkiem roznieconego pożaru<sup>16</sup>.

**Ryc. VII.74.** Suraż, pow. białostocki, stan. 1, wykop 4. Wyniki kalibracji analizy dębowej belki 244 z konstrukcji 430 (faza V), wykonanej w Laboratorium Datowań Bezwzględnych w Cianowicach (według Szychowska-Krąpiec, Krąpiec 2013)



<sup>14</sup> Analizy dendrochronologiczne elementów konstrukcyjnych umocnień fazy VI oraz drewna z rowów fazy VII nie przyniosły pozytywnych wyników ze względu na zbyt małą liczbę zachowanych słoików (Szychowska-Krąpiec, Krąpiec 2013).

<sup>15</sup> W 1446 r. książę mazowiecki Bolesław IV zrzekł się pretensji do ziemi drohickej, co położyło kres konfliktom mazowiecko-litewskim (por. rozdz. II).

<sup>16</sup> Co stało się przyczyną zakończenia użytkowania zamku na początku XVII w. (por. dalej). Na temat pożarów w późnośredniowiecznych i nowożytnych grodach i zamkach por. m.in. Maroszek 2012, 188 n.



Koncepcja umocnień fazy VI powieliała schemat ze starszego okresu funkcjonowania grodu. Do budowy nowego wału wykorzystano istniejący już gliniany nasyp, nadbudowując go od strony majdanu piaskiem. Podobnie jak w okresie wcześniejszym, umocnienia wsparte były na dużych słupach, ustawionych na ich wewnętrznym obrzeżu. W przebadanej części stanowiska linia słupów została przesunięta w kierunku majdanu, przez co nieco zmniejszono jego powierzchnię. Działania te mogły być spowodowane faktem, że sąsiadujący z rzeką odcinek nasypu był okresowo podcinany przez nurt, co musiało skutkować jego osuwaniem się. Na szczycie wału znajdował się oblepiony gliną płot, a od wewnętrznej podstawy zapewne wzmacniająca go konstrukcja z drewna.

Podobnie mało przesłanek mamy do datowania struktur fazy VII. W tym czasie, w związku z ustabilizowaniem się sytuacji politycznej na obszarze mazowiecko-litewskiego pogranicza (por. rozdz. II), militarne znaczenie suraskiego grodu przypuszczalnie zmalało. W fazie tej w górnej części nasypu wału, prostopadle do jego linii, wykopano szereg równoległych do siebie rowów, na dnie których ułożono deski i wbity drewniane słupy. Funkcja tych konstrukcji nie jest w pełni jasna. Ze względu na miejsce ich usytuowania można przypuszczać, że stanowiły one podporę dla galerii obronnej. Jest prawdopodobne, że przebudowa nastąpiła około połowy lub w 2. połowie XV w., czyli wkrótce po zniszczeniu umocnień fazy VI. Za takim datowaniem przemawia brak w wypełniskach rowów fragmentów naczyń nowożytnych, kafla i szkła, jednak ze względu na niewielką liczbę pozyskanych materiałów nie jest to argument w pełni wiarygodny. Nie można zatem całkowicie wykluczyć, że modernizacja struktur obronnych przeprowadzona została później, w 1. połowie XVI w.

W ostatnim okresie (faza VIII) użytkowania warowni powstały dwa drewniane budynki, jeden ustawiony u podnóża nasypu wału, a drugi na jego szczycie. Ich wzajemna relacja stratygraficzna nie jest jasna. Na podstawie wyników analiz dendrochronologicznych budynek 233 można datować na przełom 3. i 4. ćwierci XVI w., bowiem drzewa użyte do konstrukcji jego ścian zostały ścięte odpowiednio po 1546 i po 1572 r. (tab. VII.3). Wydaje się, że wzniesienie budowli 114 miało miejsce w podobnym okresie, a na pewno nie dużo później. Pośrednio wskazuje na to relacja z pożaru zamku w 1603 r., według której znajdujące się tu zabudowania nie były używane od kilkudziesięciu lat (por. rozdz. II). Nawet biorąc pod uwagę, że okres opuszczenia warowni mógł zostać przez autora tego opisu nieco zawyżony (w celu zmniejszenia winy za nieskuteczne gaszenie ognia), mało prawdopodobne jest, że pod koniec XVI w. prowadzono tu jeszcze zakrojone na szeroką skalę prace budowlane. Za równoczesnym spalaniem obu konstrukcji w 1603 r. przemawia podobny charakter warstw destrukcyjnych oraz brak śladów uprzątnięcia pogorzeliiska.

Duże trudności sprawia datowanie relikwów budowli odkrytych pod koniec XIX stulecia i w 1936 r. Odsłonięte przez Nikołaja P. Awenariusza fundamenty budynku określono jako pochodzące z okresu „litewsko-polskiego”, a znalezione wśród cegieł klucz wydatowano na XV–XVI w. (Avenarius 1890, 33, przyp. 4; Bobrinskiej 1891, CCCXX). Lokalizacja tych konstrukcji nie jest znana, nie można zatem wykluczyć, że są one tożsame z ceglana wieżą cylindryczną znajdującą się w północno-zachodniej części wału lub budynkiem, którego kamienny fundament odkryto w 1936 r. w środkowej części wewnętrznego dziedzińca (por. rozdz. V, ryc. V.5; V.8). Znalezione na poziomie i powyżej bruku dziedzińca fragmenty kafla piecowych, m.in. renesansowych (por. rozdz. V.2.2), a także moneta Zygmunta I Starego świadczą, że

w 1. połowie XVI w. na terenie warowni istniały zabudowania o przeznaczeniu mieszkalnym. Można przypuszczać, że powstały one najpóźniej w 2. ćwierci tego stulecia, ponieważ według *Rejestru pomiarowego miasta Suraza* z 1562 r. w tym czasie zamek wymagał już prac remontowych (por. rozdz. II). Wymiary „kopca” podane w wymienionym rejestrze (Kazimierski 1954, 153; por. rozdz. II) pozwalają ustalić średnicę dziedzińca w połowie XVI w. na ok. 47 m, zaś obwód na ok. 165 m<sup>17</sup>.

Nie jesteśmy w stanie stwierdzić, z którą z wydzielonych faz związane są wspomniane wyżej relikty ceglanej wieży cylindrycznej, usytuowanej zapewne w pobliżu prowadzącego na teren warowni mostu. Zaproponowana kilkadziesiąt lat temu hipoteza, że jej wzniesienie wiązało się z postanowieniami Statutu Litewskiego z 1588 r. (Stafiński 1937b, 12), wydaje się mało prawdopodobna. Budowie wieży w tak późnym czasie przeczy bowiem wspomniana już relacja o opuszczeniu zamku na długo przed pożarem w 1603 r. Ponadto w tym okresie Suraz znajdował się już w granicach Korony, a zatem postanowienia prawa litewskiego go nie dotyczyły (por. rozdz. II, przyp. 47). Na obecnym etapie badań wzniesienie wieży można datować szeroko, od XV do 1. połowy XVI w. Nie ma też pewności, czy cała baszta zbudowana została z cegieł, czy tylko jej dolna część, wkopana w nasyp wału. Szerokość muru wynosząca niewiele ponad 0,6 m i fundament składający się z jednej warstwy kamieni sugerują bądź drewnianą konstrukcję wyższych kondygnacji, bądź niewielką wysokość budowli. Niewątpliwie w okresie upowszechnienia się broni palnej wieża słabo nadawała się do celów obronnych, mogła jednak pełnić rolę punktu obserwacyjnego, a także strzec wejścia do grodu.

Równie trudno określić czas wykopania fosi zewnętrznej fazy C. Z najstarszej części wypełniska tego obiektu (podfaza C1) pozyskano fragmenty ceramiki naczyniowej i kaflki, których większość można łączyć z okresem od 1. ćwierci lub połowy XV w. do co najmniej końca XVI lub połowy XVII w. (por. rozdz. VII.2.6). Tak duża rozpiętość chronologiczna materiałów uniemożliwia właściwie wydatowanie rowu, tym bardziej, że mógł on być co pewien czas czyszczony i udrażniany. Pośrednio wskazują na to nieliczne fragmenty cegieł znalezione na jego dnie, podobne do pochodzących z warstw związanych z destrukcją budynku 114 fazy VIII. Trudno stwierdzić, czy w określeniu momentu powstania fosi tej fazy pomocny może być wynik analizy dendrochronologicznej sosnowej deski, odkrytej na jej południowym obrzeżu (por. rozdz. VII.1.6). Świadczy on, że drzewo, z którego wykonano opół, zostało ścięte między latami 1457 i 1462 (tab. VII.3). Otrzymana data jest wprawdzie zbieżna z chronologią najstarszych materiałów zabytkowych pozyskanych z nawarstwień podfazy C1, wiele wskazuje jednak na to, że deska nie została znaleziona *in situ*. Najbardziej prawdopodobnym czasem wykopania fosi wydaje się zatem 2. połowa XV lub początek XVI w.

W 1603 r. poświadczony jest pożar zamku, który zniszczył jego zabudowę (por. rozdz. II). Datę tę można uznać za koniec użytkowania obiektu, gdyż ani źródła historyczne, ani też archeologiczne nie wskazują, aby po tym zdarzeniu został on odbudowany. Po spaleniu warowni rozpoczął się stopniowy proces zamulania fosi (fazy C2, C3 i D), trwający do czasów współczesnych.

<sup>17</sup> Wymiary te („w okrąg wzdłuż” 3/7 sznurów, czyli 3 sznury i 7 prętów, oraz „na krzyż” po 10,5 prętów, czyli 10 i pół pręta, Kazimierski 1954, 151, 153) są zbyt małe, aby mogły odnosić się do całego grodziska. Za podstawę obliczeń wzięto następujący przelicznik: 1 pręt = 4,466 m. Za wprowadzenie w tajniki miar staropolskich dziękujemy panu W. Wróblowi.

Relics related to the late medieval and early modern stronghold were discovered in the trenches No. 1 and 3 from 2004 and in the trench No. 4 from 2013. The structures discovered in the trench No. 4 formed the basis for the considerations on the chronology and nature of the site during these periods. On their basis, five main phases of the stronghold were separated, covering the period from the turn of the 13<sup>th</sup> and 14<sup>th</sup> centuries to the beginning of the 17<sup>th</sup> century.

The oldest phase IV was the least recognized. The settlement structures from that period were probably mostly destroyed as a result of later reconstructions. The functioning of the stronghold in this phase is confirmed mainly by written sources and findings from the research from 1936.

Much more relics were connected with the phase V, in which a thorough reconstruction of the stronghold took place (sub-phase VA). In the trench No. 4, the remnants of an earth rampart from that period and a small part of a fairground were discovered. The reconstruction of the stronghold began with the levelling of layers from the older periods. Then a clay rampart was built, which was probably divided into shorter sections, reinforced with perpendicular wooden partitions. In the part adjacent to the fairground, the rampart was supported on huge oak poles, with a diameter of about 0.45–0.50 and a height of at least about 3 m, set up in the postholes buried in the older structures (features 201, 206 and 330). The base of the rampart from the side of the fairground was reinforced with a structure made of mostly oak beams, arranged along its line (feature 430). It was probably formed by two vertical walls, and its width was about 0.5–0.7 m. The structure could have a stepped shape and at the same time serve as a platform or a small defensive gallery to move along the rampart. Also on the top of the rampart, there was probably some kind of construction made of wood covered with clay. A layer of bark was discovered in a part of the fairground near the rampart (layer 214=238=239). It contains fragments of vessels and a large number of animal bones, including fish bones. The layer was probably a waste from the treatment of wood used to build the stronghold. However, it is possible that the bark was deliberately collected here to protect the place from freezing and water seepage. No clear signs of use of the stronghold during this period were found in the trench (sub-phase VB). Only the slope-wash layer (layer 241) was unearthed, which may indicate the existence of buildings in the further part of the fairground (sub-phase VB). In the sub-phase VC, the stronghold was destroyed by fire.

The reconstruction of the stronghold in the phase VI probably took place immediately after the destruction from the previous period. As in the previous phase, the defensive structures were supported on wooden posts. The postholes No. 178, 237 and probably 213 were their remains. The line of posts was moved about 1.0–1.2 m towards the centre of the fairground. The clay rampart from the previous period was raised by covering the higher parts of the posts with sand. The upper part of the sandy rampart was probably covered with clay (layer 108). At the top of the rampart, there was a wooden structure reinforced with clay. On the basis of prints in pieces of clay pug, it can be assumed that it was a kind of wall, built on a frame of rectangular beams about 0.2 m wide and round or semi-circular dowels with a diameter of several centimetres. No remnants of buildings associated with this phase were discovered in the trench. In the following period, the stronghold was destroyed by fire (sub-phase VIB).

In the phase VII, the clay and sandy rampart built in the previous periods still formed the main part of the fortifications. During this period, perpendicular ditches were dug at the top of the rampart, with an average width of about 0.4–0.6 m and a depth of several dozen centimetres to about 1 m (features 101, 128, 130, 144 and 440). At the bottom of the ditches, the remains of unburned oak

and pine boards and posts were discovered. Probably these elements formed a support for a wooden defensive gallery at the top of the rampart.

Two wooden buildings (sub-phase VIIIA) come from the last period of the stronghold. One of them was situated at the base of the rampart (feature 233), and the other one at its top (feature 114). Both buildings were destroyed by fire (sub-phase VIIIB).

Remains from the Late Middle Ages and Early Modern period were also found in the moat surrounding the stronghold, part of which was examined at its base from the north (the trench No. 1). Several phases associated with digging and deepening of the moat have been separated. The remains of the oldest moat (phase A), probably from the turn of the Early and Late Middle Ages, was a ditch (feature 73), a fragment of which was discovered in the southern part of the trench. In the phase B, the moat was deepened and moved away a few meters from the base of the stronghold. The next deepening of the moat took place in the phase C1. During this period, its width could reach about 20 m. The subsequent sub-phases C2, C3 and D reflect the subsequent stages of silting up the moat in the period between the 16<sup>th</sup> and 20<sup>th</sup> centuries.

A large pit or ditch (feature 61) was discovered in the trench No. 3, which was located at the base of the stronghold, on the north-eastern side. It was probably created as a result of extracting clay to build the rampart. At the same time, digging a pit in this place could serve to make the river slope more steep.

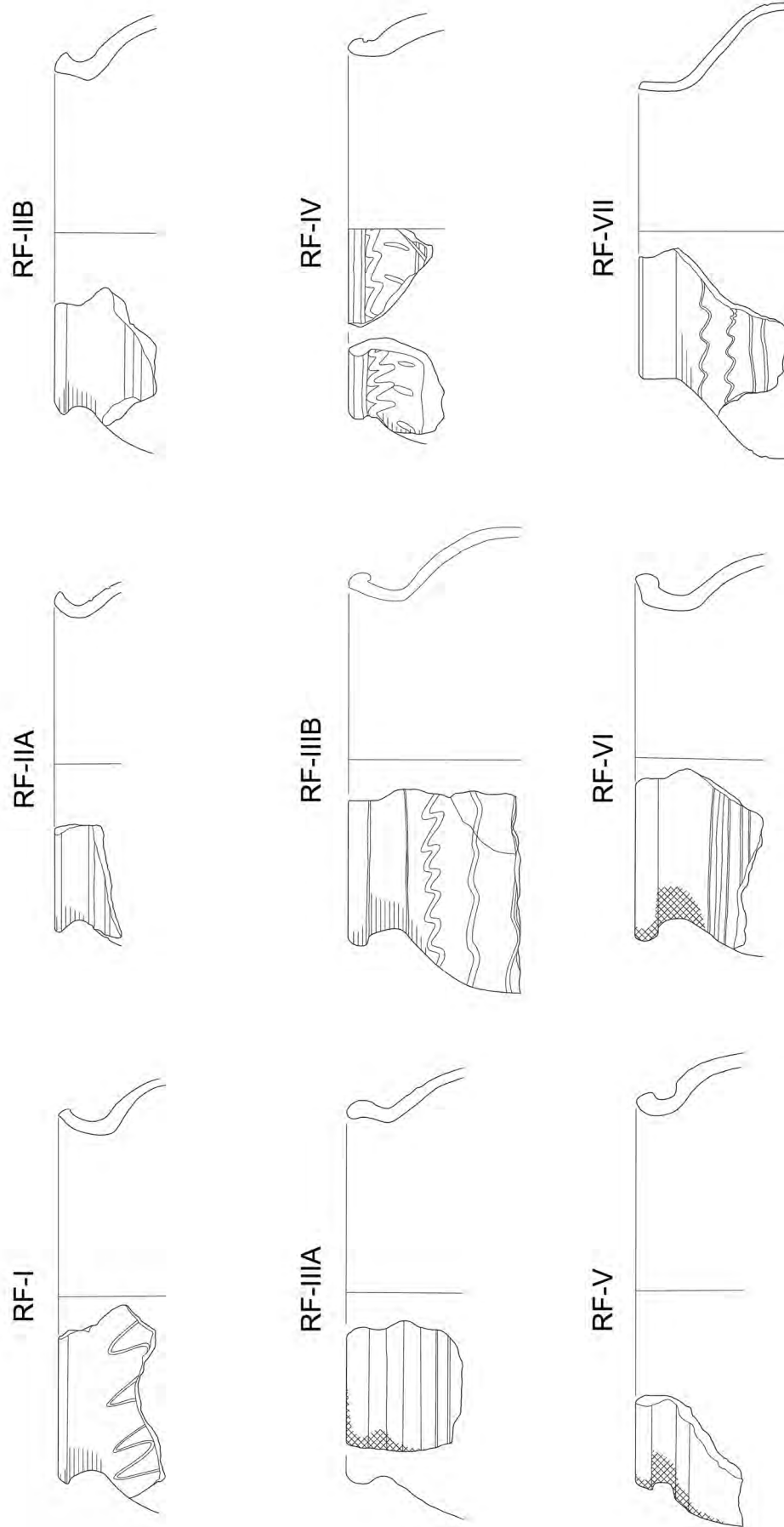
Among the artefacts related to the stronghold and the castle in the Late Middle Ages and at the beginning of the Early Modern period, the most numerous were fragments of vessels, of which 1212 pieces were discovered. Most pottery fragments were found in the trench No. 1 (734 fragments), slightly less in the trench No. 4 (412 fragments) and the least in the trench No. 3 (66 fragments). For detailed technological and stylistic analysis, 802 fragments of vessels were selected. These materials are highly fragmented and eroded. The vessels are very diverse in terms of the type of raw material, technique and firing conditions. The vast majority of the vessels are made of ferruginous clay. The largest group among them are vessels made on the potter's wheel with coiling technique and turned on the whole surface (about 52%). They were fired mainly in an oxidizing atmosphere. Less numerous are products made with the coil throwing technique, which were fired most often in a reducing atmosphere (about 17%) and less often in an oxidizing atmosphere (about 7%). Thrown vessels were fired almost exclusively in a reducing atmosphere (about 6%). Moreover, there were very few fragments of glazed, so called brick-coloured, pseudo-majolica and white-burning clay vessels in the analysed set. Fragments of pots are the vast majority of the materials. In addition, few fragments of pans, lids and tableware such as jugs, mugs/cups and plates were distinguished. The vessels were usually decorated with incised and polished patterns, and exceptionally rarely with plastic or painted ornaments.

In addition to the clay vessels, 61 small fragments of stove tiles were also found. Among them, there were tiles thrown on a potter's wheel (32 fragments) as well as those formed in matrices, the so-called slab tiles (25 fragments). Most of the tiles were covered with lead glaze, mainly green. There are also few iron items connected with this period, often with hard to define functions. These include a shoemaker's or saddler's needle and a crossbow bolt head, found in the trench No. 4, as well as a horseshoe from the trench No. 1. In addition, half of a clay grenade and fragments of a leather shoe were discovered in the trench No. 1, and several whetstones in the trench No. 4.

Ceramic material and the results of dendrochronological and radiocarbon analyses were used to determine the chronology of the stronghold. The phase IV can be dated to the 14<sup>th</sup> century on the basis of written sources and finds from 1936. The reconstruction of the stronghold in the phase V took place at the turn of the 14<sup>th</sup> and 15<sup>th</sup> centuries, probably immediately after the Teutonic invasion from 1392. Probably the stronghold functioned only for several decades in this phase. The dating of successive stages of the stronghold is based on weaker foundations. It is probable that the stronghold

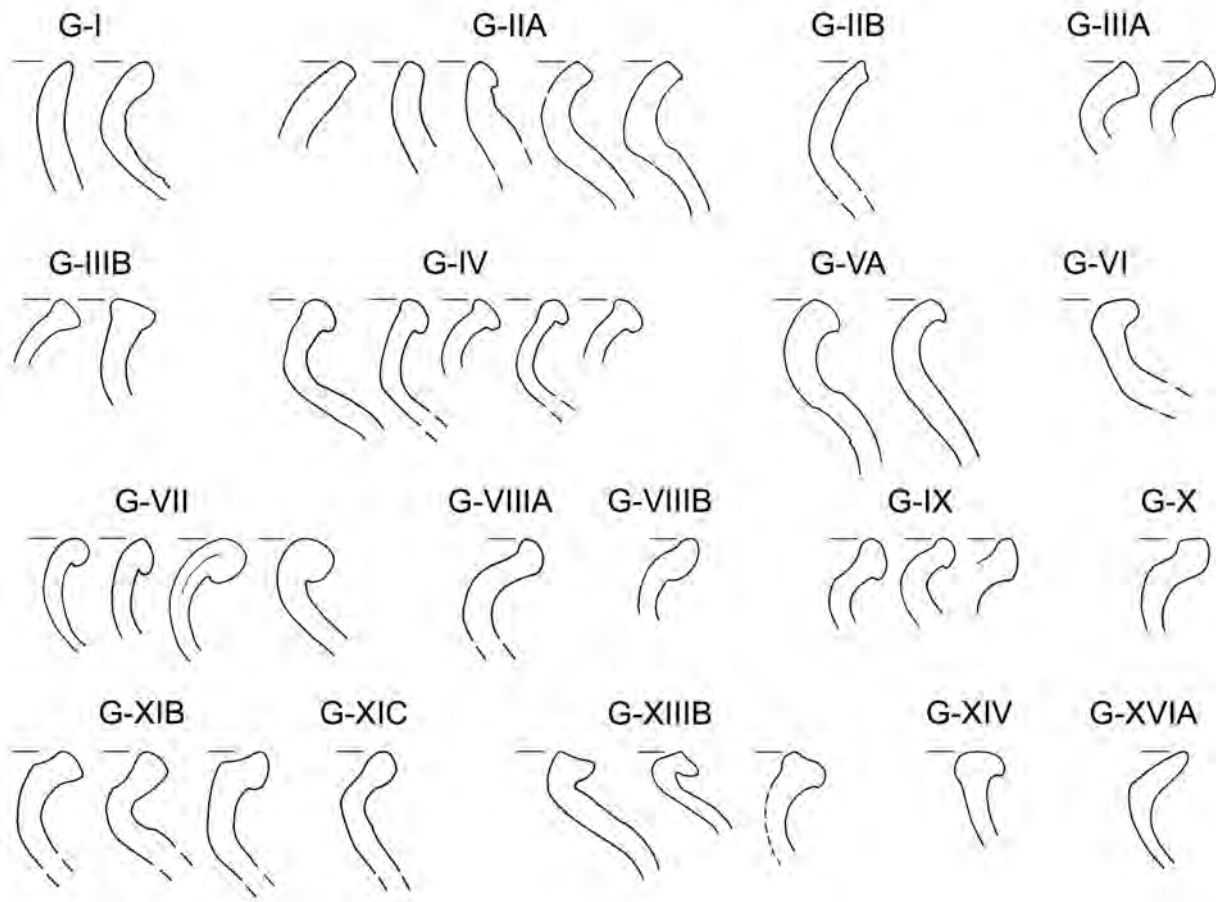
of the phase VI was built in the first half of the 15<sup>th</sup> century and was burned down before the middle of this century. The reconstruction in the phase VII probably took place in the second half of the 15<sup>th</sup> century, but it cannot be ruled out that at the beginning of the 16<sup>th</sup> century. The date of erection of the building No. 233 from the phase VIII was determined on the basis of dendrochronological analyses for the period after 1572. We do not know the date of erection of the cylindrical brick tower, which was examined in 1936. It can only be assumed that it was built in the 15<sup>th</sup> or early 16<sup>th</sup> century. In 1603, the fire of the castle is documented, which destroyed all its buildings. This date can be considered as the end of use of the castle, as neither historical nor archaeological sources indicate that it was rebuilt after this event.

## RODZINY FORM NACZYŃ

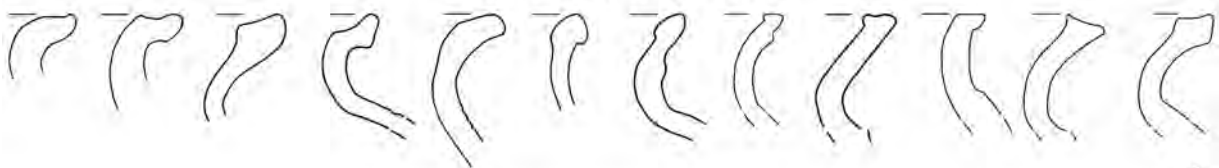


**Tabl. VII.1.** Suraż, pow. białostocki, stan. 1. Rodziny form naczyń późnośredniowiecznych i nowożytnych (z uwzględnieniem materiałów pochodzących z badań w 1936 r. oraz z wykopu 2). Rys. B. Jakubowska, H. Olczak

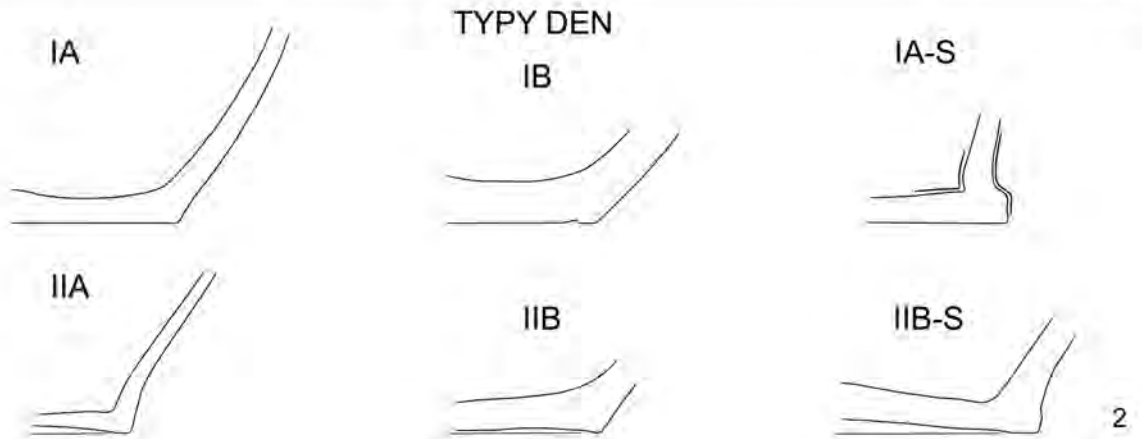
### TYPY WYLEWÓW GARNKÓW



### FORMY JEDNOSTKOWE

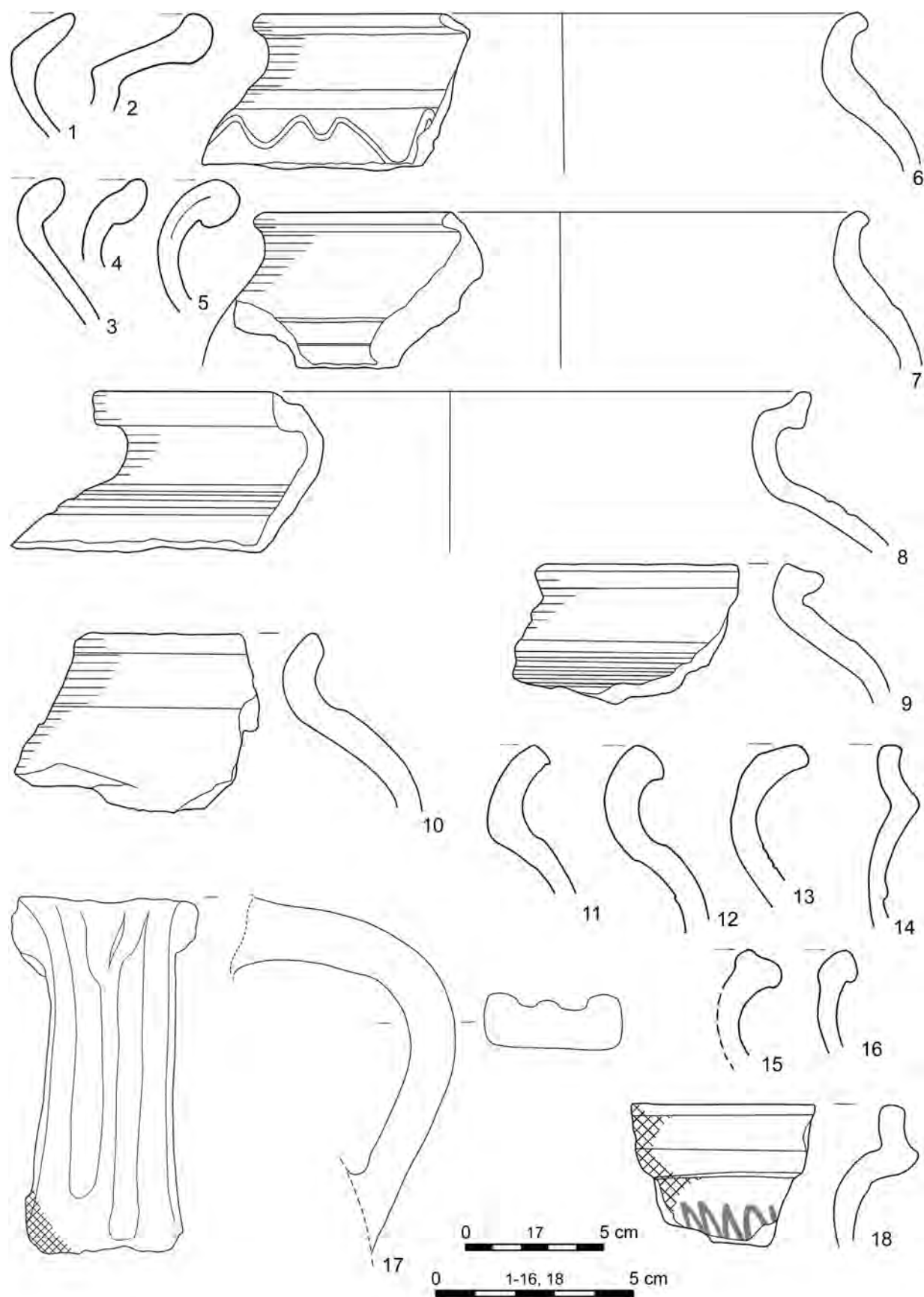


1



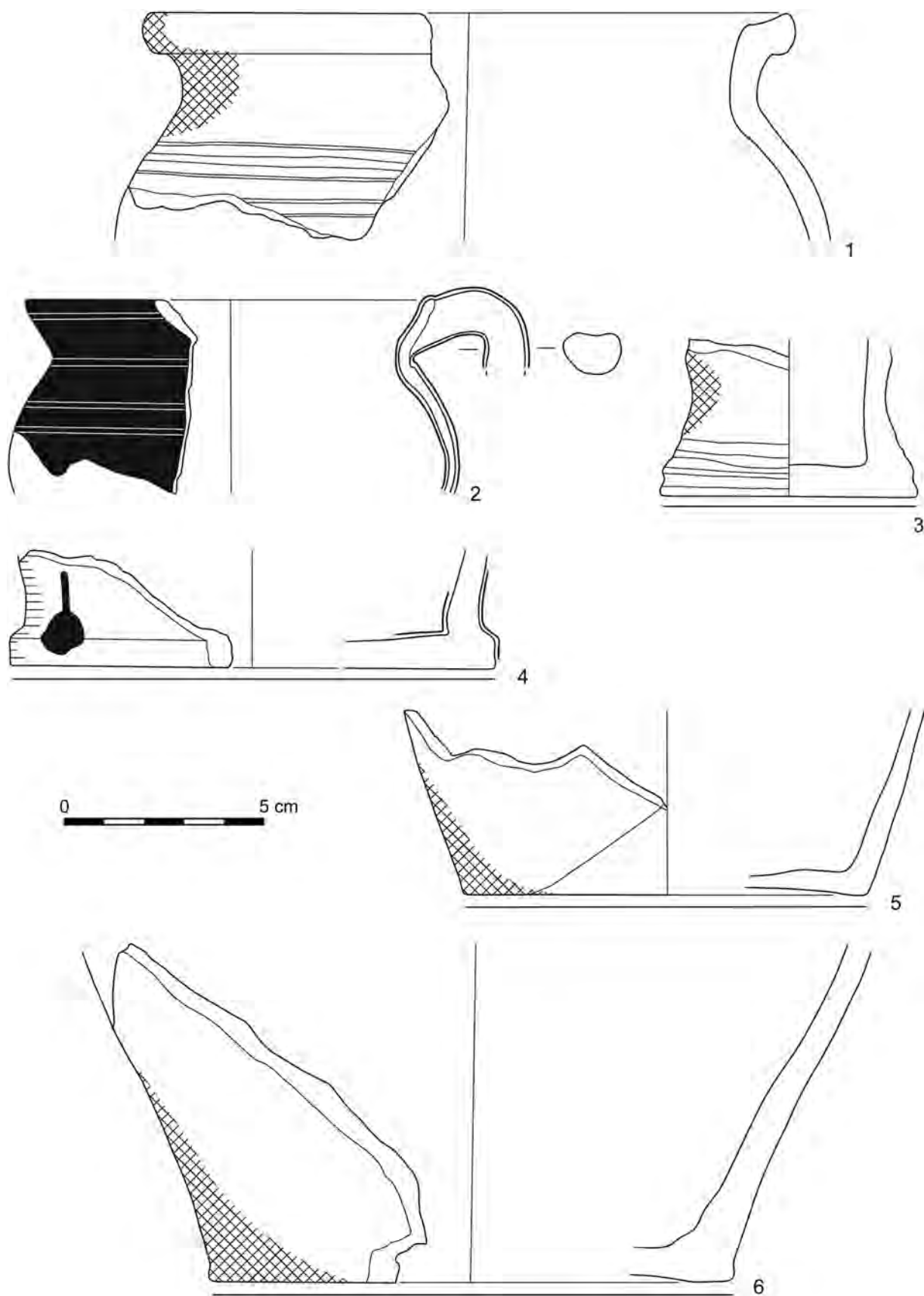
2

**Tabl. VII.2.** Suraż, pow. białostocki, stan. 1. Typologia wylewów garnków (1) oraz den (2) z okresu późnego średniowiecza i nowożytnego (z uwzględnieniem materiałów z badań w 1936 r. i wykupu 2). Rys. H. Olczak

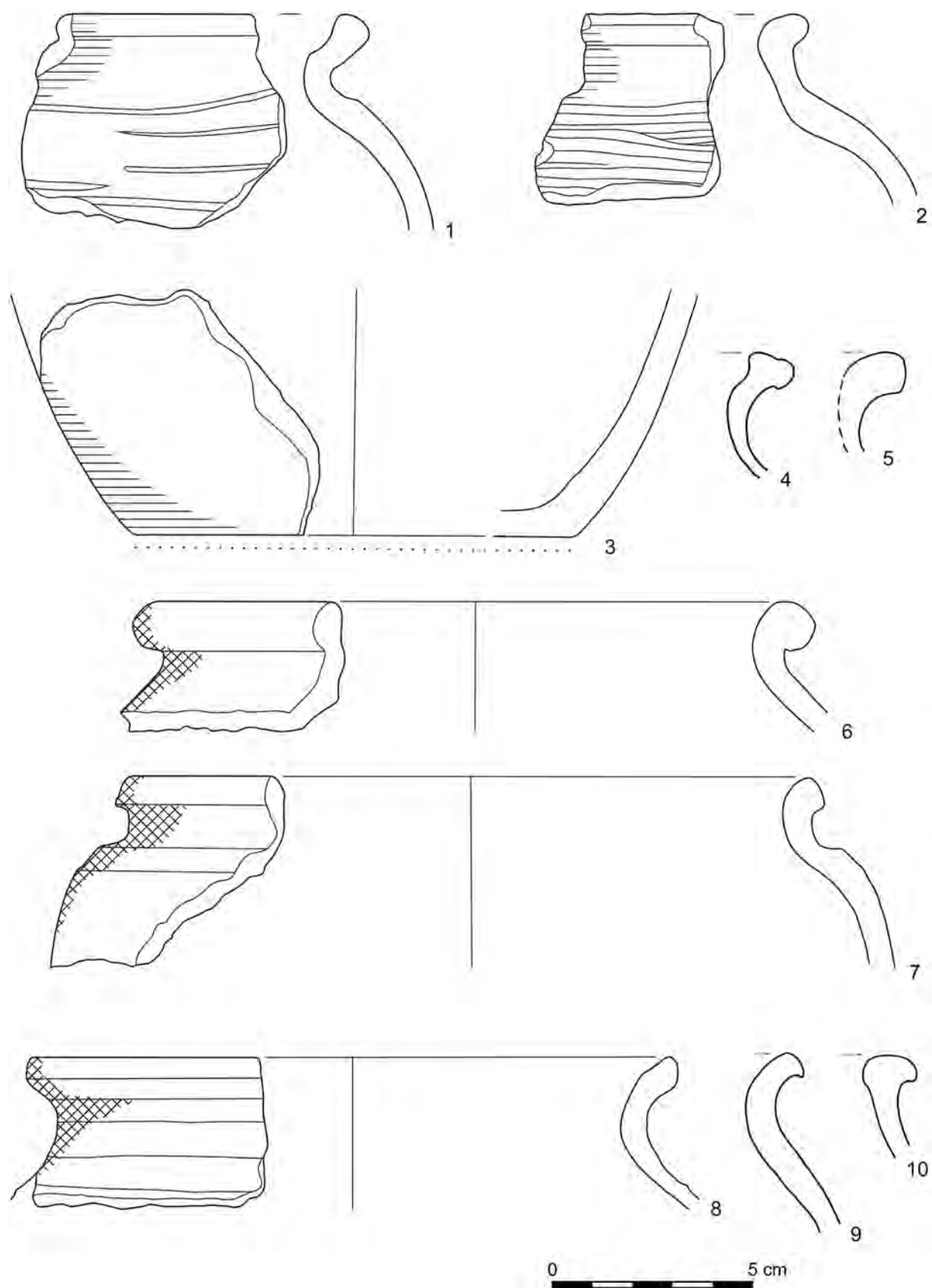


**Tabl. VII.3.** Suraż, pow. białostocki, stan. 1, wykop 1. Wybór fragmentów ceramiki późnośrednio-wiecznej i nowożytnej: 1–5 – w. 20 (podfaza C3); 6, 7 – ob. 37, w. 36 (faza D); 8–16 – w. 51 (podfaza C1); 17, 18 – w. 68 (podfaza C1). Rys. B. Jakubowska, H. Olczak

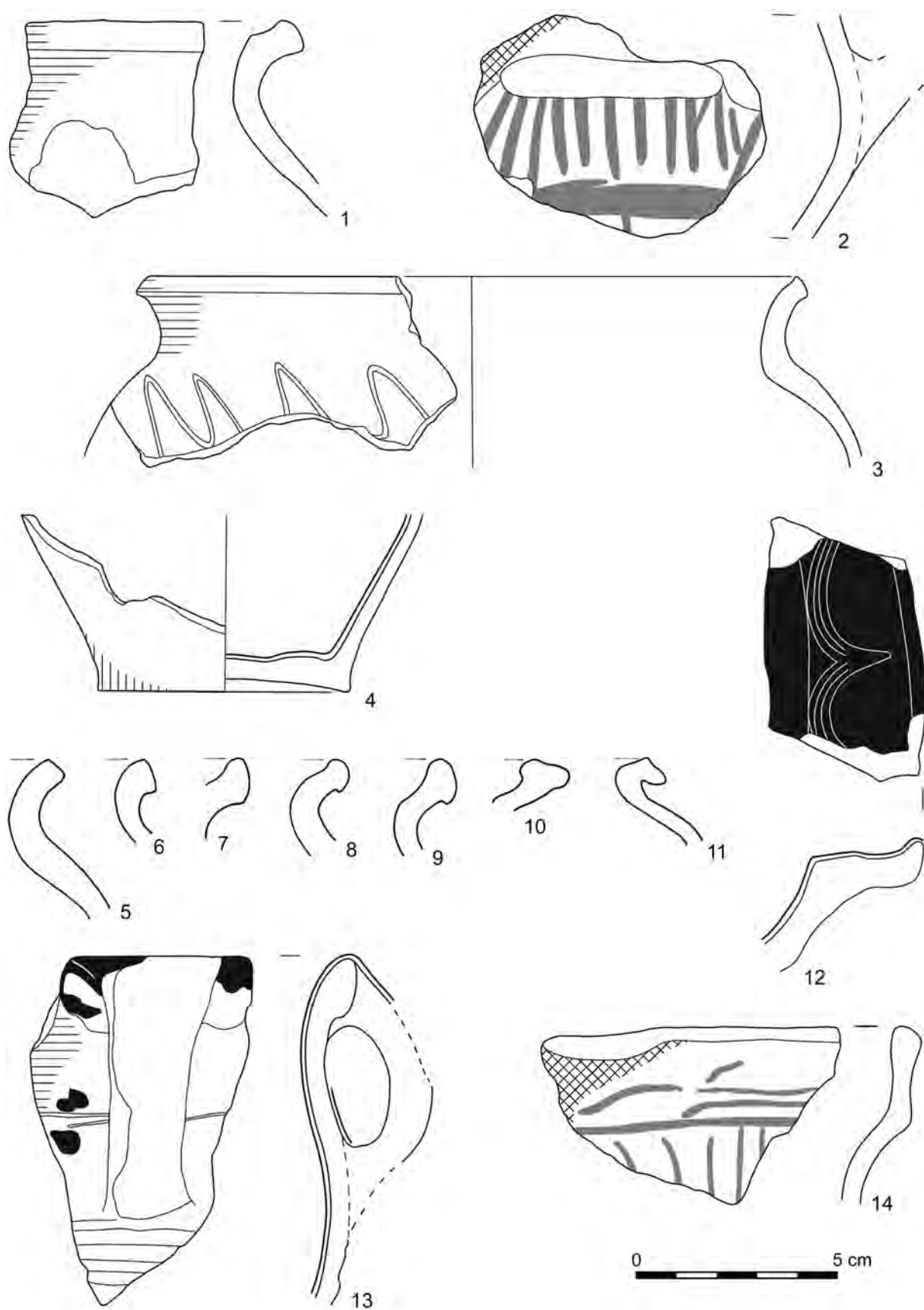




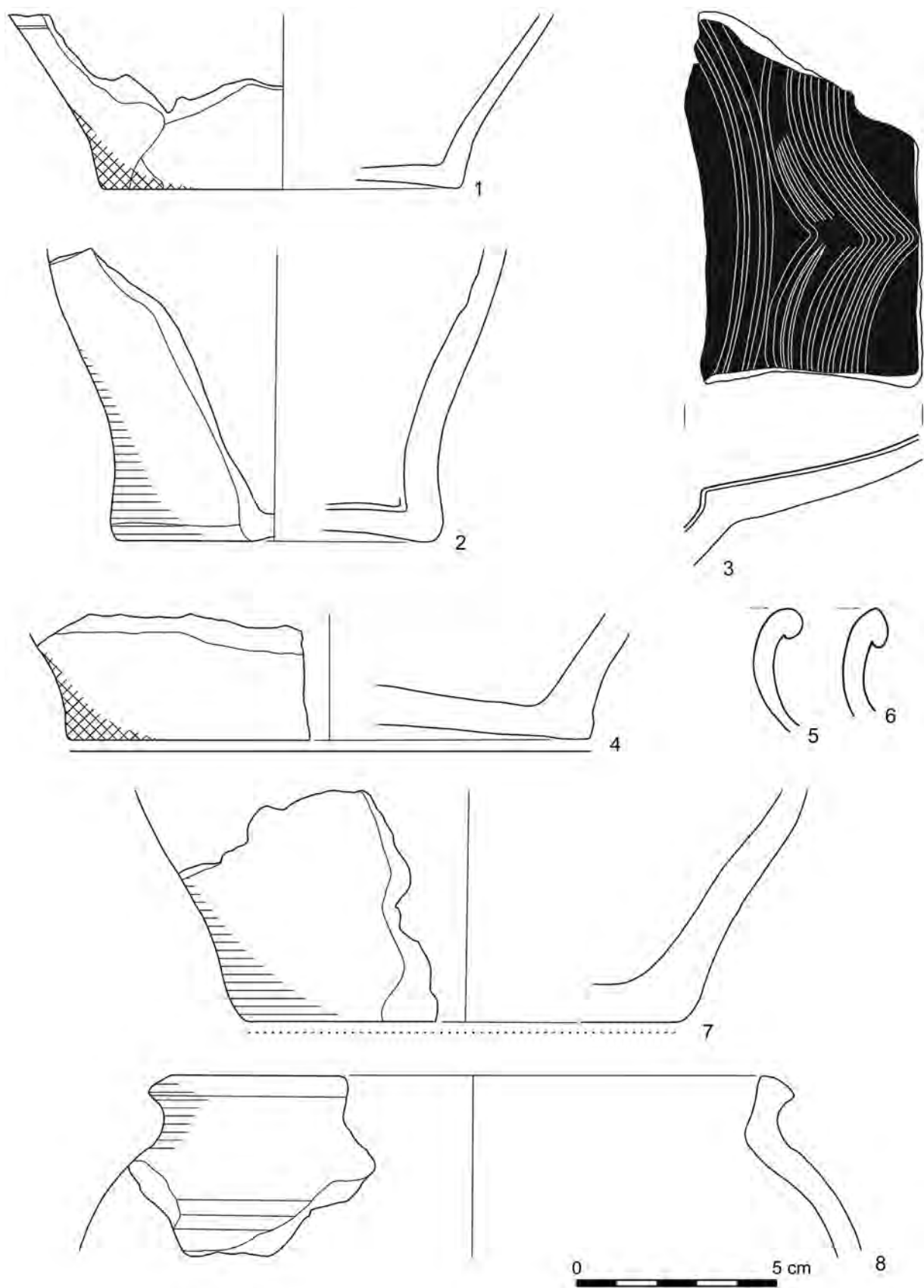
Tabl. VII.4. Suraż, pow. białostocki, stan. 1, wykop 1. Wybór fragmentów ceramiki późnośrednio-wiecznej i nowożytnej z warstwy 53 (podfaza C1). Rys. B. Jakubowska



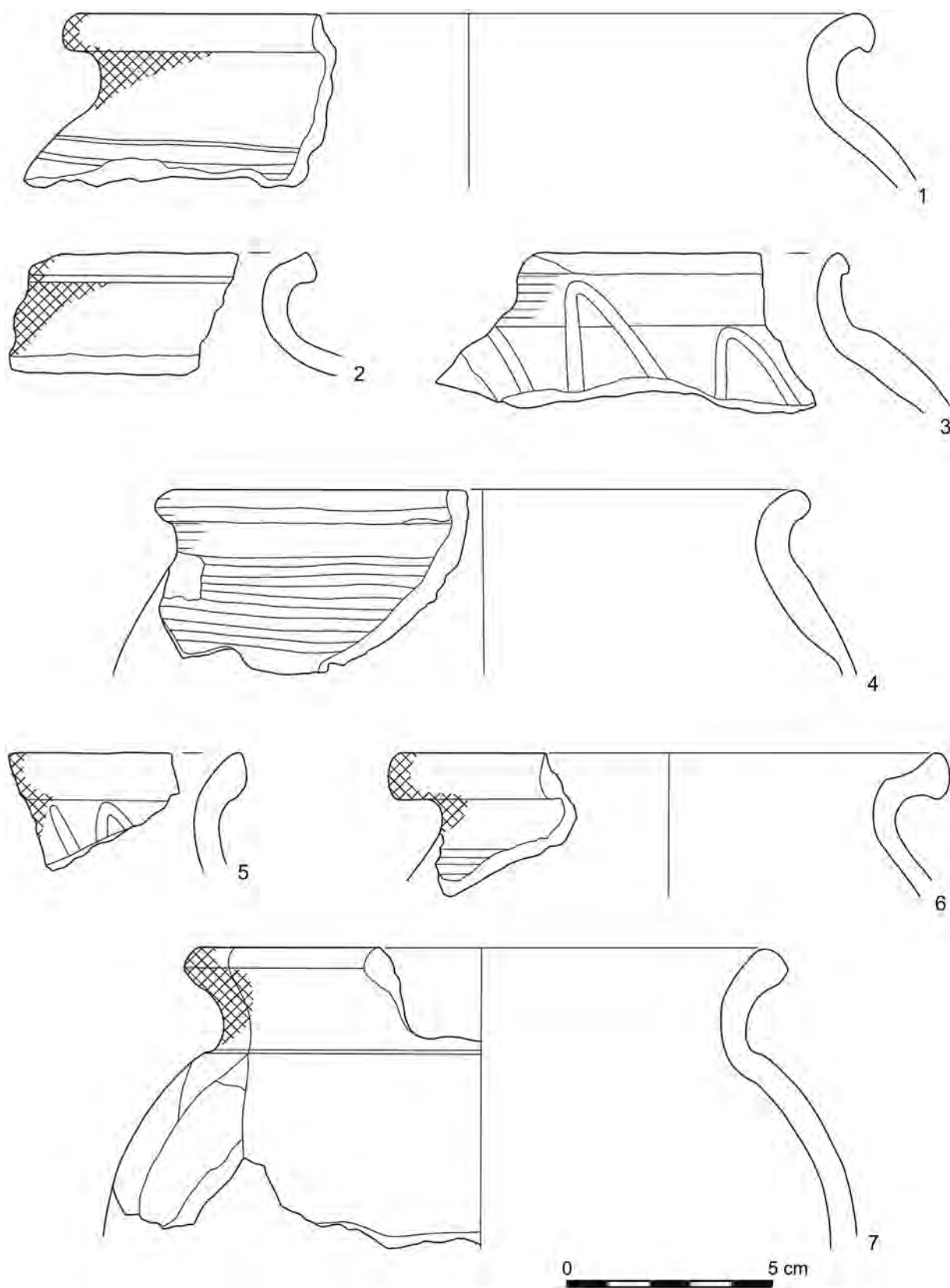
**Tabl. VII.5.** Suraż, pow. białostocki, stan. 1, wykop 1. Wybór fragmentów ceramiki późnośrednio-wiecznej i nowożytnej z warstwy 63 (podfaza C1). Rys. B. Jakubowska, H. Olczak



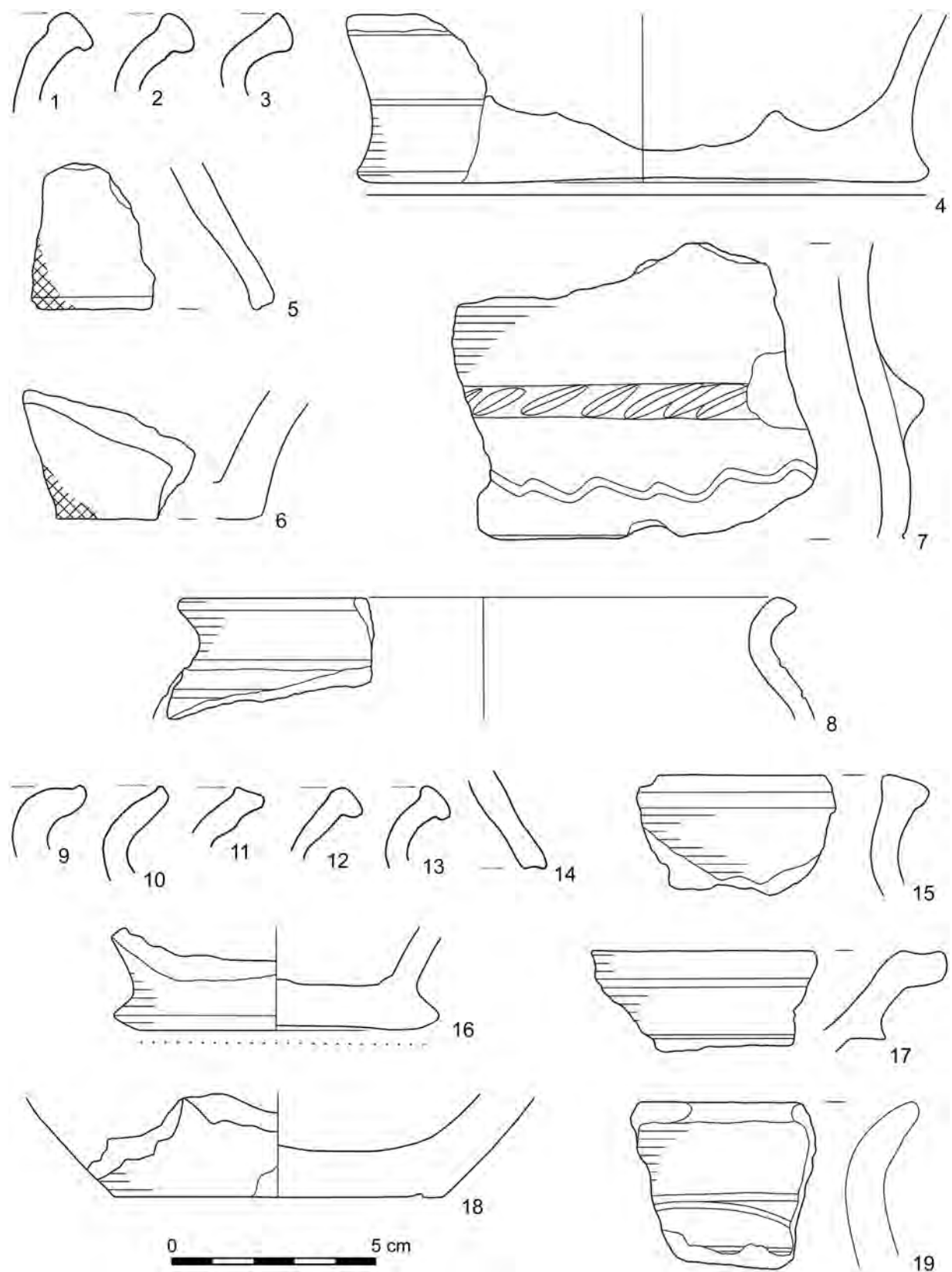
**Tabl. VII.6.** Suraż, pow. białostocki, stan. 1, wykop 1. Wybór fragmentów ceramiki późnośrednio-wiecznej i nowożytnej: 1, 2 – w. 63 (podfaza C1); 3–12 – w. 63 lub 68 (podfaza C1); 13, 14 – w. 68 (podfaza C1). Rys. B. Jakubowska, H. Olczak



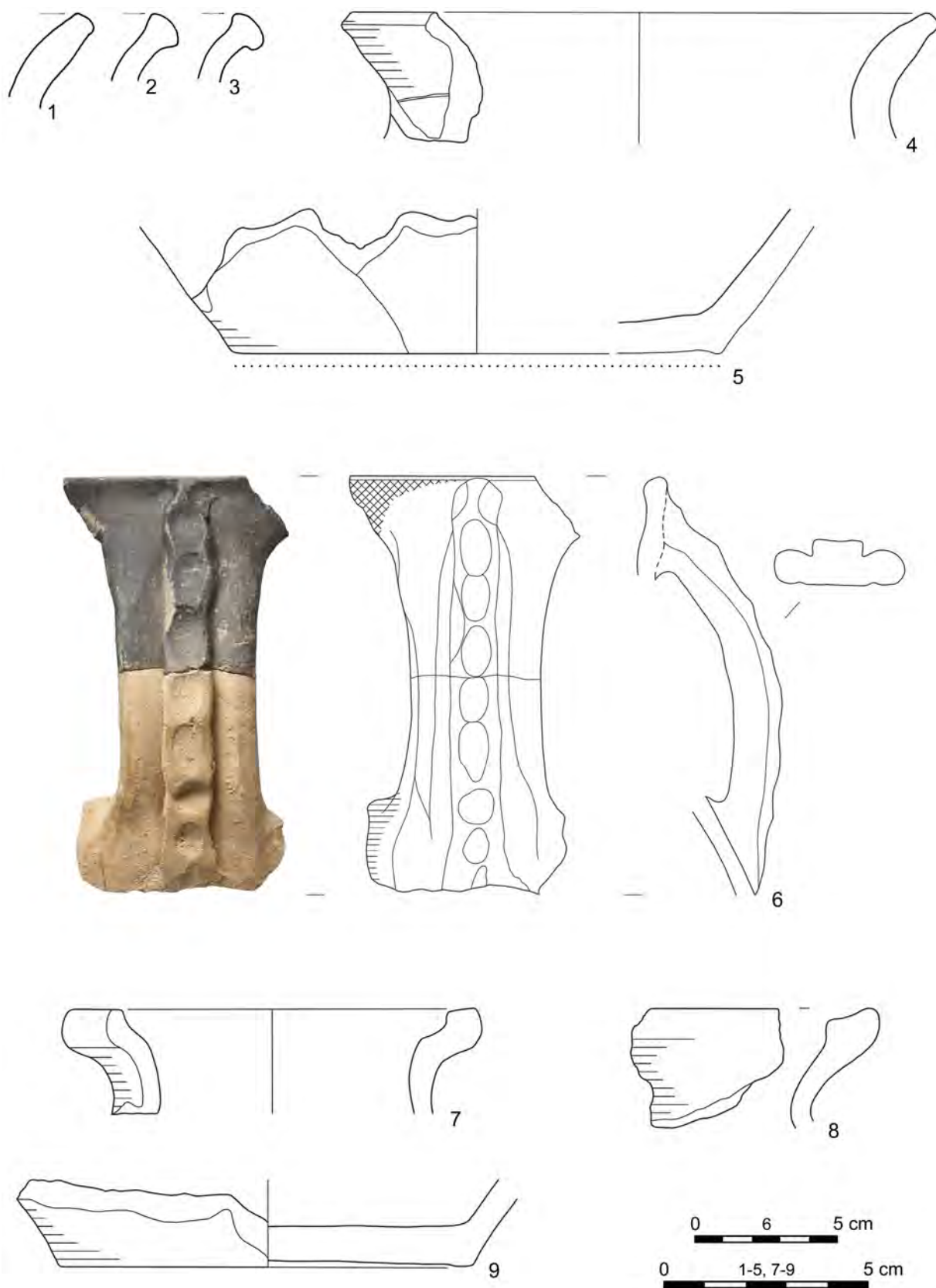
**Tabl. VII.7.** Suraż, pow. białostocki, stan. 1, wykop 1. Wybór fragmentów ceramiki późnośrednio-wiecznej i nowożytnej z warstwy 68 (podfaza C1). Rys. B. Jakubowska, H. Olczak



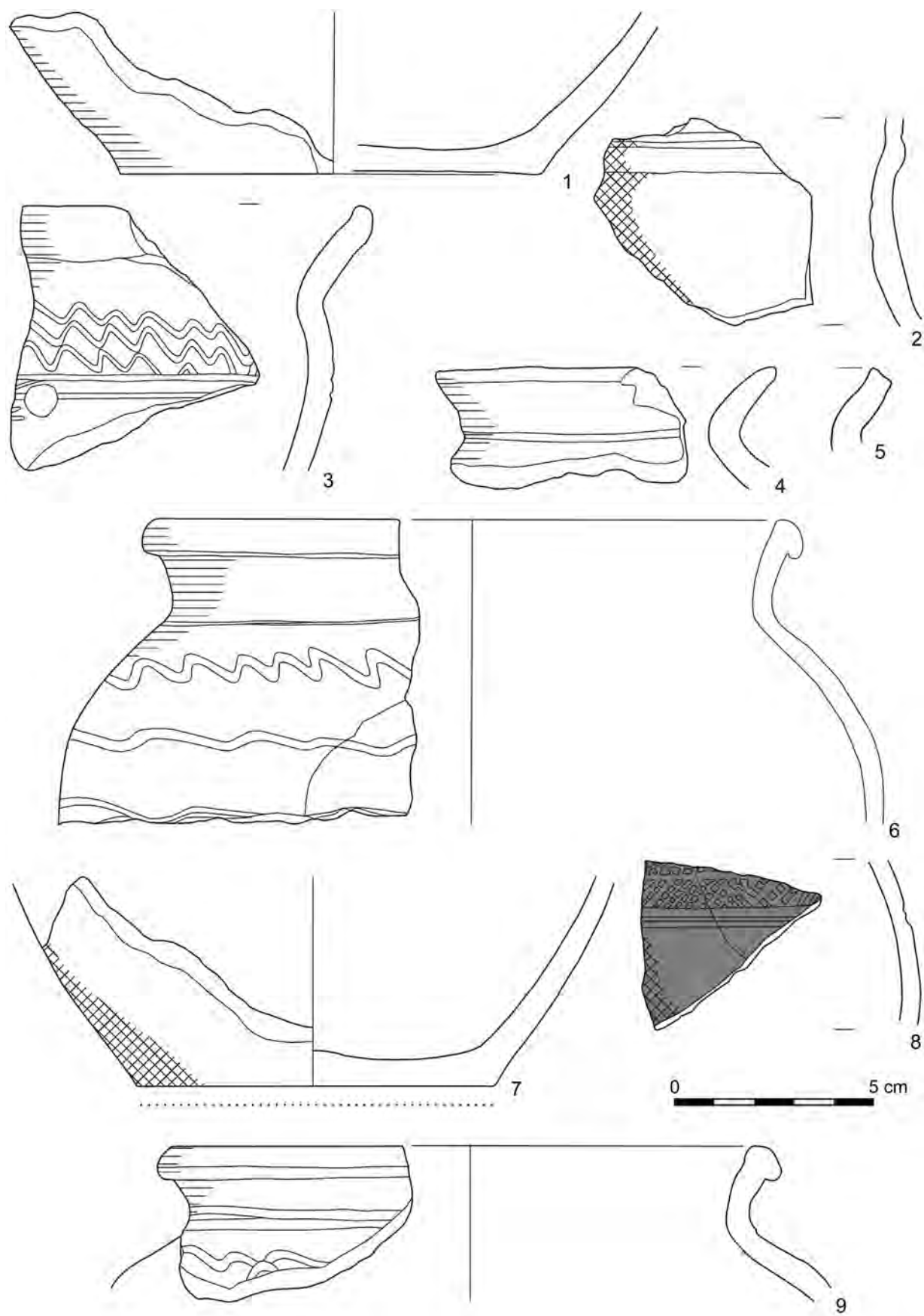
**Tabl. VII.8.** Suraż, pow. białostocki, stan. 1, wykopy 1 i 3. Wybór fragmentów ceramiki późnośredniowiecznej i nowożytnej: 1, 2 – wykop 1, w. 70 (faza B?); 3, 4 – wykop 1, znaleziska luźne; 5 – wykop 3, w. 32; 6, 7 – wykop 3, w. 35/1–35/4 (faza B lub C1). Rys. B. Jakubowska



**Tabl. VII.9.** Suraż, pow. białostocki, stan. 1, wykop 4. Wybór fragmentów ceramiki późnośrednio-wiecznej: 1 – w. 1 (humus współczesny); 2 – w. 99 (faza VIII); 3 – w. 159 (faza V); 4, 5 – w. 110 (po fazie VIII); 6, 8 – ob. 176, w. 161 (faza VIII); 7 – w. 136=137=139 (faza VI); 9 – w. 180 (faza VI); 10–17 – ob. 130, w. 138 (faza VII); 18 – ob. 201, w. 284 (faza V); 19 – ob. 206, w. 290 (faza V). Rys. B. Jakubowska, H. Olczak

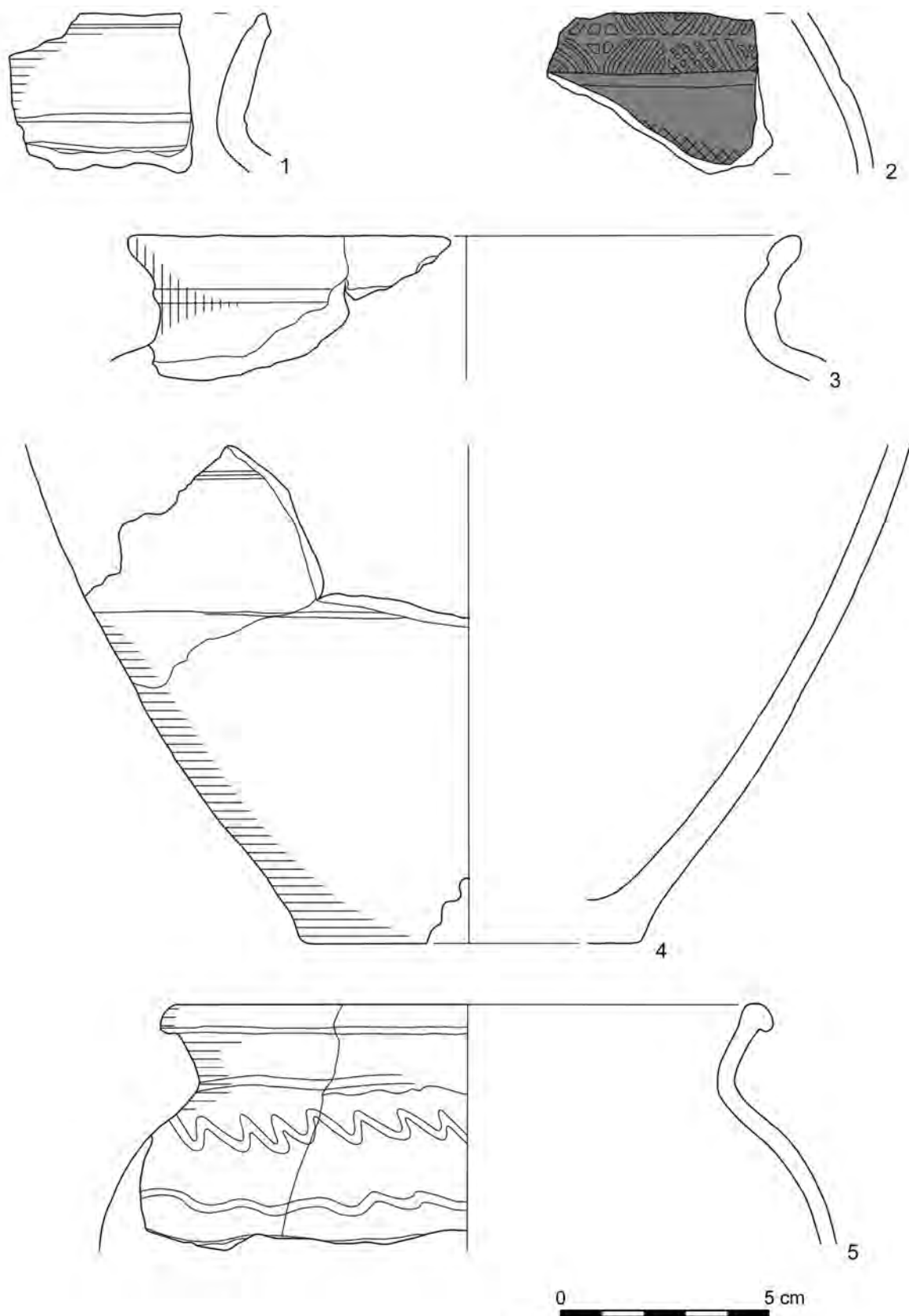


**Tabl. VII.10.** Suraż, pow. białostocki, stan. 1, wykop 4. Wybór fragmentów ceramiki późnośrednio-wiecznej: 1-7 – w. 214 (faza V); 8 – w. 240 lub 280 (faza V); 9 – w. 181 (faza V). Rys. B. Jakubowska, H. Olczak, fot. M. Osiadacz

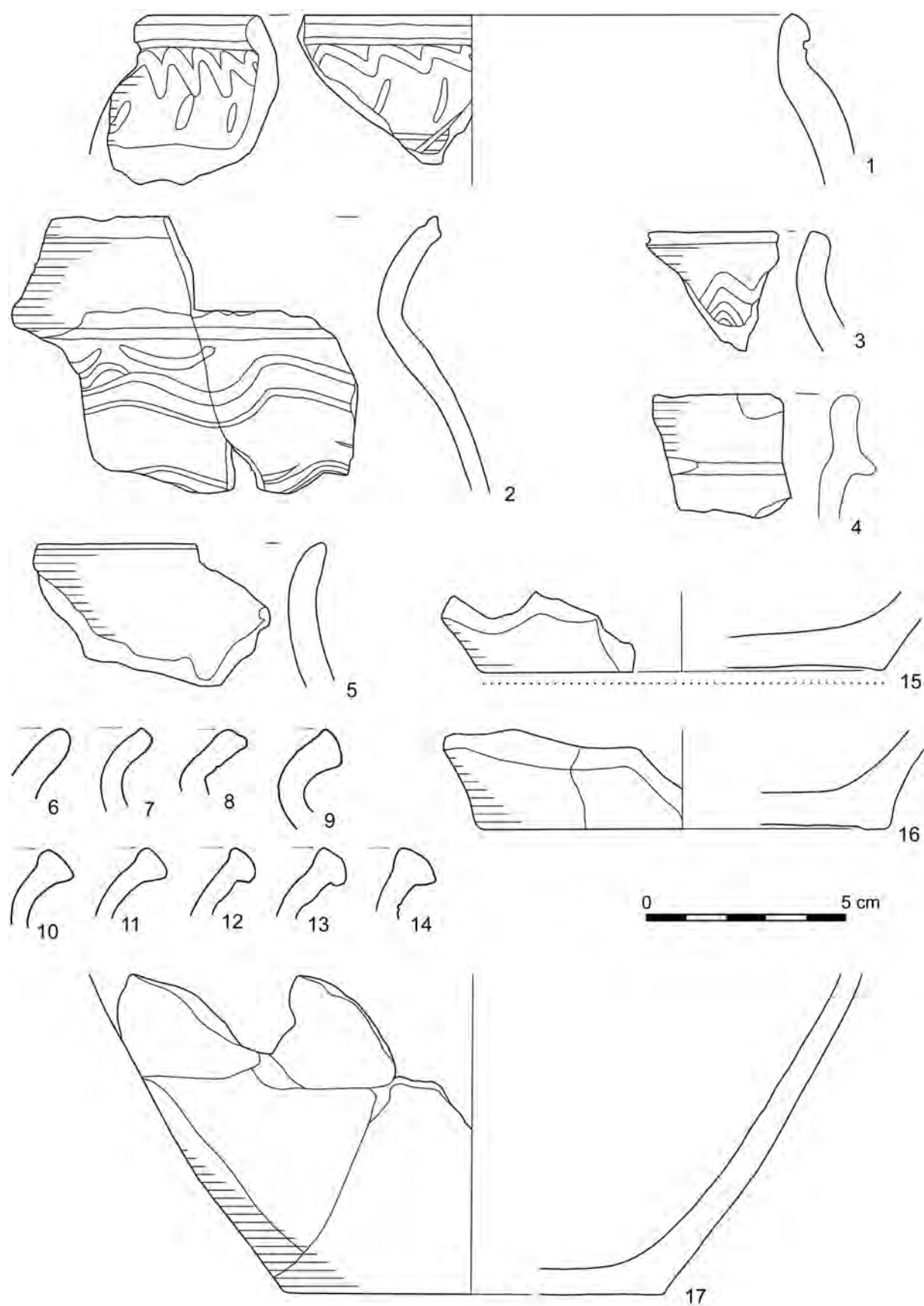


**Tabl. VII.11.** Suraż, pow. białostocki, stan. 1, wykop 4. Wybór fragmentów ceramiki późnośrednio-wiecznej z warstwy 218 (faza V). Rys. B. Jakubowska, H. Olczak

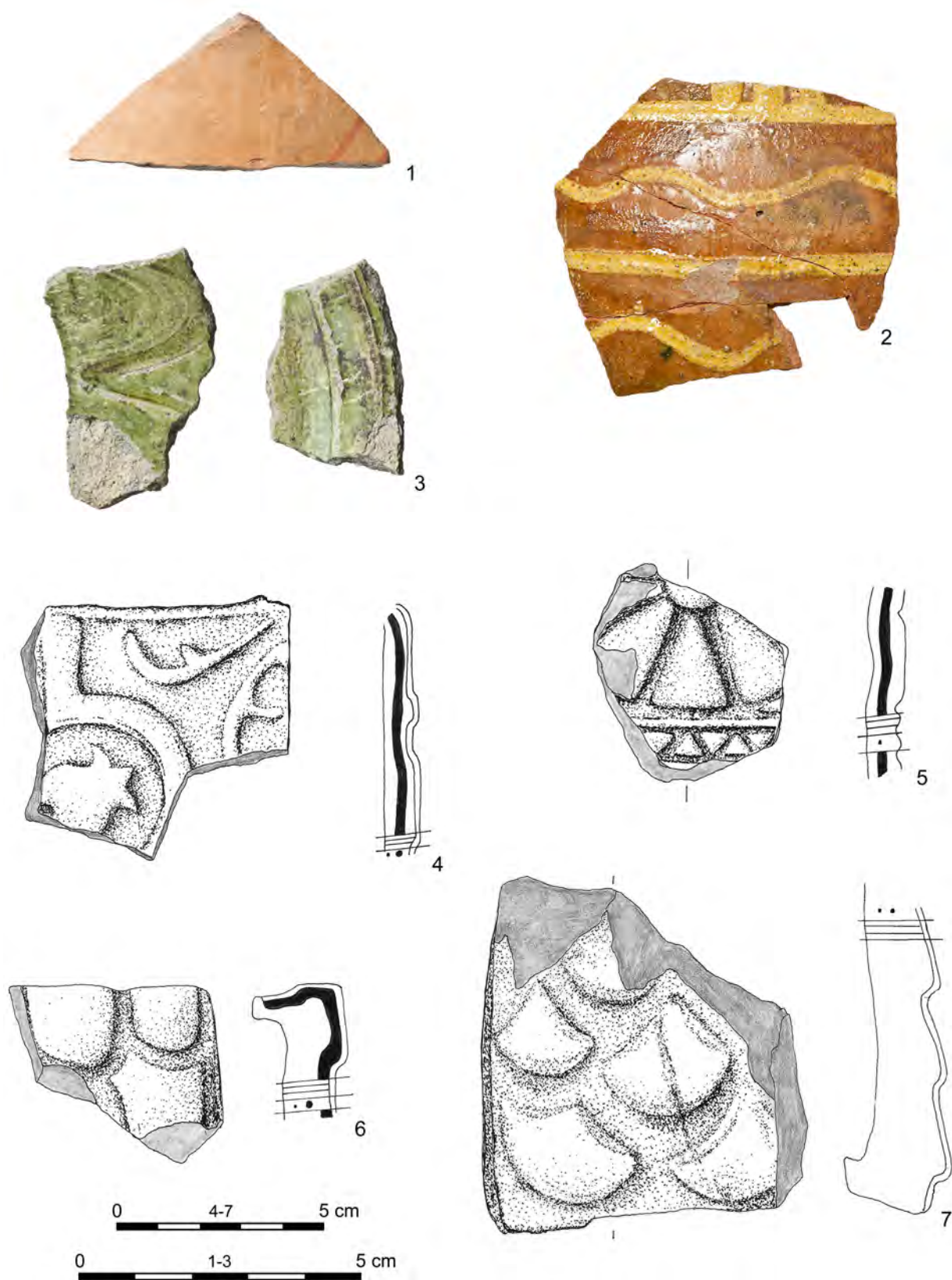




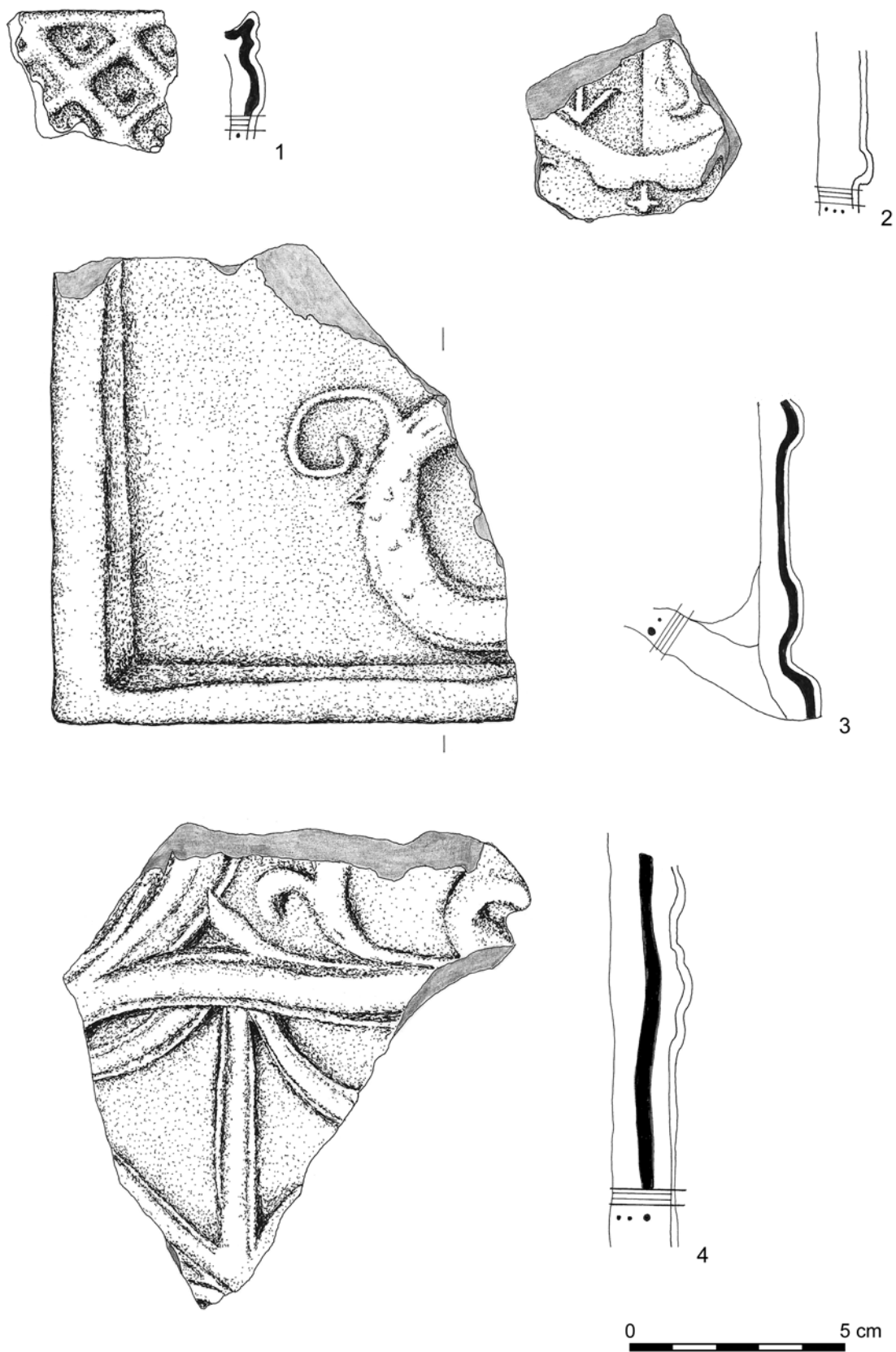
**Tabl. VII.12.** Suraż, pow. białostocki, stan. 1, wykop 4. Wybór fragmentów ceramiki późnośrednio-wiecznej: 1-3 – ob. 213, w. 212 (faza VI); 4 – w. 216 (faza V); 5 – w. 241 (faza V). Rys. B. Jakubowska



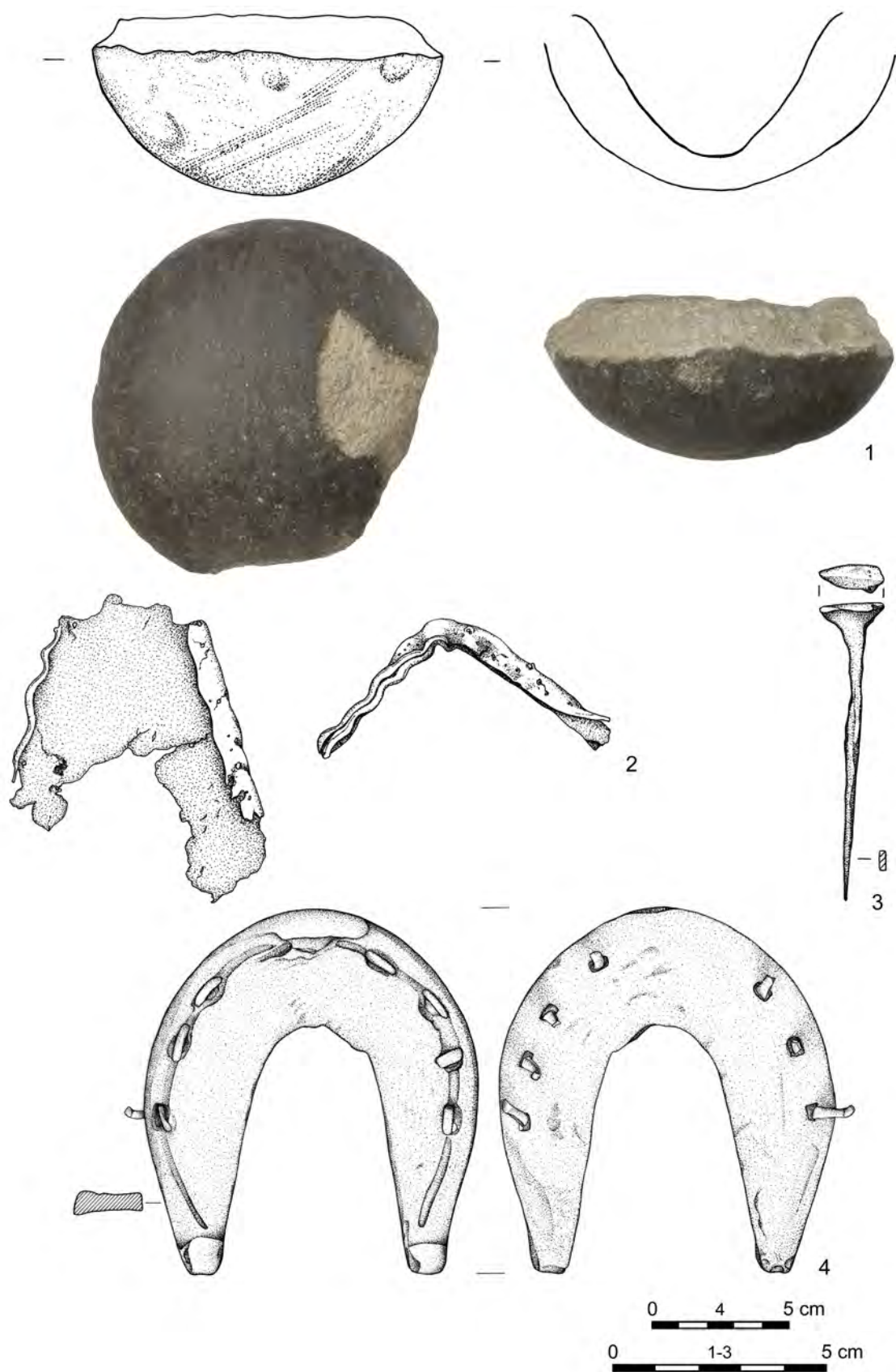
**Tabl. VII.13.** Suraż, pow. białostocki, stan. 1, wykop 4. Wybór fragmentów ceramiki późnośrednio-wiecznej z warstwy 241 (faza V). Rys. B. Jakubowska, H. Olczak



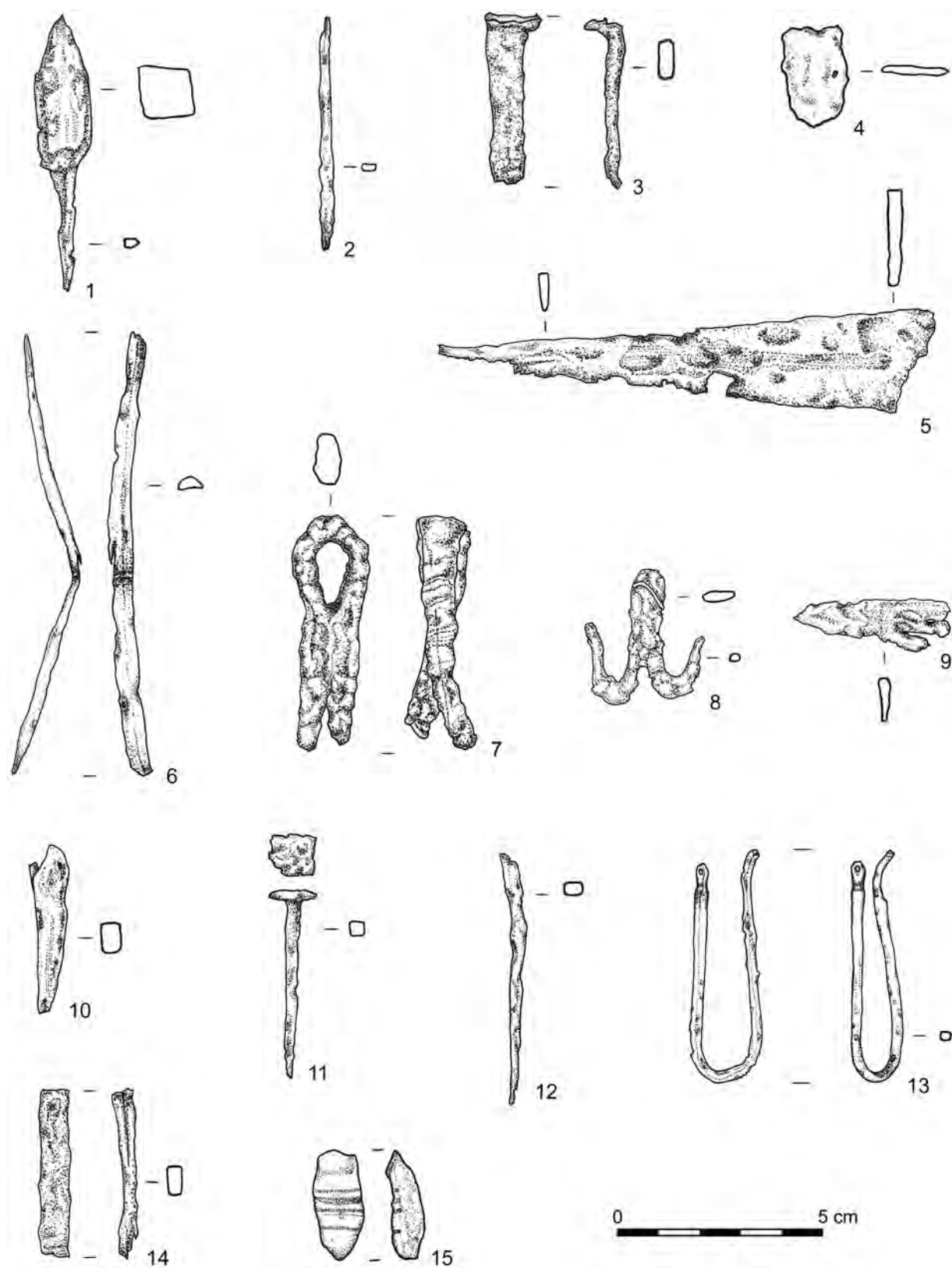
**Tabl. VII.14.** Suraż, pow. białostocki, stan. 1, wykop 1. Wybór fragmentów ceramiki z okresu nowożytnego (1-3) i kaflి (4-7): 1 - w. 63 (podfaza C1); 2 - w. 63 lub 68 (podfaza C1); 3 - ob. 13, w. 13/1 (faza D); 4 - w. 20 (podfaza C3); 5, 6 - w. 30 (podfaza C2); 7 - w. 68 (podfaza C1). Rys. M. Garas, fot. M. Osiadacz



**Tabl. VII.15.** Suraż, pow. białostocki, stan. 1, wykop 1. Wybór fragmentów kafli: 1 – w. 2 (faza D); 2 – ob. 37, w. 36 (faza D); 3 – w. 53 (podfaza C1); 4 – w. 63 (podfaza C1). Rys. M. Garas



**Tabl. VII.16.** Suraz, pow. białostocki, stan. 1, wykopy 1 i 3. Wybór przedmiotów z gliny (1), skóry (2) i żelaza (3, 4): 1 – w. 63 (podfaza C1); 2 – w. 52 (podfaza C2); 3 – spąg w. 35/2 lub strop ob. 61 (w. 56); 4 – w. 53 (podfaza C1). Rys. H. Olczak, A. Poniewierska, fot. M. Osiańczak



**Tabl. VII.17.** Suraż, pow. białostocki, stan. 1, wykop 4. Wybór przedmiotów późnośredniowiecznych i nowożytnych z żelaza (1-14) i ołowiu (15): 1 - w. 96 (faza VII?); 2 - w. 110 (po fazie VIII); 3 - ob. 114, w. 132 (faza VIII); 4 - ob. 130, w. 138 (faza VII); 5 - w. 175 (faza VI); 6 - ob. 128, w. 127 (faza VII); 7 - ob. 213, w. 212 (faza VI); 8 - w. 204 (faza V); 9 - w. 214 (faza V); 10-15 - znaleziska luźne. Rys. A. Poniewierska



**Tabl. VII.18.** Suraż, pow. białostocki, stan. 1, wykop 4. Wybór fragmentów polepy z rowu 101 (w. 100) fazy VII, pochodzących prawdopodobnie ze zniszczonej konstrukcji fazy VI (w. 121=122=123=140). Fot. D. Krasnodębski, oprac. F. Siegmeth



**Tabl. VII.19.** Suraż, pow. białostocki, stan. 1, wykop 4. Wybór fragmentów polepy z rowów fazy VII, pochodzących prawdopodobnie ze zniszczonej konstrukcji fazy VI (w. 121=122=123=140): 1 – ob. 128, w. 127 (faza VII); 2–5 – ob. 130, w. 129 (faza VII); 6 – ob. 130, w. 138 (faza VII). Fot. D. Krasnodębski, oprac. F. Siegmeth





**Tabl. VII.20.** Suraż, pow. białostocki, stan. 1, wykop 4. Wybór fragmentów polepy: 1-3 – w. 121=122=123=140 (faza VI); 4 – ob. 176, w. 161 (faza VIII); 5, 6 – w. 215 (faza V). Fot. D. Krasnodębski, oprac. F. Siegmeth

